

ESTIMACION DE AGUA SUBTERRANEA Y  
POLITICAS DE EXPLOTACION PARA LA CUENCA  
ALTA Y MEDIA DEL RIO PORTUGUESA

Por  
Víctor Cabrera

Tesis para Optar al Grado de  
Magister Scientiae en la Opción  
Riego y Drenaje

CENTRO INTERAMERICANO DE DESARROLLO  
INTEGRAL DE AGUAS Y TIERRAS CIDIAT  
UNIVERSIDAD DE LOS ANDES  
MERIDA - VENEZUELA  
1980

## AGRADECIMIENTO

El autor expresa su sincero agradecimiento al Dr. Hervé Jégat, bajo cuya dirección de desarrolló el presente trabajo y a los demás miembros del Comité de Tesis, Dr. Roger Amisial e Ing. Roberto Duque, por las críticas y sugerencias en los temas tratados en este trabajo.

Este trabajo se realizó gracias a la ayuda de las siguientes instituciones: La Universidad de San Carlos de Guatemala, USAC, que facilitó la oportunidad para asistir a los estudios; el Centro Interamericano de Desarrollo Integral de Aguas y Tierras, CIDIAT, promotor y organizador de los cursos de Postgrado a la Oficina Central de Coordinación y Planificación, CORDIPLAN, quien otorgó la beca de estudios.

Al personal del CIDIAT que en una u otra forma colaboraron en el desarrollo del presente trabajo.

A la Sra. Marcela de Ruz y a la Srta. Lina Ramírez por mecanografiar el trabajo manuscrito.

## INDICE

	Página
AGRADECIMIENTO . . . . .	ii
LISTA DE TABLAS . . . . .	vi
LISTA DE FIGURAS . . . . .	vii
LISTA DE SIMBOLOS . . . . .	x
RESUMEN . . . . .	xiv
Capítulo . . . . .	1
I.    INTRODUCCION . . . . .	1
Objetivos . . . . .	4
Importancia del Estudio . . . . .	4
Revisión de Literatura . . . . .	5
II.   EL SISTEMA CUENCA ALTA Y MEDIA DEL RIO PORTUGUESA . . . . .	9
Ubicación y descripción del área en estudio. . . . .	9
Ubicación. . . . .	9
Descripción . . . . .	9
Geología . . . . .	11
Climatología . . . . .	13
Precipitación. . . . .	13
Temperatura . . . . .	13
Evaporación . . . . .	13
Balance Hídrico . . . . .	14
Información Edafotécnica . . . . .	14
Suelos . . . . .	14
Capacidad de Uso . . . . .	14
Producción . . . . .	16
III.  CONSIDERACIONES SOBRE MODELOS EN AGUAS SUBTERRANEAS . . . . .	19
Generalidades. . . . .	19
Modelos Análogos . . . . .	19
Modelos Híbridos . . . . .	19

## INDICE (Continuación)

	Página
Modelos Digitales . . . . .	20
Utilidad de Modelos Digitales . . . . .	20
Modelo de Pinder . . . . .	21
Ecuaciones utilizadas . . . . .	21
Condiciones Límites . . . . .	24
Método Directo en Sentido Alternante, ADI.. . . .	25
Método Iterativo Implícito de la Dirección Alternante, IADI.. . . .	25
Descripción del Programa Pinder . . . . .	31
<b>IV. CARACTERIZACION DEL ACUIFERO . . . . .</b>	<b>33</b>
Delimitación. . . . .	33
Aspectos Litológicos. . . . .	33
Características Hidrogeológicas . . . . .	34
Permeabilidad . . . . .	36
Transmisividad . . . . .	37
Rendimiento específico y coeficiente de almacenamiento . . . . .	39
Interpretación de las pruebas por bombeo . . . . .	40
Método de Jacob . . . . .	40
Determinación de Recarga. . . . .	49
Generalidades . . . . .	49
Modelo de simulación mensual. . . . .	50
Calibración del Modelo. . . . .	51
Simulación de la Recarga. . . . .	51
Reservas del Acuífero . . . . .	59
Reservas en Acuífero libre . . . . .	59
Reservas en Acuífero confinado . . . . .	60
Cálculo de las Reservas . . . . .	60
Formas de cálculo en el acuífero libre. . .	60
Forma de cálculo en el acuífero confinado .	61
Discusión de los volúmenes de reserva . . .	62

## INDICE (Continuación)

		Página
V.	CALIBRACION DEL MODELO DE PINDER . . . . .	66
	Criterios para implementar el modelo. . . . .	66
	Obtención de datos. . . . .	66
	Elaboración de la malla rectangular. . . . .	71
	Calibración de Modelo. . . . .	77
	Calibración basada en los niveles de agua. . . . .	81
VI.	RESULTADOS DE LA SIMULACION. . . . .	89
	Discusión General. . . . .	89
	Políticas de Explotación. . . . .	90
	Explotación Actual. . . . .	90
	Alternativas Consideradas. . . . .	91
VII.	CONCLUSIONES Y RECOMENDACIONES. . . . .	97
	Conclusiones. . . . .	97
	Recomendaciones. . . . .	98
VIII.	LITERATURA CITADA. . . . .	100
	APENDICE A: Versión Pinder Modificado. . . . .	102
	APENDICE B: Tablas de ubicación de los perfiles litológicos. . . . .	111
	APENDICE C: Salida del Modelo. Opción Simulación. . . . .	137

## LISTA DE TABLAS

Tabla		Página
1	Volumen de agua para riego en el área de influencia del embalse Dos Bocas, Estado Portuguesa . . . . .	6
2	Distribución de áreas según características de uso actual. . . . .	17
3	Superficie por cultivos predominante en el área del proyecto de aguas subterráneas . . . . .	18
4	Materiales característico y permeabilidad. . . . .	36
5	Tipos de suelos por bombeo . . . . .	41
6	Datos de abatimiento-tiempo, prueba de bombeo realizada con pozo de observación . . . . .	44
7	Parámetros de los procesos hidrológicos para las sub-áreas seleccionadas en la determinación de la recarga. . . . .	52
8	Valores de algunos parámetros de los procesos . . . . .	55
9	Estaciones pluviométricas consideradas . . . . .	57
10	Estaciones de evaporación . . . . .	57
11	Determinación de la recarga para la zona acuífera considerada . . . . .	58
12	Ajuste de la prueba de bombeo, valores observados y simulados de abatimiento. . . . .	81

## LISTA DE FIGURAS

Figura		Página
1	Zona del Proyecto de Aguas Subterráneas, Subregión Cuenca Alta y Media del Río Portuguesa, Estado Portuguesa . . . . .	2
2	Ubicación de la zona de estudio . . . . .	10
3	Geología característica de la zona . . . . .	12
4	Clasificación interpretativa de los suelos del estado Portuguesa . . . . .	15
5	Cuadrícula para el Modelo de Pinder . . . . .	22
6	Corte isométrico en los ríos Morador y Sarare del Estado Portuguesa . . . . .	35
7	Isolíneas de Transmisividad. . . . .	38
8	Prueba de bombeo a caudal constante, pozo PB-1 . . . . .	45
9	Diagramas esquemáticos de las relaciones tiempo-descenso y tiempo-descenso residual . . . . .	46
10	Prueba de bombeo de recuperación, pozos PB-7 . . . . .	48
11	Prueba de Bombeo de recuperación, pozo PB-8. . . . .	48
12	Esquema detallado de las entradas y salidas de agua en una capa acuífera . . . . .	50
13	Volumen de escorrentía observada y simulada a la salida de la cuenca del río Acarigua en puente Acarigua, período 69-77. . . . .	53
14	Delimitación de las cuencas aguas arriba y abajo de los puntos de aforo . . . . .	56
15	Reservas de los mantos libres, en función de las fluctuaciones de la superficie piezométrica en el transcurso de un año hidrológico. . . . .	59

LISTA DE FIGURAS ( Continuación ).

Figura		Página
16	Reservas de los mantos confinados . . . . .	60
17	Relación entre el volumen extraído y el descenso del nivel en el acuífero, zona Morador-Guache. . . . .	63
18	Relación entre el volumen extraído y el descenso de nivel en el acuífero, zona Guache-Acarigua . . . . .	64
19	Relación entre el volumen extraído y el descenso de nivel en el acuífero, zona Acarigua-Sarare . . . . .	64
20	Mapa de niveles de Agua . . . . .	68
21	Espesores de acuífero . . . . .	70
22	Malla rectangular variable . . . . .	72
23	Malla rectangular constante . . . . .	72
24	Malla para el modelo Pinder, zona Acarigua-Sarare. . . . .	74
25	Malla para el modelo Pinder, zona Guache-Acarigua. . . . .	75
26	Malla para el modelo Pinder, zona Morador-Guache . . . . .	76
27	Representación de valores observados y simulados en una prueba de bombeo, con pozo de observación, durante la calibración primer ajuste . . . . .	79
27	Representación de valores observados y simulados en una prueba de bombeo, con pozo de observación, durante la calibración, ajuste final. . . . .	79
28	Representación de valores simulados y observados en una prueba de bombeo, con pozo de observación . . . . .	80
30	Variación comparativa de los niveles de agua simulados y observados. Zona Morador-Guache, columna 11 de la malla. . . . .	84
31	Variación comparativa de los niveles de agua observada y simulada, zona Morador-Guache, filas 16, 23 de la malla . . . . .	84
32	Variación comparativa de los niveles de agua simulados y observados, fila 13 de la malla, zona Guache-Acarigua . . . . .	85
33	Variación comparativa de los niveles de agua simulados y observados, columna 18 de la malla, zona Guache-Acarigua . . . . .	85

LISTA DE FIGURAS (Continuación)

Figuras		Página
34	Variación Comparativa de los niveles de agua simulados y observados, columna 16 de la malla, zona Acarigua-Sarare. . . . .	86
35	Variación comparativa de los niveles de agua simulados y observados, filas 20, 26, 35 de la malla, zona Acarigua-Sarare..	86
36	Opción calibración, mapa alfanumérico de abatimiento . . . . .	87
37	Estado del acuífero después de un año de explotación considerando una extracción cuatro veces más que la explotación actual, zona Acarigua-Sarare . . . . .	93
38	Estado del acuífero después de un año de explotación considerando una extracción seis veces más que la explotación actual, zona Guache-Acarigua . . . . .	94
39	Estado del acuífero después de un año de explotación considerando una extracción cinco veces más que la explotación actual, zona Morador-Guache . . . . .	95

## LISTA DE SIMBOLOS

Símbolo	<u>Definición</u>
A	Area
BOTTOM	Arreglo que indica la fase del acuífero desde un datum de referencia.
CC	Capacidad de campo
°C	Grados centígrados
CINF	Capacidad de infiltración
DELX(J)	Valor del intervalo entre columna
DELY(I)	Valor del intervalo entre filas
dw	Variación de las reservas en aguas subterráneas
E	Evapotranspiración real
H	Carga hidráulica del acuífero sufrayacente
h	Carga hidráulica
Ha	Hectáreas
HES	Humedad inicial
$h_p$	Variación de la altura en función de la presión
Hr	Horas
i	Gradiente hidráulico
I, J	Subíndices que indican intervalos de espacio
Ir	Infiltración por aguas superficiales
Iw	Infiltración eficaz
K	Permeabilidad
R	Sub-índice que indica tiempo
Km	Kilómetros

## LISTA DE SIMBOLOS (Contn.)

Símbolo	<u>Definición</u>
l	Longitud
ln	Logaritmo natural
l/s	Litros por segundo
m	Espesor del acuífero
M	Metros
M <sup>3</sup>	Métros cúbicos
mm	Milímetros
Min	Minutos
msnm	Metros sobre el nivel del mar
NE	Nor-Este
NW	Nor-Oeste
P	Parámetros de aceleración de convergencia
PB	Pozo de bombeo
PERM	Arreglo que indica los valores de la permeabilidad
PUMP	Bombeo
PZ	Piezómetro
Q	Caudal
Qe	Surgencias de aguas subterráneas
Qex	Pozos de explotación de! agua subterránea
Qs	Salida en flujo superficial
qs	Aportes de aguas superficiales
Qw	Vertido de la capa acuífera
qw	Aportes de agua subterránea

LISTA DE SIMBOLOS (Contin.)

Símbolo	<u>Definición</u>
R	Escorrentía superficial
r	Distancia al pozo de observación
RATE	Arreglo que indica el espesor de la capa semiconfinante o cuando la carga es constante
S	Coefficiente de almacenamiento
s	Abatimiento
s''	Abatimiento residual
SE	Sur-Este
SL	Rendimiento específico
STRT	Arreglo que indica la carga hidráulica
SW	Sur-Oeste
T	Transmisividad
t	Tiempo
t''	Tiempo del descenso residual
TOPE	Arreglo que indica el techo del acuífero confinado
$\mu$	Valor de la función de pozo
V	Velocidad
W	Función de entrada o salida por unidad de área de cualquier caudal bombeado o recarga
WTABLE	Elevación del agua en lagos, ríos o capa confinante
$\Delta$	Incremento
$\infty$	Infinito
$\epsilon$	Epsilon

LISTA DE SIMBOLOS (Contin.)

Definición

Símbolo

$\partial$	Derivada parcial
$\pi$	Número pi
$\Sigma$	Sumatoria

Bdigital.ula.ve

## RESUMEN

El propósito del presente trabajo consiste en hacer una estimación de la disponibilidad del recurso hídrico subterráneo y establecer políticas de explotación, para la cuenca Alta y Media del Río Portuguesa. Esto forma parte del estudio global de Planificación de las Aguas Subterráneas, con fines de riego en Venezuela.

El área bajo estudio está comprendida entre los ríos Morador y Sarare, en una faja de 40 km de ancho, partiendo del Piedemonte de los Andes Venezolanos.

Se delimitó la zona acuífera tanto en extensión areal como en profundidad hasta 80 metros. Luego se consideraron los datos hidrogeológicos, partiendo de la litología predominante y pruebas por bombeo, niveles de agua, estableciendo la magnitud de las reservas acuíferas subterráneas. Para la determinación de la recarga, se utilizó un modelo de simulación mensual para determinación de la escorrentía.

Posteriormente se utilizó el Modelo de Pinder, modificado por Jégat (1977), se procedió a calibrar el modelo. Posteriormente, basado en estimaciones de la explotación actual, que es de 183 millones de metros cúbicos se hicieron algunas consideraciones sobre políticas de explotación, comparada con la recarga que es de 360 millones de metros cúbicos. El volumen factible de extraerse del acuífero no se limitó únicamente a la recarga sino que se consideraron otras políticas de explotación.

Para la zona Acarigua-Sarare se incrementó cuatro veces la explotación actual, en la zona Guache-Acarigua seis veces y la zona Morador Guache cinco

veces. Se observó en cada área las zonas de descenso del nivel de agua según estas alternativas escogidas.

Bdigital.ula.ve

## CAPITULO I

### INTRODUCCION

Las necesidades de agua en la actualidad aumentan considerablemente debido a la creciente demanda de alimentos causada por el desarrollo urbano, industrial y agrícola. Por esta razón deben definirse lineamientos estratégicos, en cuanto a recursos hidráulicos se refiere, adaptados a la realidad específica, de una o varias regiones.

La Cuenca Alta y Media del río Portuguesa, que es la zona donde se encuentra ubicada el área sobre estimación de los recursos subterráneos, Figura 1, cuenta con tierras de gran calidad agrológica y una agricultura desarrollada. Este factor hace que su economía sea básicamente agropecuaria y, a la vez un gran aporte a la economía de Venezuela.

Lo anterior obligó a las entidades encargadas de la administración y planeamiento de los recursos hidráulicos a desarrollar estudios con el bien de garantizar el aprovechamiento de los recursos hídricos subterráneos y superficiales, dentro del marco de la conservación y racionalización de estas dos fuentes de agua, procurando la continuidad y permanencia del ciclo hidrológico.

La zona en estudio está comprendida entre los ríos Morador y Sarare, en dirección SW-NE, limitada por el piedemonte a lo largo de la carretera Troncal V.

Los ríos Acarigua, Sarare, Morador, Ospino y Guache son los más importantes que cruzan el área y todos son tributarios del río Portuguesa, constituyendo las fuentes principales de aguas superficiales para la zona. Dadas las



Figura. 1. Zona del proyecto de aguas subterráneas, subregión cuenca alta y media del río Portuguesa, Estado Portuguesa.

fuertes pendientes, antes de entrar en el piedemonte, los ríos fluyen con velocidades que se traducen en un alto poder de erosión y transporte de sedimentos. Esta zona constituye un medio de ablación, donde los materiales arrastrados son depositados al cambiar la pendiente, lo que ocurre al contacto piedemonte-llanos.

El fenómeno deposicional es importante desde el punto de vista hidrogeológico, ya que tales depósitos forman un aluvión de constitución altamente permeable, en el cual abunda el agua subterránea. El uso del agua subterránea ha sido la principal fuente de abastecimiento de la producción agrícola y el consumo humano en esta región.

En la subregión Cuenca Alta y Media del río Portuguesa, existe un sólo sistema tradicional de riego que se abastece a partir del embalse Las Majaguas permitiendo el aprovechamiento de unas 8000 Ha. Para satisfacer la eventual demanda de agua tanto agrícola como doméstica, existe otra serie de embalses cuya construcción está prevista a corto plazo, tal como el embalse Dos Bocas sobre el río Acarigua, para una capacidad total de 654 millones de metros cúbicos. Con este embalse es factible regar unas 4000 Ha y también una derivación para el consumo humano (FUDECO, 1978).

El embalse Morador, sobre el río Morador, presenta una capacidad para regar unas 20000 Ha. Por otra parte se piensa utilizar el embalse Las Vueltas sobre el río Sarare, para recargar el acuífero y regar con agua subterránea unas 2000 Ha, o bien implementar un sistema de riego tradicional. Igual situación presenta el embalse Las Margaritas, ubicado al norte del poblado Agua Blanca, para una superficie regada de 4000 a 6000 Ha.

En la actual dependencia que existe de la explotación del agua subterránea, se concibió el presente estudio, que cubre una superficie de 3000200 Ha, siendo importante considerar la interrelación física del agua superficial y planificar un uso conjunto de estas dos fuentes de abastecimiento. Actualmente se está llevando a cabo el estudio sobre aguas subterráneas, a través de un convenio con el Ministerio de Agricultura y Cría, bajo la dirección del Centro Interamericano de Desarrollo Integral de Aguas y Tierras.

### Objetivos

El presente trabajo tiene como objetivo principal estimar las disponibilidades del recurso hídrico subterráneo y establecer políticas de explotación. Para ello es necesario:

1. Identificar el acuífero en cuanto a su extensión areal, profundidad y parámetros hidrogeológicos.
2. Establecer las fuentes de recarga y su influencia en el acuífero
3. Estudiar el comportamiento del acuífero considerando distintas estrategias de explotación.

### Importancia del estudio

Actualmente se ha dado importancia al recurso hídrico subterráneo como una fuente de abastecimiento, tanto doméstico como industrial y agrícola.

El estudio permitirá cuantificar la disponibilidad del agua subterránea existente. Considerándose la región como una de las zonas más ricas en volúmenes de aguas subterráneas, es también determinante establecer diferentes es-

trategias de explotación que permitan un manejo racional de este recurso, considerando posteriormente llegar a optimizar el uso conjunto de aguas subterráneas y superficiales.

Las instituciones podrán planificar mejor el uso de los recursos hídricos, acorde al desarrollo integral de la región, identificando y formulando alternativas de abastecimiento según las zonas de demanda, con énfasis en el incremento de áreas para riego.

#### Revisión de Literatura

En base a estudios muy generales la Comisión del Plan Nacional de Aprovechamientos de los Recursos Hidráulicos (COPLANARH, 1970), considera que la planicie aluvial del Piedemonte de los Andes Venezolanos, es una zona muy abundante en aguas subterráneas, diferenciada de la manera siguiente:

- Zona principal, formada por una faja de 40-50 Km de ancho por 300 Km de longitud, desde el río Suripa hasta el río San Carlos.
- Una zona de 4000 Km<sup>2</sup> en el alto valle del río Sarare, en el Estado Portuguesa.
- La zona norte de la cuenca del río Acarigua.

El Ministerio del Ambiente y de los Recursos Naturales Renovables de Venezuela (1978), en el Diagnóstico de la Cuenca Alta y Media del río Portuguesa, considera que el aprovechamiento de los acuíferos, aparece por debajo de las potencialidades previsibles, pudiéndose obtener mayor desarrollo intensivo de este recurso. También considera que la subregión dispone de excedentes en recursos hídricos, respecto al consumo urbano, industrial y agrícola centrándose la mayor utilización en el agua subterránea. El

uso de las aguas superficiales está concentrado en el sistema de riego Las Majaguas, cuyo crecimiento se ha limitado a solamente unas 800 a 1000 Ha anuales, debido principalmente a problemas de organización campesina. El uso de las aguas subterráneas, se ha concentrado alrededor de la producción agrícola, alcanzando una 6000 Ha bajo riego.

FUDECO (1976) realizó una encuesta para la zona de influencia del proyecto Dos Bocas, y, determinó que el 82% de los aprovechamientos de agua, provenían del recurso hídrico subterráneo y el resto de derivaciones de caños y ríos. Además, estableció información sobre el gasto bombeado, horas diarias de operación y época en que se regaba; posteriormente estimó el volumen de agua utilizada en invierno y en verano, Tabla 1.

Tabla 1 Volumen de agua para riego en el área de influencia del embalse Dos Bocas, Estado Portuguesa.

Fuente	Nº de pozos o derivaciones	Volumen utilizado en invierno ( $m^3 \times 10^6$ )	Volumen utilizado en verano ( $m^3 \times 10^6$ )	Volumen total ( $m^3 \times 10^6$ )
Aguas subterráneas	138	55,70	79,10	134,80
Aguas superficiales	27	16,80	12,80	29,60
Total	165	72,50	91,90	164,40

Fuente: FUDECO (1976)

La complejidad tectónica que caracteriza a los Andes Venezolanos, ha provocado desajustes en el régimen de sedimentación en la zona de piedemonte observándose acumulaciones irregulares de material aluvial.

Los sedimentos recientes son una secuencia alternante de estratos permeables e impermeables con materiales muy gruesos depositados en la cuenca continental del Piedemonte (MOP, 1973). Mientras más se avanza en la llanura, mayor es el predominio de acuicludos, lo cual ocasiona un acunamiento de los acuíferos.

El Ministerio de Obras Públicas (1973), ubica cuatro franjas de trasmividad, que van en valores desde 200 hasta 4000 m<sup>3</sup>/día/m para toda la zona Piedemonte, estableciéndose que los valores más altos, entre 3000 y 4000 m<sup>3</sup>/día/m se encuentran en las cercanías de los ríos y al inicio del Piedemonte. También considera que la "máxima acumulación de grava gruesa y arena, hasta 70 m, fue depositada entre los ríos Masparro y Morador con sólo 5% de material impermeable cerca del Piedemonte". El porcentaje de acuicludos aumenta hacia el río Sarare. El aumento de los estratos impermeables es del 3% al 36% abajo del flanco montañoso del río Acarigua.

Actualmente en la zona, la profundidad promedio de pozos es de 60 m, y según el Ministerio de Minas e Hidrocarburos (1969), se han hecho perforaciones hasta 250 m de profundidad, identificándose sedimentos compuestos por gravas, arenas, limos y arcillas.

Con el objeto de conocer la calidad del agua subterránea, FUDECO (1976) hizo un análisis físico-químico, considerando también el agua superficial para fines de abastecimiento humano y de riego. Estableció que son aguas sin muchas restricciones para uso agrícola y de abastecimiento urbano.

El MARNR (1978), clasifica las aguas subterráneas entre las clases  $C_1 S_1$  y  $C_2 S_1$ , o sea aguas con poco peligro de salinidad y sodificación de los suelos, y  $C_3 S_1$  con alguna restricción en cuanto a aplicación con buen drenaje u cultivos tolerantes, como la caña de azúcar, arroz y pastos.

Según Todd (1973), el rendimiento de seguridad de un acuífero es la cantidad de agua que se puede extraer anualmente sin producir un quebranto en las reservas. Cualquier extracción en exceso produce una sobreexplotación del rendimiento de seguridad.

En forma general, se puede decir que el rendimiento de seguridad es el equivalente a la cantidad de agua que entra al acuífero como recarga, ya sea en forma natural o artificial. Es decir, que la máxima cantidad de agua a extraer anualmente de la reserva subterránea sin llegar a una sobre explotación en el equivalente a la recarga o rendimiento de seguridad.

## CAPITULO II

### EL SISTEMA CUENCA ALTA Y MEDIA DEL RIO PORTUGUESA

#### Ubicación y descripción del Area de Estudio

El área que comprende el proyecto sobre estimación del agua subterránea, la constituyen tierras con gran potencial agrícola, formada por una planicie aluvial de materiales depositados por los ríos que atraviesan la zona.

#### Ubicación

El estudio se encuentra ubicado en la región de los Llanos Altos Occidentales en el Estado Portuguesa y se delimita de la siguiente manera;

Figura 2.

Referencia	Latitud	Longitud
Río Morador-Carretera Troncal V	9° 16'	69° 31'
Poblado Agua Blanca	9° 40'	69° 06'
Caserío Sabana en Medio	9° 08'	69° 16' 69° 15'
Caserío Los Chinos	9° 21'	69° 51'

Tiene como límite el Piedemonte de los Andes Venezolanos que va a lo largo de la carretera Troncal V, en un tramo de 73 Km y considerando un ancho de 40 Km de la carretera, en línea recta imaginaria, entre los caseríos Sabana en Medio y los Chinos.

#### Descripción

Los ríos más importantes que cruzan el área en dirección NW-SE, son el Sarare, Acarigua, Guache, Ospino y Morador, todos afluentes del río Portuguesa.

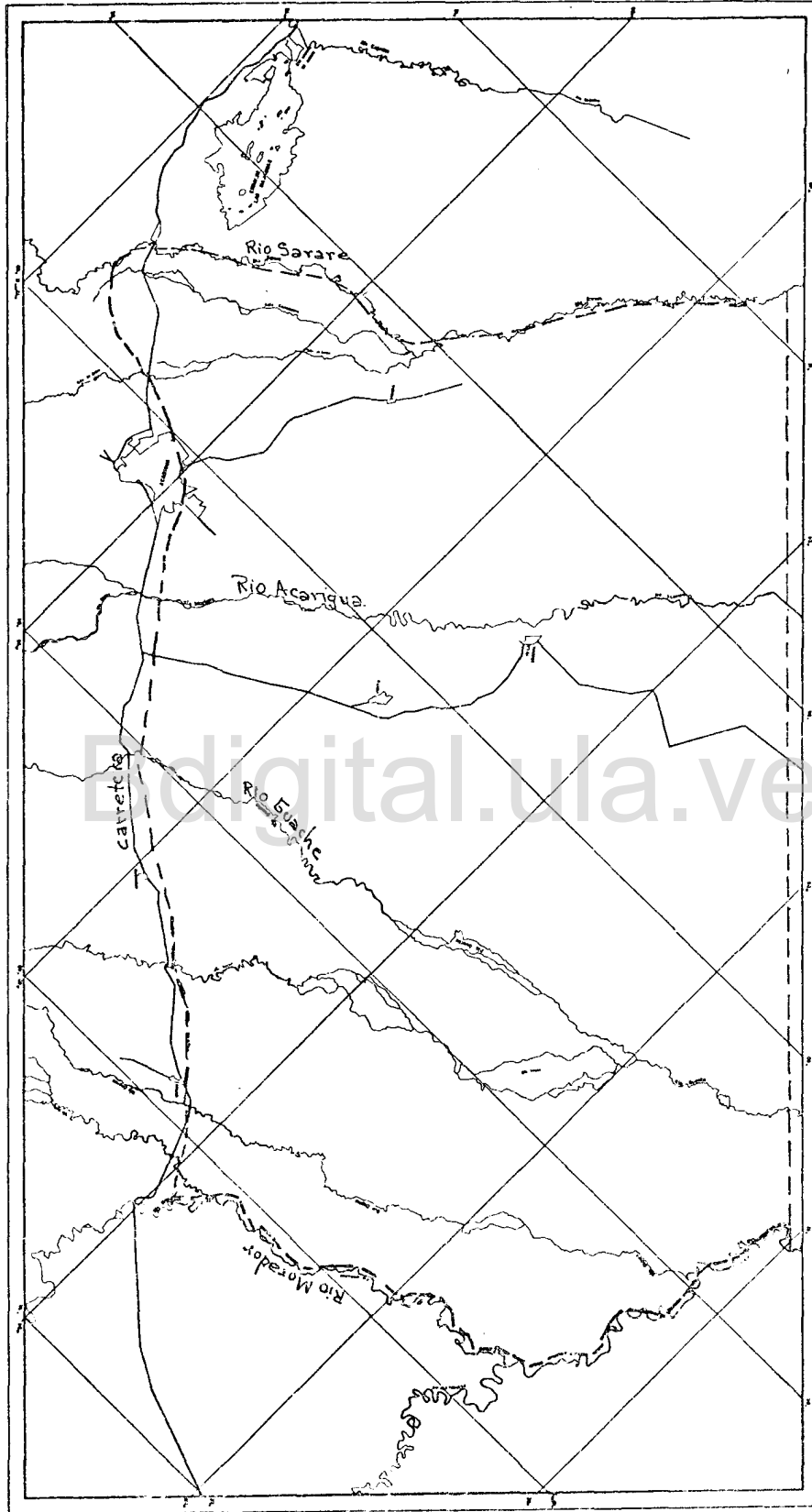


Figura 2. Ubicación de la Zona de Estudio. (---)

El sistema cuenta con el embalse Las Majaguas que tiene con una capacidad útil de 328 millones de m<sup>3</sup> de agua. Existen otros embalses proyectados a corto plazo tales como el embalse Las Margaritas, en la hoya del Sarare, con 43,70 millones de m<sup>3</sup> de capacidad útil y el embalse Morador sobre el río Morador.

### Geología

La Cordillera Andina formada por rocas sedimentarias Pleistocenas a Cretáceo inferior, bordea toda la zona que caracterizada por haberse originado a partir de depósitos aluviales recientes, Figura 3. Estos depósitos están compuestos por gravas, arenas, limos y arcillas, depositadas en diferentes estratos, con valores de permeabilidad variable. A los lados de los ríos y al inicio del Piedemonte se detectan zonas de altas transmisividades, debido a que existen grandes acumulaciones de gravas gruesas y arena. Lo contrario ocurre hacia abajo, donde la pendiente es más suave y se observan inundaciones; así mismo el material depositado es más fino. Rocas con permeabilidad entre bajas y medias se encuentran entre Guanare y Ospino, donde aflora la formación río Yuca.

Los sedimentos granulares predominantemente permeables, donde se considera un alto rendimiento de los acuíferos, se encuentran entre los ríos Guache y Sarare. En esta zona se observan transmisividades entre 1500 a 3000 m<sup>2</sup>/día.

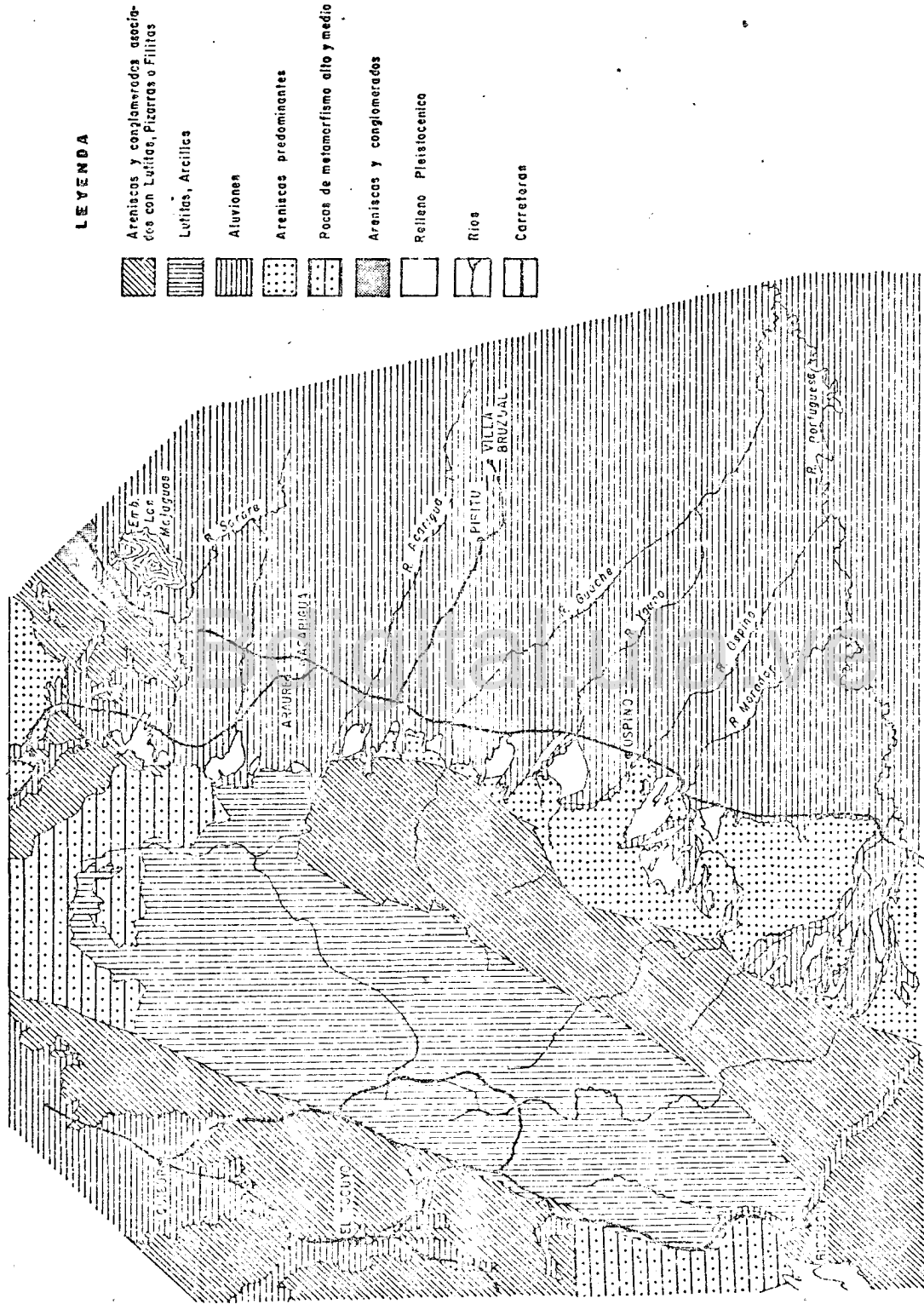


Figura 3. Geología superficial en la cuenca alta y media del río Portuguesa

## Climatología

### Precipitación

La precipitación varía entre 1200 y 1600 mm anuales, considerándose dos épocas bien definidas: el período seco durante los meses de diciembre, enero, febrero y marzo, donde el promedio mensual es 50 mm; un período lluvioso donde se concentra el mayor volumen de lluvias (1100 mm) en los meses de mayo, junio, julio, agosto, septiembre y octubre, siendo los meses de noviembre y abril épocas de transición entre una estación a otra.

### Temperatura

La temperatura media anual de la zona es de 27°C. Las temperaturas más altas se registran en los meses de marzo y abril, cuyo promedio máximo es de 28,50°C y la temperatura promedio mínima es de 21°C, registrada en los meses de junio y julio.

### Evaporación

La evaporación media anual varía desde 1600 hasta 1900 mm. Durante el año se registra una evaporación media mensual de 160 mm, con una mínima de 110 mm en junio y una máxima de 280 mm en abril.

Según la clasificación de zonas de vida de Holdridge (1960), la subregión se ubica dentro del grupo ecológico de bosque seco tropical, cuyas características climáticas son semejantes a las descritas. En este grupo ecológico se considera una relación entre la evapotranspiración potencial anual y la lluvia entre 0,90 y 2,00.

### Balance hídrico

Según el MARNR (1978) en la zona de los llanos el período deficitario va de diciembre a abril. En esta época la demanda bruta alcanza unos 1100 mm/año, equivalente a unos 11000 m<sup>3</sup>/Ha/año.

### Información Edafotécnica

#### Suelos

Los suelos en el área del proyecto varían según se aleja del Piedemonte; los suelos cercanos a este son en su mayoría de texturas medias con altos contenidos de limos, bien drenados. Los suelos de textura fina se observan más hacia el llano y varían entre limosos y arcillosos a francos; estos suelos generalmente presentan problemas de drenaje.

El pH va de ligeramente ácido a neutro, o alcalinos y presentan altas saturaciones de bases en todo el perfil con poco desarrollo pedogenético.

En la clasificación interpretativa de los suelos en base a su fertilidad FONAIAP (1969) presenta un mapa, Figura 4, donde se observa la distribución de los suelos de acuerdo a su textura.

#### Capacidad de uso

Los suelos que se observan en la zona, de acuerdo a su capacidad de uso, se definen de la siguiente manera: la clase I, que son suelos con muy pocas limitaciones en su uso para un amplio margen de cultivos, pastos, bosques



y vida silvestre; los suelos son casi planos, profundos, bien drenados, fáciles de laborar, con buena capacidad de retención de humedad. La Clase II incluye algunas limitantes y requieren moderadas prácticas de manejo para mejorar la relación agua-suelo-planta; tiene pendientes suaves y moderadamente susceptibles a la erosión y aparecen daños ocasionales por inundaciones pero corregibles con drenaje. La Clase III, incluye terrenos con fuertes limitaciones que reducen la elección de plantas y/o requieren prácticas de manejo y conservación y la Clase IV tiene severas limitaciones con mucha susceptibilidad a la erosión, fuertes pendientes, excesiva humedad e inundaciones frecuentes que afectan severamente los cultivos.

Las clases principalmente pecuarias son la Clase V y VI, aptas para pastos, bosques y vida silvestre.

La zona no cuenta con un estudio de suelo completo a nivel de semidetalle, salvo para algunas zonas muy localizadas, tal como Turén, Las Majaguas, y El Playón, los cuales se han considerado en este trabajo.

### Producción

La subregión Cuenca Alta y Media del río Portuguesa se caracteriza por ser una zona que participa en un gran aporte a la economía agrícola de Venezuela, principalmente en lo que se refiere a la producción vegetal. Dentro de la zona del estudio de aguas subterráneas, la distribución de áreas según cultivo o característica vegetativa se presenta de la siguiente manera, Tabla 2.

Tabla 2 Distribución de áreas según características de uso actual

Descripción	Superficie en Ha
Áreas urbanas y relacionadas	6860
Caña de azúcar	14645
Cítricos	100
Cereales, fibras, oleaginosas y leguminosas	159180
Tabaco	850
Pastizales establecidos	39490
Pastos naturales no arbolados	370
Pastos naturales arbolados	3460
Bosque natural denso bajo (3-20 m de altura)	11640
Bosque natural ralo bajo	46240
Rastrojos y matorrales	4250
Cuerpos de agua	4120

El área sobre la cual se ha considerado el proyecto de aguas subterráneas, es aproximadamente de 300200 Ha. Es importante también considerar que el 95% de la producción lo aportan los cultivos considerados en la Tabla 2 y el Ministerio de Agricultura y Cría, para el año 1979, estableció la distribución del área según cultivo para la zona.

Tabla 3 Superficie por cultivo predominante, en el área del proyecto de aguas subterráneas

Cultivos	Superficie en Ha
Maíz	43500
Arroz	48400
Sorgo	26250
Caraota	3995
Frijol (Cajanus)	796
Algodón	3550
Ajonjolí	43300
Yuca	3180
Tabaco	850
Caña de azúcar	14645

Para implementar la zona bajo riego, será necesario establecer, además de las redes generales de riego, a redes de drenaje y vialidad. En algunas zonas como Turén, Santa Rosalía y el Playón se tienen sistemas de drenaje superficial establecidos; ésta es una de las zonas donde la explotación del acuífero es bastante grande.

## CAPITULO III

### CONSIDERACIONES SOBRE MODELOS EN AGUAS SUBTERRANEAS

#### MODELO DE PINDER

##### Generalidades

El análisis de los problemas concernientes al comportamiento de los acuíferos y su evolución en el tiempo ha venido realizándose con la utilización de modelos que permiten simular la variación de los niveles de agua en el tiempo. Para dar una solución al movimiento del agua en un acuífero cualquiera, existen diferentes tipos de modelos (Amisial y Jegat, 1976).

##### Modelos analógicos

Se basan en aproximaciones de diferencias finitas de las ecuaciones del flujo; consisten en una red de resistencias y condensadores que pueden ser considerados analógicos a la transmisividad y almacenamiento del acuífero. Estos modelos son más realísticos y versátiles que las soluciones analíticas, y han sido desarrollados para varios acuíferos complejos.

##### Modelos analógicos

Son técnicas mediante las cuales se reemplazan las ecuaciones diferenciales por un sistema mixto de ecuaciones continuas con respecto a una variable, pero discretas con respecto a las demás. La solución del sistema de ecuaciones se lleva a cabo en una computadora analógica que permite la integración en forma continua con respecto a la variable no discretizada.

##### Modelos híbridos

Son similares a los modelos analógicos con la diferencia de que en la

solución del sistema mixto de ecuaciones, se utiliza la combinación de una computadora digital y de una analógica que operan en paralelo. La solución puede llegar a ser muy eficiente si la computadora híbrida cuenta con suficiente capacidad para asignar a la parte analógica las operaciones tales como integración, generación de funciones y multiplicación mientras que la digital hace a la vez de supervisor del flujo de operación y realiza las operaciones lógicas y de almacenamiento.

### Modelos digitales

Son técnicas que permiten reemplazar las ecuaciones del flujo por un sistema de ecuaciones lineales cuyas variables son estimadas en un número finito de puntos. Este método puede utilizar una aproximación por diferencias finitas al sustituir las derivadas por variaciones lineales de las variables, en un intervalo de tiempo. También puede ser usado el método de elementos finitos, que consiste en la formulación del problema, basándose en la teoría del cálculo variacional.

### Utilidad de Modelos Digitales

Los modelos se utilizan con el fin de estudiar el comportamiento de un acuífero ante distintas alternativas de uso de aguas subterráneas, pero en otros casos se han utilizado para estudios de drenajes agrícolas, redes de filtración de presas, acuíferos conectados con embalses y movimiento de contaminantes en acuíferos.

Para la resolución de estos problemas, la técnica de simulación a utilizar puede ser analógica, híbrida o digital, dependiendo en todo caso del equipo disponible. Los modelos digitales tienen la ventaja de una mayor flexi

bilidad para resolver cualquier problema de límites cambiantes, estado inicial de la carga hidráulica y cambios de transmisividad en acuíferos libres.

### Modelo de Pinder

Pinder (1966) utiliza el método iterativo implícito de la dirección alternante para evaluación de acuíferos. El modelo se aplica a acuíferos confinados, libres y semiconfinados; heterogéneos y anisotrópicos, considerando flujo bidimensional y no permanente.

### Ecuaciones utilizadas

Las ecuaciones utilizadas para representar el flujo en acuíferos confinados, libres y semiconfinados (Amisial y Jégat 1976) son:

Acuíferos confinados

$$\frac{\partial}{\partial x} \left( T_x \frac{\partial h}{\partial x} \right) + \frac{\partial}{\partial y} \left( T_y \frac{\partial h}{\partial y} \right) = S \frac{\partial h}{\partial t} + W(x, y, t) \quad (1)$$

S : coeficiente de almacenamiento

T<sub>x</sub>, T<sub>y</sub>: la transmisividad

h : carga hidráulica

W : es la función de entrada o salida por unidad de área, que incluye cualquier caudal de bombeo de un pozo y/o de recarga de un pozo, río o lago.

Acuíferos libres

$$\frac{\partial}{\partial x} \left( K_y h \frac{\partial h}{\partial x} \right) + \frac{\partial}{\partial y} \left( K_y h \frac{\partial h}{\partial y} \right) = S_y \frac{\partial h}{\partial t} + W(x, y, t) \quad (2)$$

$K_x, K_y$  : conductividad hidráulica

$S_y$  : rendimiento específico del acuífero libre

$h$  : espesor saturado del acuífero

Acuífero semiconfinado

$$\frac{\partial}{\partial x} \left( T_x \frac{\partial h}{\partial x} \right) + \frac{\partial}{\partial y} \left( T_y \frac{\partial h}{\partial y} \right) = S \frac{\partial h}{\partial t} - \frac{K'}{m} (H-h) + W(x,y,t) \quad (3)$$

$K$  : conductividad hidráulica de la capa semiconfinante

$m$  : espesor de la capa semiconfinante

$H$  : carga hidráulica del acuífero suprayacente, altura de lagos o ríos. Es constante en el tiempo.

En la resolución de las ecuaciones se debe considerar lo siguiente:

En el centro de cada rectángulo están los puntos o nodos, donde se estudia la variación de la carga hidráulica en el tiempo, Figura 6.

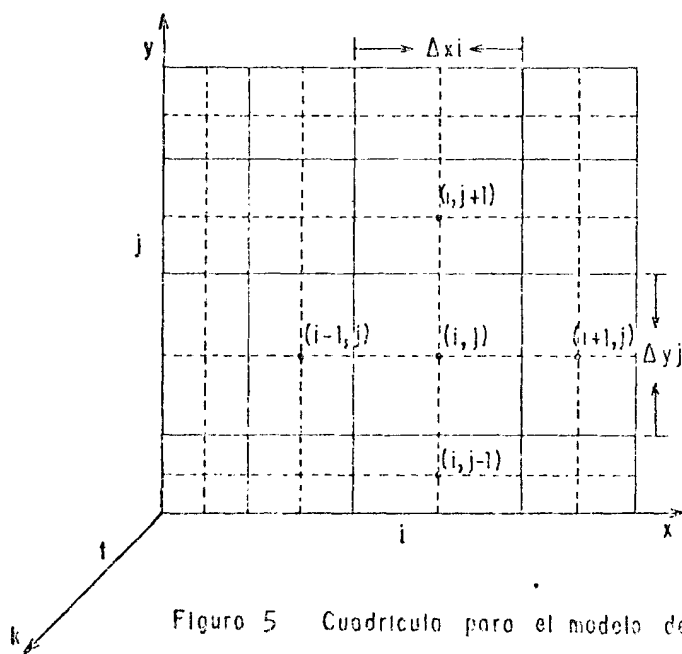


Figura 5 Cuadrícula para el modelo de Pinder

Mediante las medias armónicas de la transmisividad, la ecuación que re presenta el flujo en un acuífero confinado puede ser discretizada en la si- siguiente forma implícita, Pinder (1970).

$$\begin{aligned}
 & T_{i-1/2,j} \left( \frac{h_{i-1,j,k} - h_{i,j,k}}{\Delta x_i} \right) + T_{i+1/2,j} \left( \frac{h_{i+1,j,k} - h_{i,j,k}}{\Delta x_i} \right) + \\
 & T_{i,j-1/2} \left( \frac{h_{i,j-1,k} - h_{i,j,k}}{\Delta y_j} \right) + T_{i,j+1/2} \left( \frac{h_{i,j+1,k} - h_{i,j,k}}{\Delta y_j} \right) = \\
 & S_{i,j} \frac{h_{i,j,k} - h_{i,j,k-1}}{\Delta t_k} = W_{i,j,k} \quad (4)
 \end{aligned}$$

$$T_{i-1/2,j} \text{ es la media armónica de } \frac{T_x(i,j)}{\Delta x_i} \text{, y, } \frac{T_x(i-1,j)}{\Delta x_{i-1}}$$

o sea:

$$T_{i-1/2,j} = \frac{2T_x(i,j) T_x(i-1,j)}{T_x(i,j) \Delta x_{i-1} + T_x(i-1,j) \Delta x_i} \quad (5)$$

La función de entrada o salida  $W_{i,j,k}$  puede tomar las dos formas siguientes:

a) En caso del bombeo o caudal constante  $q_{i,j}$  de un pozo ubicado en el punto de coordenadas  $i\Delta x, j\Delta y$ .

$$W_{i,j,k} = \frac{q_{i,j}}{\Delta x_i \Delta y_i}$$

b) En caso de una filtración desde una capa semi-confinante

$$W_{i,j,k} = (h_{i,j,0} - h_{i,j,k}) \frac{K'}{\ell_{i,j} (\pi K' tk/2\ell_{i,j}^2 S_s)^{1/2}} \times$$

$$\left[ 1 + 2 \sum_{n=1}^{\infty} \exp\left(\frac{-n^2}{K' tk/2\ell_{i,j}^2 S_s}\right) \right] + \frac{K'}{\ell_{i,j}} (h_{i,j,0} - \hat{h}_{i,j,0}) \quad (6)$$

$h_{i,j,0}$  : carga inicial en el acuífero

$h_{i,j,0}$  : carga en la capa confinante, o elevación en lagos y ríos

$k'$  : permeabilidad en la zona semiconfinante

$S_s$  : almacenamiento específico en la capa semiconfinante

$P_{i,j}$  : espesor de la capa semiconfinante en el punto  $(i,j)$

En acuíferos libres, la ecuación 2 no tiene una forma lineal y, para linealizarla, se expresa la transmisividad al tiempo  $k + 1/2$ , usando el valor de la carga al tiempo  $k$  o sea:

$$T_{i,j} = k_{i,j} \cdot T_{i,j,k} \text{ para el cálculo de } h_{i,j,k+1/2}$$

y

$$T_{i,j} = k_{i,j} \cdot T_{i,j,k+1/2} \text{ para el cálculo de } h_{i,j,k+1}$$

### Condiciones Límites

Las condiciones en los límites para efectos de simulación pueden ser:

a) Impermeable, cuando el acuífero tiene contacto con mantos de roca o bien zonas de arcillas compactadas que no permiten el paso de agua; para este caso los valores de transmisividad son iguales a cero en el punto considerado o sea  $T_{i,j} = 0$

b) Carga constante, cuando existen cuerpos de agua ya sean ríos, lagos, embalses que permiten recargar al acuífero constantemente en función de la carga hidráulica.

c) Flujo constante, cuando al acuífero entra o sale determinado flujo de agua en forma constante.

### Método directo en sentido alternante (ADI)

Este método fue desarrollado por Peaceman y Rachford (1955). La idea del método es:

- a) Dibujar una malla con contorno exterior rectangular.
- b) Dividir el  $\Delta t$  en dos partes
- c) Resolver el sistema para el instante  $t + \Delta t/2$  barriendo fila por fila. Se consideran como incógnitas los niveles  $t + \Delta t/2$  en la fila calculada, mientras que los niveles en las filas anterior y posterior se suponen conocidos con el valor correspondiente a  $t$ .
- d) Partiendo de  $t + \Delta t/2$ , resolver el sistema para  $t + \Delta t$  barriendo columna por columna. Se consideran como incógnitas los niveles en  $t + \Delta t$  en la columna calculada, mientras que los niveles en las columnas anterior y posterior se suponen conocidos con el valor correspondiente a  $t + \Delta t/2$ .

Concluido todo el proceso, se tienen los niveles de agua en cada nodo en  $t + \Delta t$ . Con esto queda finalizado el cálculo para el intervalo  $\Delta t$ . Por lo tanto, no se trata de un método iterativo, ya que los valores finales se obtienen directamente, mediante 2 rastreos de la malla sin necesidad de aplicar ningún criterio de error.

### Método Iterativo Implícito de la Dirección Alternante

#### (IADI)

Con el fin de mejorar el método anterior, se desarrolló la versión iterativa. Esencialmente es igual que el ADI; esto es, que realiza rastreos alternativos de la malla, unas veces en dirección de las columnas y otras ve-

ces en dirección de las filas. Sin embargo, existen tres diferencias derivadas del carácter iterativo.

Cada dos rastreos de la matriz no completan un intervalo de tiempo, sino que completan una iteración. Esto permite variar progresivamente la transmisividad en función del nivel obtenido en cada iteración, por lo cual puede aplicarse a los problemas no lineales que se presentan al tratar acúferos libres.

Se considera terminado el cálculo del intervalo cuando el error es aceptable, según un criterio prefijado.

Para mejorar la eficiencia del proceso iterativo se incluye una serie de parámetros de aceleración de la convergencia, números positivos y reales.

El sistema de ecuaciones puede ser resuelto con este método. El método aumenta considerablemente el tiempo y los requerimientos de memoria de la computadora pero es más preciso.

Es posible explicar este método demostrando que las ecuaciones se modifican de dos maneras diferentes, de modo que en cada expresión los valores desconocidos de la carga hidráulica corresponden sólo a una dirección de coordenadas (Beltran, 1976).

Esto se efectúa iterativamente para cada fila y luego se repite el procedimiento para las columnas.

#### Cálculo fila por fila

Se consideran incógnita los valores de la carga hidráulica de la fi-

la "j" y se hace variar "i".

Los valores conocidos son identificados con el término  $h_{i^0,j,k}$  y los desconocidos  $h_{i^1,j,k}$ ,

La ecuación se expresa de la siguiente forma:

$$\begin{aligned}
 & T_{i-1/2,j} \left( \frac{h_{i^1-1,j,k} - h_{i^1,j,k}}{\Delta x_i} \right) + T_{i+1/2,j} \left( \frac{h_{i^1+1,j,k} - h_{i^1,j,k}}{\Delta x_i} \right) + \\
 & T_{i,j-1/2} \left( \frac{h_{i^0,j-1,k} - h_{i^0,j,k}}{\Delta y_j} \right) + T_{i,j+1/2} \left( \frac{h_{i^0,j+1,k} - h_{i^0,j,k}}{\Delta y_j} \right) = \\
 & S_{i,j} \left( \frac{h_{i^1,j,k} - h_{i^1,j,k-1}}{\Delta t_k} \right) + W_{i,j,k+P} (h_{i^1,j,k} - h_{i^0,j,k}) \quad (7)
 \end{aligned}$$

Ordenando las ecuaciones de forma que en el primer miembro queden las incógnitas y en el segundo los valores conocidos se tiene:

$$\begin{aligned}
 & \frac{T_{i-1/2,j}}{\Delta x_i} h_{i^1-1,j,k} + \left( -\frac{T_{i-1/2,j}}{\Delta x_i} - \frac{T_{i+1/2,j}}{\Delta x_i} - \frac{S_{i,j}}{\Delta t_k} - P \right) h_{i^1,j,k} + \\
 & \frac{T_{i+1/2,j}}{\Delta x_i} h_{i^1+1,j,k} = -\frac{T_{i,j-1/2}}{\Delta y_j} h_{i^0,j-1,k} + \left( \frac{T_{i,j-1/2}}{\Delta y_j} + \frac{T_{i,j+1/2}}{\Delta y_j} - \right. \\
 & P \left. \right) h_{i^0,j,k} + T_{i,j+1/2} h_{i^0,j+1,k} - S_{i,j} h_{i^1,j,k-1} + W_{i,j,k} \quad (8)
 \end{aligned}$$

definiendo

$$A_i = \frac{T_{i-1/2,j}}{\Delta x_i}$$

$$B_i = \frac{T_{i-1/2,j}}{\Delta x_i} - \frac{T_{i+1/2,j}}{\Delta x_i} - \frac{S_{i,j}}{\Delta t_k} - P$$

$$C_i = \frac{T_{i+1/2,j}}{\Delta x_i}$$



$$D_i = \frac{T_{i,j-1/2}}{\Delta y_j} h_{i^0,j-1,k} + \left( \frac{T_{i,j-1/2}}{\Delta y_j} + \frac{T_{i,j+1/2}}{\Delta y_j} - \hat{p} \right) h_{i^0,j,k} + T_{i,j+1/2} h_{i^0,j+1,k} - S_{i,j} h_{i,j,k-1} + W_{i,j,k} \quad (9)$$

con

$i = 1, 2, \dots, n$  el sistema 7 queda en forma matricial

$$\begin{bmatrix} B_1 & C_1 & 0 \\ A_2 & B_2 & C_2 \\ & & A_{n-1} & B_{n-1} & C_{n-1} \\ & & & A_{n-1} & B_{n-1} \end{bmatrix} \begin{bmatrix} h_{1,j,k} \\ h_{2,j,k} \\ \vdots \\ \vdots \\ h_{n,j,k}^1 \end{bmatrix} = \begin{bmatrix} D_1 \\ D_2 \\ \vdots \\ \vdots \\ D_n \end{bmatrix} \quad (10)$$

El sistema es tridiagonal, la matriz de coeficientes tiene todos sus elementos iguales a cero, excepto los correspondientes a las tres diagonales principales.

Hay un algoritmo muy eficiente para resolver sistemas tridiagonales.

#### Cálculo columna por columna

Se consideran incógnitas los valores de carga hidráulica de la columna  $i$  y se hace variar  $j$ .

Los valores conocidos son  $h_{i^1,j,k}^1$  y las incógnitas  $h_{i^2,j,k}^2$  a partir de ellos se obtiene el siguiente sistema:

$$\frac{T_{i-1/2;j}}{\Delta x_i} (h_{i-1^1,j,k} - h_{i^1,j,k}) + \frac{T_{i+1/2;j}}{\Delta x_i} (h_{i+1^1,j,k} - h_{i^1,j,k}) + \frac{T_{i,j-1/2}}{\Delta y_j} (h_{i^2,j-1,k} - h_{i^2,j,k}) + \frac{T_{i,j+1/2}}{\Delta y_j} (h_{i^2,j+1,k} - h_{i^2,j,k}) =$$



El sistema es tridiagonal, utilizando las ecuaciones 9, 10, 12 y 13 se constituyen el siguiente algoritmo (Beltran, 1976).

Algoritmo

1o. se suponen conocidos  $h_{i,j,k-1}$

$i = 1, 2, \dots, n$

$j = 1, 2, \dots, m$

Cuando  $k-1 = 0$ , los valores  $h_{i,j,0}$  corresponden a las condiciones iniciales. En caso contrario  $h_{i,j,k-1}$  son valores calculados anteriormente.

2o. se supone  $h_{i^0,j,k} = h_{i,j,k-1}$

$i = 1, 2, \dots, n$

$j = 1, 2, \dots, m$

3o. se resuelve el sistema de ecuaciones

y se obtiene  $h_{i^1,j,k}$

$i = 1, 2, \dots, n$

$j = 1, 2, \dots, m$

4o. se resuelve el sistema de ecuaciones

y se obtiene  $h_{i^2,j,k}$

$i = 1, 2, \dots, n$

$j = 1, 2, \dots, m$

5o. con  $h_{i^1,j,j}$  y  $h_{i^2,j,k}$ ; y las dos aproximaciones de  $h_{i,j,k}$  obtenidas de 3o. y 4o. se verifican las siguientes condiciones.

- Si  $\left| h_{i^1,j,k} - h_{i^2,j,k} \right| < \epsilon$  para todos los valores de  $i$  y  $j$  siendo  $\epsilon$  un criterio de error prefijado, se detienen las iteraciones y se pasa al intervalo de tiempo siguiente  $k + 1$ .

Si existen  $i, j$  tales que:

$$\left| h_{i^1,j,k} - h_{i^2,j,k} \right| > \epsilon$$

Se hace  $h_{i^0,j,k} = h_{i^2,j,k}$  para todo  $i, j$  y se calculan nuevas aproximaciones  $h_{i^1,j,k}$  y  $h_{i^2,j,k}$  iterando a partir de 3o.

#### Descripción del programa de Pinder

El programa simula la variación de la carga hidráulica del acuífero en función de espacio y tiempo; la descripción de los datos de entrada del modelo se observan en el Apéndice A.

Esta versión original del modelo de Pinder puede trabajar alternativamente con acuíferos libres, semiconfinados y/o confinados, sometido al bombeo de pozos a tasa constante en el tiempo.

Beltran (1976) presenta el programa ACMIXTO que además de trabajar en las condiciones antes mencionadas, define las siguientes posibilidades: acuíferos libres que debido a recargas pueden transformarse en confinados o semiconfinados; acuíferos semiconfinados o confinados que por explotación pueden pasar a mixtos, es decir, partes libres y partes confinadas. Se tiene también la facilidad de poder introducir o detener la explotación en los pozos en cualquier momento de la simulación, considerando bombeo escalonado en el tiempo.

Jé gat (1977) hace también cambios que permiten adaptaciones al modelo en la forma presentada por Beltran (1976), sin considerar caudal variable; además, introduce una variación en el orden de resolución de las ecuaciones del Pinder original. El programa Pinder modificado, para realizar el cálculo fila por fila y columna por columna, necesita hacer prueba de convergencia al completar un ciclo de iteraciones. Para esto se requiere mayor tiempo de computadora pero se obtiene mayor precisión.

Para el presente trabajo se utilizó el programa de Pinder modificado por Jé gat (1977), ver Apéndice A, Tabla A1 y Figura A1.

Bdigital.ula.ve

## CAPITULO IV

### CARACTERIZACION DEL ACUIFERO

#### Delimitación

Tiene como límite el piedemonte de los Andes Venezolanos y la carretera Trocal V que va a poca distancia de éste; además, con los ríos Sarare y Morador en un ancho de 43 km. La extensión areal del acuífero es de 300200 hectáreas. En cuanto a la profundidad de estudio se consideró hasta 80 m, según la información obtenida a partir de perforaciones de las cuales se elaboraron los perfiles litológicos. Esto se muestra en el Apéndice B, Tabla B1 y Figura B1, B 18.

#### Aspectos Litológicos

El piedemonte es producto de deposiciones de material aluvial, que son una secuencia de estratos permeables e impermeables, compuestos de gravas, arenas, limos y arcillas en todas sus combinaciones. El sector piedemonte, al entrar en la planicie, está formado casi totalmente de material fosilizado por aluviones recientes, (MOP, 1973), con algunas islas o escalones del cuaternario antiguo y reciente, en alturas de 240 y 360 msnm, como el caso de Acarigua. El material casi fosilizado está compuesto de material grueso como piedras y gravas. Esta es una zona de gran infiltración de agua de los ríos y la de mayor recarga al acuífero. Comprende, entre los ríos Sarare y Acarigua, una faja de 15 - 20 km, perpendicular al piedemonte andino, reduciéndose hasta 8 km hacia el río Morador; esta zona presenta un acuífero libre y según los perfiles litológicos elaborados, existen grandes depósitos de material

grueso muy permeables hasta 50-60 m de profundidad. Estos materiales se fueron depositando según la velocidad del agua de los ríos, de tal manera que al ir bajando y disminuyendo la pendiente del río disminuyen las capas de material grueso y superficialmente se observa un depósito de materiales más finos, como arenas finas, limos y arcillas, superficialmente debido al desplazamiento de los ríos. El acuífero está más profundo debido al depósito de un estrato arcilloso, de tal manera que sufre un confinamiento paulatino. Esto se puede ver en el perfil isométrico elaborado, Figura 6.

En la Figura 6, se observa que en la zona de Turén hacia abajo, en dirección NW-SE, se empieza a confinar el acuífero, observándose una capa gruesa de arcillas y limos compactos que varía de 5 a 22 m de espesor, a medida que se interna en el llano.

Entre los ríos Guache y Morador, se observa una serie de estratificaciones en la zona confinada e incluso en esta región, por las Vegas de Ospino, el agua emerge a la superficie.

En síntesis, el acuífero tiene comportamiento libre en la zona cercana al piedemonte y luego sufre un confinamiento aguas abajo de los ríos Morador Aca rigua y Sarare. Esta característica se determinó en base al mapa isométrico elaborado, a las pruebas de bombeo.

#### Características Hidrogeológicas

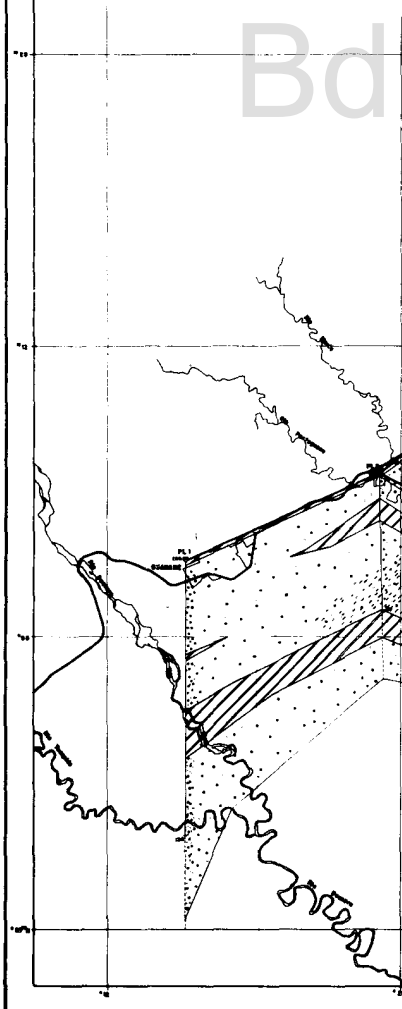
El acuífero, como sistema físico, tiene un cierto comportamiento regulado por extracciones, bombeo, y recargas, dependiendo de características intrínsecas que se definen a continuación.

Figura 6.

CORTE ISOMETRICO ENTRE L  
DEL ESTAD

LEYENDA

- PL 6 Numero de Pozo
- 15000 Cota del Pozo en m.s.n.m.
- Pozo
- Profundidad del Pozo en mts
- Perfil Supuesto
- Rios
- Carreteras
- Ciudades y Pueblos
- Arcilla
- Grava
- Arena
- Conglomerado
- Grava Arenosa
- Arcilla Gravosa
- Arcilla Arenosa
- Grava Arenosa Arcillosa



Bdigital.ula.ve

### Permeabilidad o Conductividad Hidráulica

Se define como el caudal que pasa por una sección o unidad de acuífero, en un gradiente,  $i$ , unitario, a una temperatura fija o determinada (Custodio y Llamas 1976). La permeabilidad depende de factores intrínsecos como los mencionados y factores extrínsecos, tal como la viscosidad y peso específico del fluido.

La ecuación que la define es:

$$K = \frac{V}{i} \quad (14)$$

$$\text{donde } i = \frac{\Delta h}{l} \quad (15)$$

$i$  : gradiente

$l$  : longitud

$\Delta h$  : diferencia de carga

$K$  : coeficiente de permeabilidad

$V$  : velocidad aparente

En la Tabla 4 se pueden observar materiales característicos, y su permeabilidad encontrados en la zona acuífera.

Tabla 4. Materiales característicos y permeabilidad

Permeabilidad (m/día)	$10^2$	$10^1$	$10^0$	$10^{-1}$	$10^{-2}$	$10^{-3}$	$10^{-4}$	$10^{-5}$	$10^{-6}$
Tipo de terreno	Grava limpia	Arena limpia; mezcla de grava y arena	Arena fina; arena arcillosa; mezcla de arena, limo y arcilla; arcillas estratificadas	Arcillas no meteorizadas					
Clasificación	Buenos acuíferos			Acuífero pobres			Impermeables		
Capacidad de drenaje	Drenan bien			Drenan mal			No drenan		

Según las características del material predominante observado en los datos de perforaciones, se definieron zonas de permeabilidad semejante. Esta varía en rangos de 120 m/día en la zona de piedemonte y en los flancos de los ríos debido a la presencia de gravas gruesas y arenas, así mismo, va disminuyendo a medida que se aleja del piedemonte, ya que debido a la reducción de la pendiente de los ríos y los desplazamientos, se han depositado materiales más finos y se observan zonas de conductividad en rangos de 50-60 m/día. Esta característica se observó a partir de los ensayos por bombeo de los perfiles litológicos y, posteriormente, en la calibración del modelo de Pínder.

#### Transmisividad

La transmisividad fue introducida por Theis en 1935. Se define como el caudal que se filtra a través de una franja vertical de terreno en una unidad de ancho y la altura igual a la del manto permeable saturado, bajo una unidad de gradiente, a una temperatura fija determinada; se expresa en m<sup>2</sup>/día, m<sup>3</sup>/día/m de donde:

$$T = K \cdot m \quad (16)$$

T: transmisividad

K: conductividad hidráulica

m: espesor saturado del acuífero

Los valores de la transmisividad se obtuvieron a partir de las pruebas de bombeo midiendo el abatimiento en el pozo de bombeo y a partir de mediciones en pozos de observación; en base a estos resultados, se elaboró el mapa de isolíneas de transmisividad, Figura 7. Entre los ríos Morador y Acarigua se

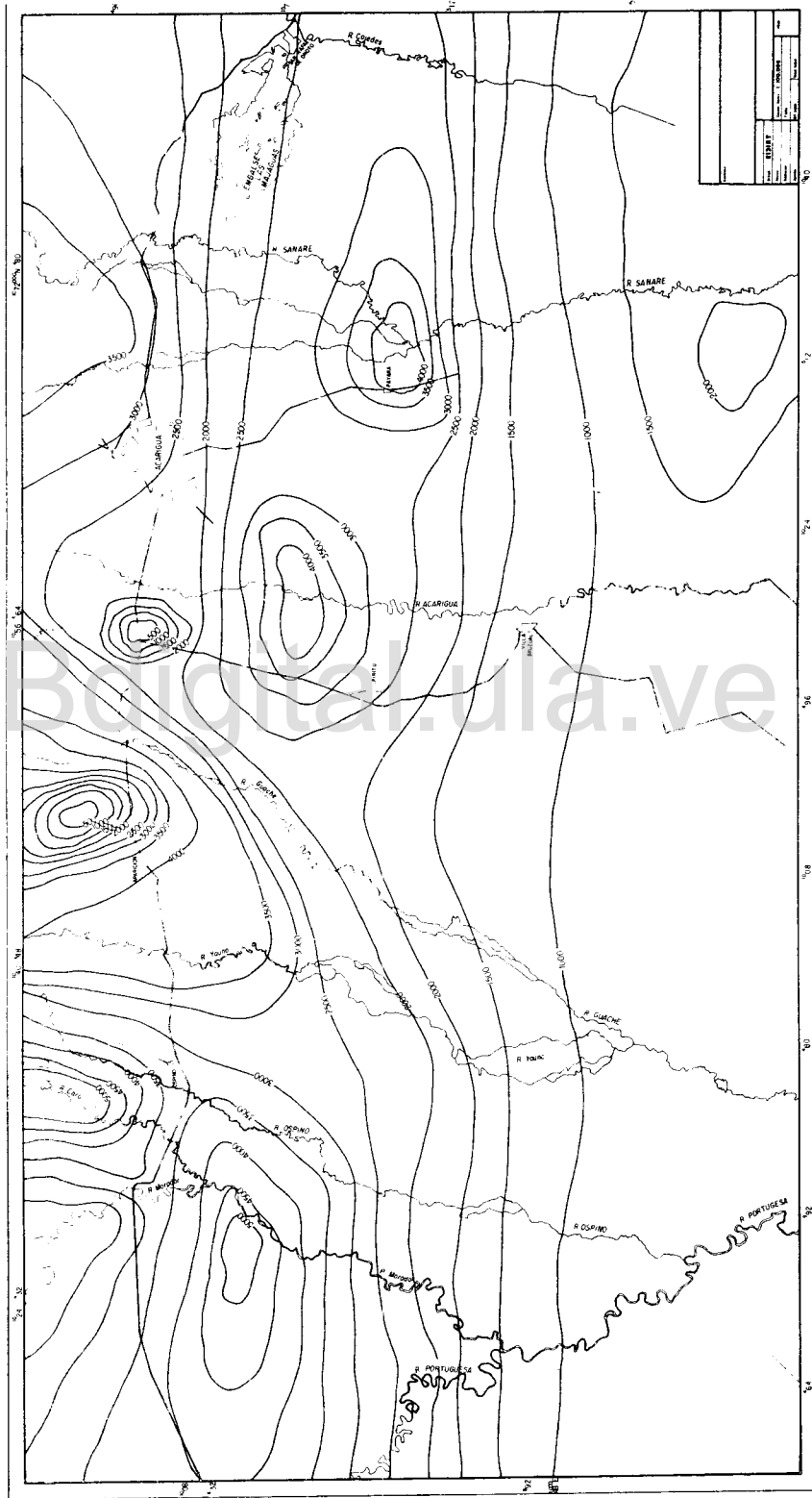


Figura 7. Isolneas de transmisividad

observa una faja con valores entre 2000 a 4500 m<sup>2</sup>/día, en las cercanías del piedemonte y aledaño a los ríos, debido a los grandes depósitos de gravas. Esta zona es muy rica en agua, ya que el material poroso permita una gran infiltración, la cual ocurre en una faja de 8 a 15 km respectivamente.

Entre los ríos Acarigua y Sarare, la transmisividad varía entre 2000 y 3000 m<sup>2</sup>/día y se extiende en una faja de 20 km a partir del piedemonte, en dirección perpendicular a éste. La transmisividad entre 1300 a 2000 m<sup>2</sup>/ día es una fase transicional entre el acuífero libre y el confinado.

A la altura de las Vegas de Ospino, cerca al río Morador, Villa Bruzual y Acarigua, hacia aguas abajo de los ríos, los valores de la transmisividad disminuyen debido a la reducción del espesor saturado, entre 20-30 m, y también de la permeabilidad. Los rangos varían entre 800-1200 m<sup>2</sup>/día.

#### Rendimiento específico y coeficiente de almacenamiento

El rendimiento específico es la relación que existe entre el volumen de agua que puede liberarse por drenaje gravitacional y un volumen de acuífero. El valor para el acuífero libre se obtuvo a partir de los datos del MOP (1973), ya que para esta zona no fue posible establecer pozos de observación y los valores varían entre los  $1,4 \times 10^{-2}$  a  $20 \times 10^{-2}$ . El coeficiente de almacenamiento representado por el volumen de agua que libera un acuífero cautivo por expansión del agua y compactación de la matriz sólida, es adimensional. Este parámetro se determinó a partir de ensayos por bombeo con medición del abatimiento en el pozo de observación; los valores obtenidos van desde  $1,2 \times 10^{-3}$  hasta  $7, \times 10^{-4}$ , disminuyendo en dirección aguas abajo, donde

el acuífero sufre un confinamiento. Ambos coeficientes se corrigieron durante la calibración del modelo Pinder.

### Interpretación de las Pruebas por Bombeo

Para determinar los parámetros hidrogeológicos tal como permeabilidad, transmisividad y el coeficiente de almacenamiento, se distribuyeron pruebas por bombeo en el área, unas midiendo el abatimiento en el mismo pozo y otros en el pozo de observación. En la Tabla 6 se indican los tipos de pruebas, ubicación, el parámetro determinado y condiciones para el análisis.

Los métodos para analizar los datos de ensayos por bombeo en condiciones de flujo en régimen permanente y variable, para acuíferos de extensión infinita y aplicado a acuíferos libres, confinados, semiconfinados y semilibres, en condiciones corrientes de campo, sin considerar límites de barrera, recarga o formas de acuíferos, se basan en los siguientes supuestos, Kruseman (1975).

- El acuífero tiene una extensión superficial infinita
- El acuífero en el área influenciada por el ensayo por bombeo, es homogéneo, isótropo y de espesor uniforme
- Antes de bombear, la superficie piezométrica y/o superficie freática son casi horizontales en el área influenciada por el bombeo.
- Se bombea el acuífero a caudal constante
- El pozo penetra totalmente en el acuífero y por ello recibe agua de todo el espesor del acuífero, siendo el flujo horizontal.

### El método de Jacob

Las pruebas a caudal constantes se interpretaron por el método

Tabla 5 . Descripción de las Pruebas por Bombeo.

LUGAR	TIPO DE PRUEBA	CAUDAL BOMBEO l/s	NIVEL ESTÁTICO	NIVEL DE BOMBEO	DIÁMETRO DEL POZO cm	DISTANCIA AL PIEZOMETRO m	TIEMPO DE BOMBEO horas	TRANSIVIDAD (m <sup>3</sup> /día/m TO)	COEFICIENTE ALMACENAMIENTO	METODO INTERPRETACION
La Flecha	Caudal Constante	27,5	29,0	24,21	40,0	-	15,0	483,2	-	Jacob
Empresa Choro Gonzalero	Caudal Constante	130,0	1,52	4,57	40,0	-	28,0	3304,0	-	Jacob
Potrero de Armo	Recuperación	142,0	3,79	10,75	40,0	-	102,0	2159,0	-	Jacob
Colonia Turén	Caudal Constante	110,0	2,21	-	40,0	50	36,0	1023,0	5,33x10 <sup>-3</sup>	Jacob
Fca. Payara	Caudal Constante	126,0	2,00	7,01	45,0	-	26,0	3985,0	-	Jacob
Hda. Guache	Caudal Constante	21,0	17,36	30,54	35,0	-	24,0	706,0	-	Jacob
Fca. Charafús	Caudal Constante	159,0	0,50	-	45,0	186,0	25,0	2566,0	7,183x10 <sup>-4</sup>	Jacob
Tierra Buena	Recuperación	90,0	6,42	13,30	40,0	-	49,0	3847,0	-	Jacob
Parigua	Caudal Constante	140,0	5,81	-	40,0	200,0	48,0	2635,0	1,60 x10 <sup>-3</sup>	Jacob

de Jacob, kruseman (1975), a partir de los datos de abatimiento-tiempo obtenidos en el campo. En este método las ecuaciones que se usan son:

$$T = \frac{2,3 Q}{4 \pi \Delta s} \quad (17)$$

$$S = \frac{2,25 T \cdot t_0}{r^2} \quad (18)$$

T : transmisividad

Q : caudal

S : coeficiente de almacenamiento

$\Delta s$  : abatimiento en un ciclo logarítmico

$t_0$  : valor que se obtiene al intersectar la recta abatimiento-tiempo en el eje de abatimiento igual a cero.

r : distancia al pozo de observación

Para representar los datos de abatimiento respecto al tiempo bombeado, se usa papel semilogarítmico; el tiempo va en la escala logarítmica y el abatimiento en la escala aritmética, de tal manera que al ajustarse a una recta los valores  $t_0$  y  $\Delta s$  quedan determinados.

Cuando no se tiene pozo de observación únicamente se puede obtener el valor de la transmisividad, ya que el coeficiente de almacenamiento y el rendimiento específico no se pueden determinar en el mismo pozo.

Si el ensayo por bombeo se hace en un acuífero libre el abatimiento se corrige con la ecuación:

$$s' = s - \frac{s^2}{m} \quad (19)$$

donde:

s : abatimiento medido

s' : abatimiento corregido

m : espesor saturado del acuífero

La prueba realizada en la Finca Charada, en las Vegas de Ospino, se presenta como ilustración al método antes descrito. Los datos de abatimiento-tiempo se presentan en la Tabla 7, y la gráfica de abatimiento-tiempo en la Figura 8, en papel semilogarítmico, en donde:

$$t_0 = 6,20 \text{ minutos} = 4,305 \times 10^{-3} \text{ días}$$

$$\Delta s = 0,98 \text{ m}, \text{ tomando un ciclo logarítmico}$$

cambiando las ecuaciones 16, 17, 18 y 19 se obtiene que  $T=2.565,7 \text{ m}^2/\text{día}$ ,  $s = 7.183 \times 10^{-4}$ , adimensional,  $K = 102,6 \text{ m/día}$  y  $\mu = 0,0024$ , cumple la condición de Jacob de que  $\mu < 0,01$

Además de los supuestos generales para interpretación de las pruebas por bombeo, el método de Jacob se basa en la fórmula de Theis y debe satisfacer las siguientes condiciones o supuestos limitantes. (Kruseman, 1975).

-El acuífero es confinado

-El flujo del agua hacia el pozo es un régimen variable, es decir, ni las diferencias del descenso del nivel en los piezómetros son despreciables con el tiempo, ni el gradiente es constante con el tiempo.

-La extracción del agua del almacenamiento produce inmediatamente descenso en la carga hidráulica.

-El diámetro del pozo es muy pequeño y se desprecia el almacenamiento en el mismo.

-Valores de  $\mu$  pequeños,  $\mu < 0,01$  relacionan que  $r$  es pequeño y  $t$  es grande.

Tabla 7. Datos de Abatimiento-Tiempo.

Prueba de Bombeo Caudal Constante Fecha: 12 - 3 - 80

Lugar: Finca Charada, Vegas de Ospino, Estado Portuguesa

Caudal Bombeado 159 l/s Nivel Estático 0,50

Profundidad de: Pozo Bombeo 70 m Pozo Observación 70 mDiámetro Pozo de Bombeo 0,45 m Distancia al Pie  
zómetro 186 mTiempo de Bombeo 25 Hr Cota msnm 116 m Tipo de Bomba Combustión

Tiempo (minutos)	Abatimiento (mts)	Tiempo (minutos)	Abatimiento (mts)
3	0,54	1.800	2,79
5	0,58		
6	0,62		
8	0,65		
15	0,85		
20	1,04		
30	1,16		
40	1,24		
50	1,36		
65	1,49		
80	1,60		
95	1,68		
125	1,80		
155	1,90		
185	2,00		
250	2,11		
305	2,20		
420	2,30		
510	2,37		
720	2,55		
1350	2,72		
1500	2,76		

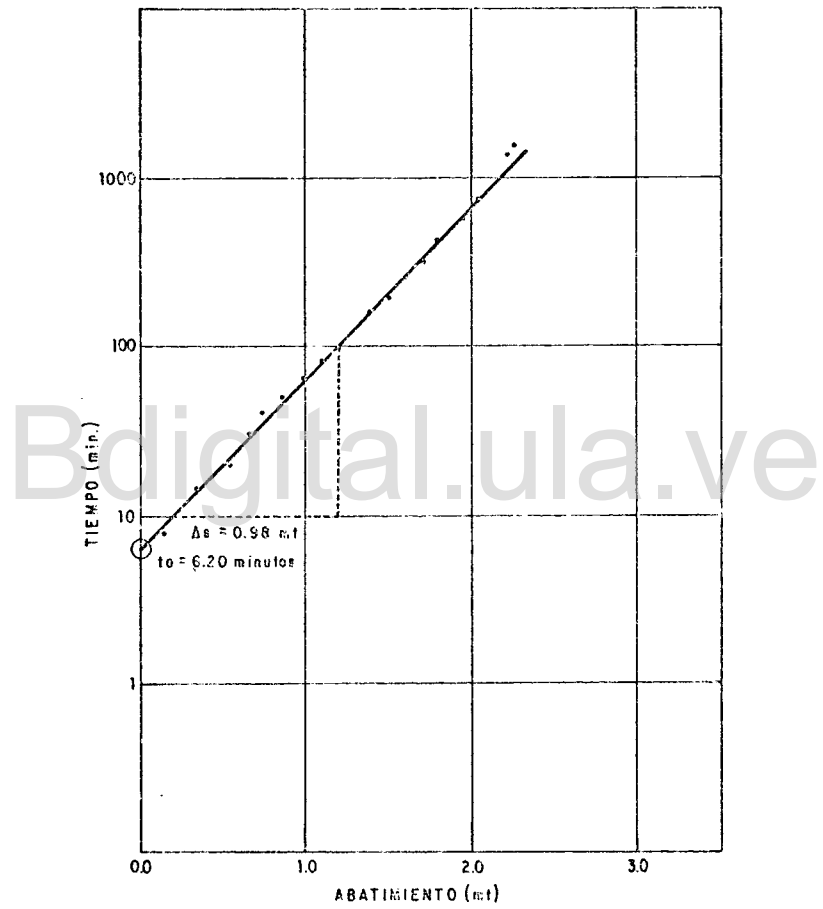


Figura 8 Prueba de bombeo a caudal constante, pozo PB-1

donde

$$\mu = \frac{r^2 S}{4 T} \quad (20)$$

Las pruebas de recuperación consisten en suspender el bombeo después de determinadas horas y el agua comienza a subir a su posición original o nivel estático. Este período de ascenso es llamado recuperación del pozo y se mide en base al descenso residual,  $s''$  y es la diferencia entre el nivel del agua antes de comenzar el bombeo y el nivel actual medido en cierto momento  $t$ , después de finalizado el bombeo, Figura 10.

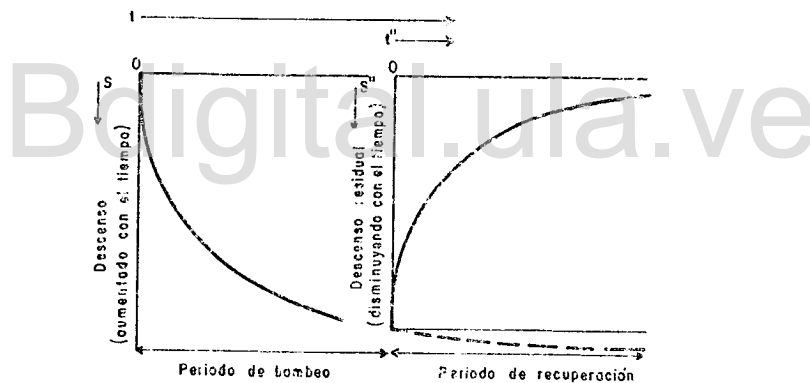


Figura 9 Diagramas esquemáticos de las relaciones tiempo-descenso y tiempo-descenso residual.  
Fuente: Kruseman, 1975

Con la prueba de recuperación se puede calcular la transmisividad y se escogió este tipo de prueba en aquellas zonas donde no se contaba con pozo de observación y porque da menos error por no tener efecto de las pérdidas de pozo.

En la recuperación no se producen las pequeñas diferencias en el descenso, debidas a las variaciones de descarga durante el bombeo. Si se satis-

facen los supuestos de Jacob, se puede utilizar el método de recuperación de Theis para calcular las propiedades hidráulicas del acuífero.

Según Theis el descenso residual  $s''$  durante el período de recuperación viene dado por, (Kruseman, 1975).

$$s'' = \frac{Q}{4\pi T} \left[ \ln \frac{4Tt}{r^2 S} - \ln \frac{4Tt''}{r^2 S''} \right] \quad (21)$$

donde

Q : caudal bombeado

T : transmisividad

r : distancia al pozo de observación

S : coeficiente de almacenamiento durante el bombeo.

$S''$  : coeficiente de almacenamiento durante la recuperación

t : tiempo de descenso durante el bombeo

$t''$  : tiempo de descenso residual

Si S y  $S''$  son constantes e iguales y  $r$  es suficientemente pequeño, se escribe:

$$s'' = \frac{2,3 Q}{4 T} \log \frac{t}{t''} \quad (22)$$

De tal manera que los valores de  $t/t''$  se plotean en la escala logarítmica y los del descenso residual en la escala aritmética en papel semilogarítmico.

Con estas pruebas sólo se puede determinar la transmisividad y no así el coeficiente de almacenamiento. Para esto se muestra la prueba en los pozos PB-7 y PB- 8. Ver Figuras 10 y 11.

Para medir los cambios de abatimiento del agua en los pozos de observación o bombeo, se utilizó una sonda eléctrica, adaptada a un medidor de vol

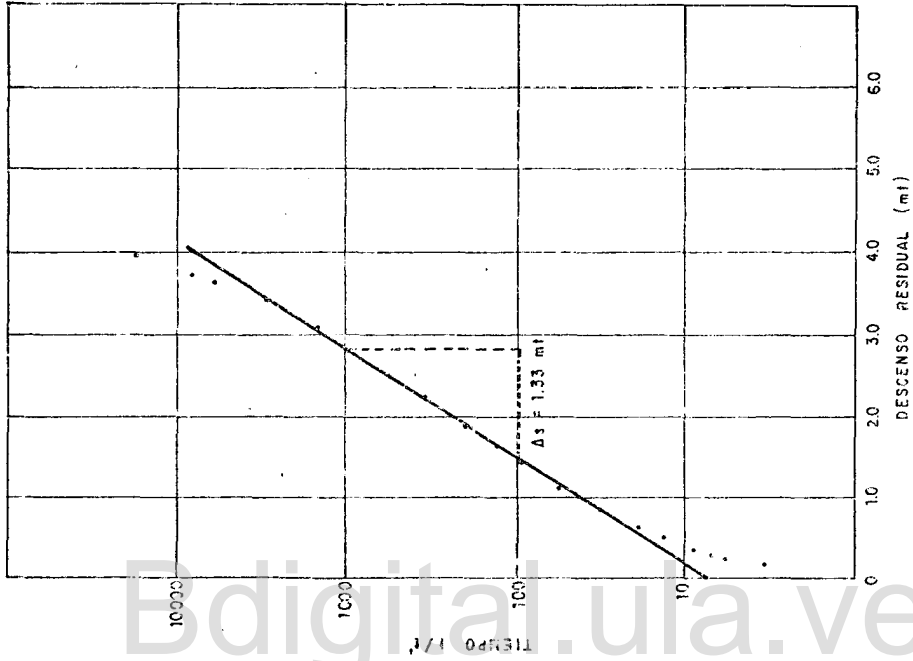


Figura 11 Prueba de bombeo de recuperación, pozo PB-8

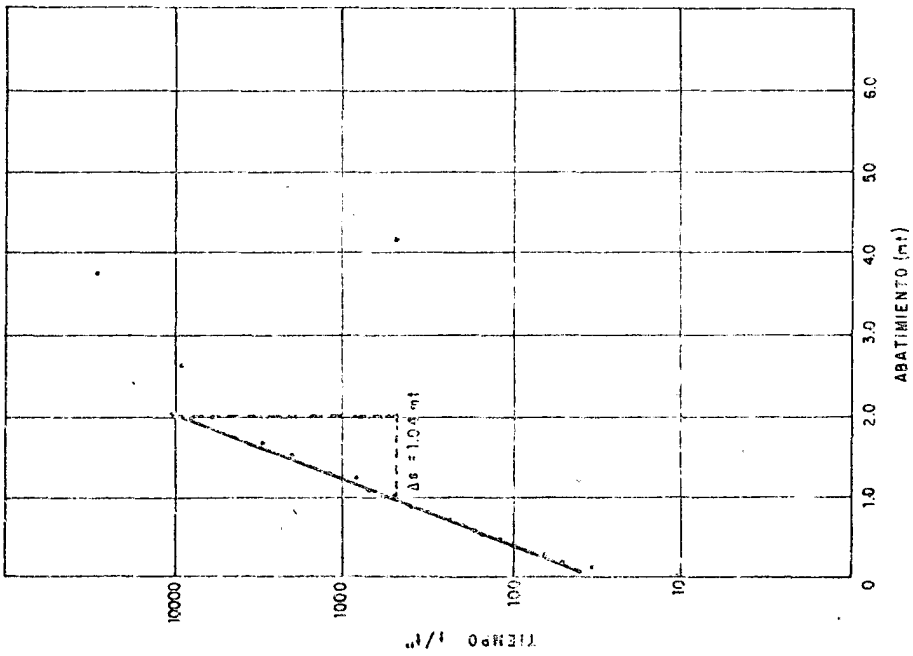


Figura 10 Prueba de bombeo de recuperación, pozo PB-7

taje sensible, de tal manera que al tocar el agua marcaba en el detector.

Los aforos de los pozos se hicieron en base al volumen por tiempo de llenado en las tanquillas que reciben el agua, por medio de un parshall, con capacidad para 90 l/s y en algunos casos con el vertedero rectangular ya establecido en el tanque de salida.

### Determinación de la Recarga

#### Generalidades

Es importante saber que la recarga es parte del balance hidrológico del sistema, según Custodio (1975), la ecuación de continuidad es la misma del balance hidráulico y se expresa:

$$\text{Entradas} = \text{salidas} + \text{Variación de almacenamiento}$$

Castany (1973) considera que los elementos principales que determinan el balance de la capa acuífera se pueden presentar en la ecuación siguiente:

$$I_w + I_Q + I_r + q_w + q_s = E + R + Q_{ex} + Q_e + Q_w + d_w \quad (23)$$

donde :

$I_Q$   $I_r$  : infiltración por aguas superficiales

$I_w$  : infiltración eficaz

$q_w$  : aportes de aguas subterráneas, alimentación indirecta

$q_s$  : aportes de aguas superficiales, alimentación indirecta

$E$  : evapotranspiración real

$R$  : escorrentía superficial

$Q_{ex}$  : pozos de explotación del agua subterránea

$Q_e$  : surgencias de aguas subterráneas

- $Q_s$  : salida en flujo superficial  
 $Q_w$  : vertido de la capa acuífera  
 $d_w$  : variación de las reservas en agua subterránea

En la Figura 13, representa la relación de entradas y salidas de agua en un acuífero cualquiera.

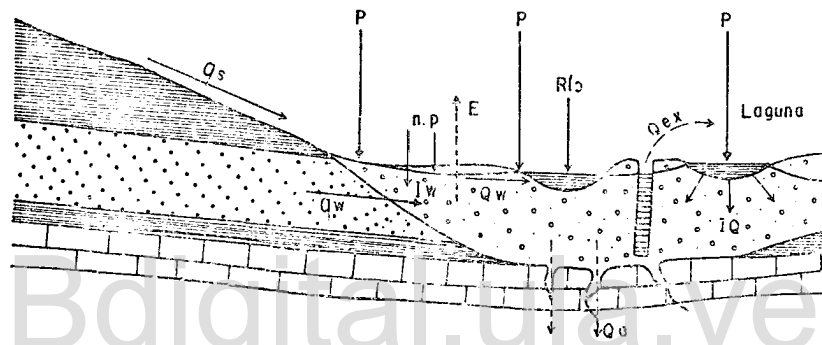


Figura 12 Esquema detallado de las entradas y salidas de agua en una capa acuífera.  
Fuente: Conslony 1975

### Modelo de simulación mensual

Para determinar la recarga se utilizó el modelo de simulación hidrológica a nivel mensual de Martín García (1976), modificado por Amisial (1980). El modelo considera la cuenca hidrográfica dividida en subcuencas para las cuales se considera homogeneidad en los procesos hidrológicos dominantes, así como en las condiciones físicas que lo afectan.

El conjunto de factores más importantes que afectan el balance de agua y sus relaciones entre sí, son: precipitación, evapotranspiración, infiltración, escurrimiento superficial, almacenamiento subterráneo, flujo base y flujo por cauces o escorrentía.

### Calibración del Modelo

Las cuencas del río Morador, Guache, Acarigua y Sarare, hidrológicamente forman parte de la cuenca alta y media del río Portuguesa.

Como conjuntamente se está llevando a cabo el estudio sobre la disponibilidad de agua superficial y la factibilidad de represar los ríos antes mencionados, Guerra (1980) utilizó el modelo de García (1976), para estimar la escurrimiento. A partir de los registros en las estaciones fluviométricas ubicadas en los puentes que cruzan la carretera Troncal V, se calibró el modelo para las cuencas de los ríos Morador, Acarigua y Sarare. Esta calibración consistió en tratar de ajustar la escurrimiento simulada a la observada, con la combinación de los parámetros que afectan la distribución y movimiento del agua en la fase terrestre del ciclo hidrológico. En la Figura 13, se muestra la calibración de la cuenca del río Acarigua hasta la estación de aforo en Puente Acarigua y en la Tabla 7, , los parámetros considerados.

### Simulación de la Recarga

Las calibraciones de las cuencas corresponden a zonas ubicadas aguas arriba del sector considerado como fuente de agua subterránea, es decir, que en la zona de estudio no se cuenta con estaciones fluviométricas. Por esta falta de aforos no es posible calibrar el modelo en la zona acuífera, por lo que se procedió a extender los parámetros determinados por Guerra (1980), aguas abajo de los puntos de calibración, considerando únicamente la zona acuífera en estudio. Estos parámetros pueden verse en la Tabla 7. De estos valores se hizo variar la capacidad de infiltración del suelo, CINF, estimándose en 150 la capacidad de campo, CC, en rangos de 100 a 130 y el contenido límite

Tabla 7. . Parámetros de los Procesos Hidrológicos para las sub-áreas seleccionadas en la determinación de la recarga.

PARAMETRO	S U B C U E N C A		
	MORADOR-GUACHE	ACARIGUA	SARARE
C3	0,10	0,05	0,05
C4	0,85	0,45	0,05
C5	0,05	0,05	0,05
C6	0,10	0,05	0,85
C7	0,05	0,77	0,95
C8	0,05	0,05	0,90
C9	0,03	0,77	0,30
C10	0,10	0,25	0,70
CINF	150,00	150,00	150,00
PHSI	5,00	5,00	1,00
HES	120,00	130,00	100,00
CC	150,00	150,00	150,00
PV011	5,00	5,00	1,00
AS	0,00	0,00	0,00
AA	0,00	0,00	0,00
PSR01	0,10	1,50	0,10
CK3	0,80	0,80	0,80

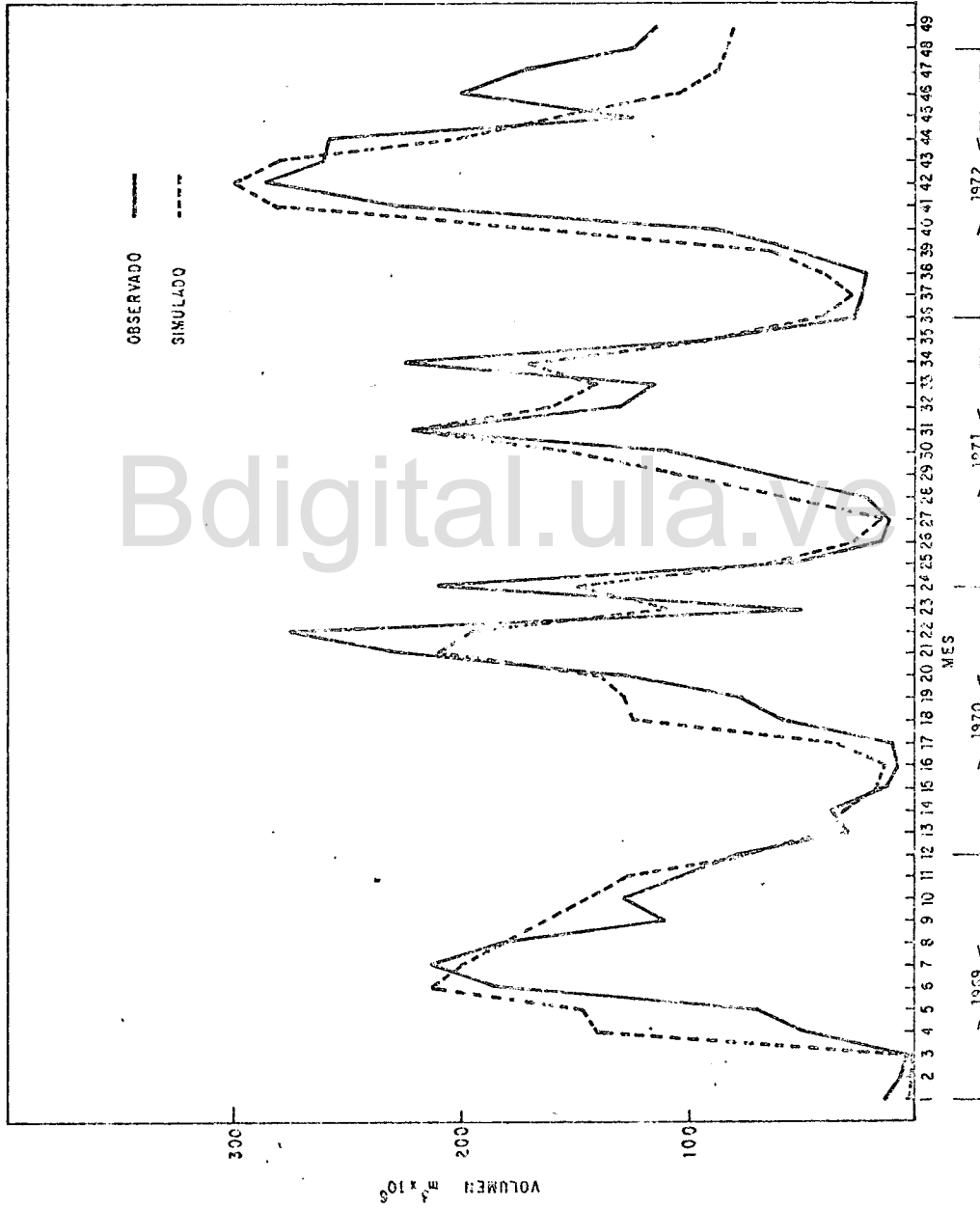


Figura 13 Volumen de escorrentía observado y simulados a la salida de la cuenca del río Acarigua, en Puente Acarigua período 69-72. Fuente: Guerra (1980)

de humedad, HES, en 140 a 150. Esta variación se debió al cambio en las características del suelo en la zona del proyecto de aguas subterráneas. En la Tabla 8, donde se dan los valores de estos parámetros, basados en la textura del suelo. También se hizo variar la evaporación de la tina en valores de 0,75 a 0,80 para la zona piemontina.

#### Ubicación de estaciones pluvioevaporimétricas

Se delimitó el área de cada cuenca considerada, aguas abajo de los puntos de calibración, Figura 19. Luego se ubicaron todas las estaciones evaporimétricas y Pluviométricas, Tabla 9 y 10, en el área del acuífero y se utilizó el método de Thiessen para establecer el área de influencia de cada estación.

#### Simulación

Para la simulación de la recarga se consideraron años comunes de registros, en cuanto a evaporación y precipitación se refiere, además de las variaciones que se le dieron a algunos parámetros ya mencionados anteriormente. Para la cuenca del río Morador se utilizaron 8 años de registros es decir, de 1958 a 1965.

En la cuenca del río Acarigua, Guache y Sarare se consideraron 4 años respectivamente, comprendidos en los años 1969 a 1972. En la cuenca del río Guache se consideraron los parámetros determinados para la cuenca del río Acarigua por estar próxima a ésta. Posteriormente se calculó la recarga total para cada zona acuífera considerada, cuyos valores se presentan en la Tabla 11.

En el modelo de García (1976) se considera que existe recarga al

Tabla 8. Valores de algunos parámetros de los procesos

Textura	Capacidad de campo mm/50 cm	Punto de Marchitez Permanente mm/50 cm	CINF mm/50 cm	HES mm/50 cm
Arenosa	78 (47 - 108)	33 (11 - 54)	78 (47 - 108)	62 (38 - 86)
Franco Arenoso	107 (70 - 144)	46 (28 - 64)	107 (70 - 144)	86 (56 - 115)
Franco	159 (122 - 195)	62 (54 - 70)	159 (122 - 195)	92 (98 - 86)
Franco Arcilloso	184 (150 - 217)	89 (72 - 105)	184 (150 - 217)	147 (120 - 174)
Arcillo Arenoso	203 (169 - 236)	98 (81 - 115)	203 (169 - 236)	162 (135 - 169)
Arcilloso	220 (186 - 254)	101 (90 - 111)	220 (186 - 254)	176 (149 - 203)

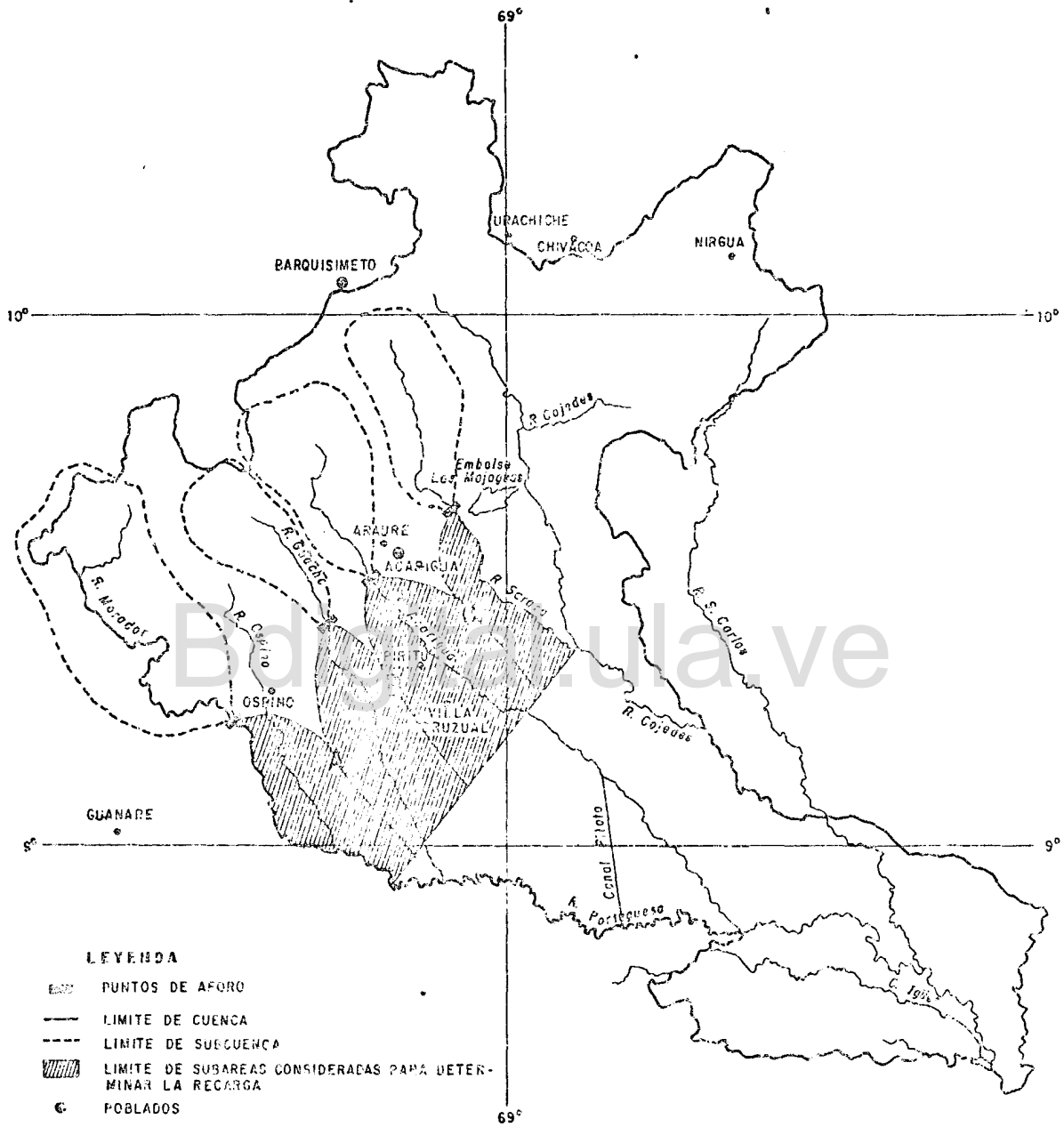


Figura 14 Delimitación de las cuencas, aguas arriba y abajo de los puntos de aforo.

Tabla 10 . Estaciones Pluviométricas consideradas.

ESTACION	C O O R D E N A D A S		
	LATITUD	LONGITUD	MSNM
Hacienda San Rafael	09°10'	69°35'	176
Ospino Dispensario	09°17'	69°27'	188
Hacienda Guache	09°26'	69°21'	276
Píritu	09°22'	69°12'	230
Centro Agrícola Turen	9°16'	69°05'	130
Acarigua Aeropuerto	09°35'	69°14'	225
Auro	09°42'	69°14'	315
Payara	09°30'	69°05'	192
Tocuyano	09°22'	68°57'	140
Las Majaguas	09°39'	68°59'	182
Santa Teresa	9°31'	68°51'	150

Tabla 11 . Estaciones de Evaporación.

ESTACION	C O O R D E N A D A S		
	LATITUD	LONGITUD	MSNM
Las Majaguas	09°39'	68°59'	182
Centro Agrícola Turen	09°16'	69°05'	130
Hacienda Guache	09°26'	69°21'	276

Tabla 11 . Determinación de la recarga a partir de la infiltración eficaz del agua de lluvia para las zonas acuíferas consideradas.

RECARGA PROMEDIO EN MILLONES DE METROS CUBICOS														
ZONA	PERIODO	ENE	FEB	MAR	ABR	MAY	JUN	JUL	AGO	SEP	OCT	NOV	DIC	TOTAL
Morador-Guache	58-65	0,0	0,0	0,0	0,0	5,43	15,32	13,46	11,52	12,14	10,40	12,38	0,0	80,67
Guache-Acarigua	69-72	0,0	0,0	0,0	1,25	4,60	12,77	23,61	21,30	22,98	16,37	0,0	1,57	104,45
Acarigua-Sarare	69-72	0,0	0,0	0,0	0,0	3,28	42,70	41,62	26,51	26,29	7,38	3,65	0,0	151,43

acuífero cuando hay percolación; ésta ocurre cuando la humedad del suelo es mayor que la capacidad de campo, Tabla 12. La diferencia entre ambos es el agua que percola por efecto de lluvia, en caso contrario no existe recarga al acuífero.

### Reservas del Acuífero

Las reservas representan el volumen de agua almacenada en un período determinado para una zona acuífera.

Las reservas están condicionadas por la estructura geológica que da las dimensiones, luego por la porosidad eficaz o rendimiento específico y por el coeficiente de almacenamiento. Los datos dimensionados que determinan las reservas en aguas subterráneas son fijos, según sean acuíferos confinados o libres.

### Reservas en acuíferos libres

En los mantos libres, las reservas están definidas por el fondo del sustrato impermeable y la cota del nivel piezométrico, afectado por las fluctuaciones periódicas. En la Figura 15 se observa un esquema de las reservas en un manto libre.

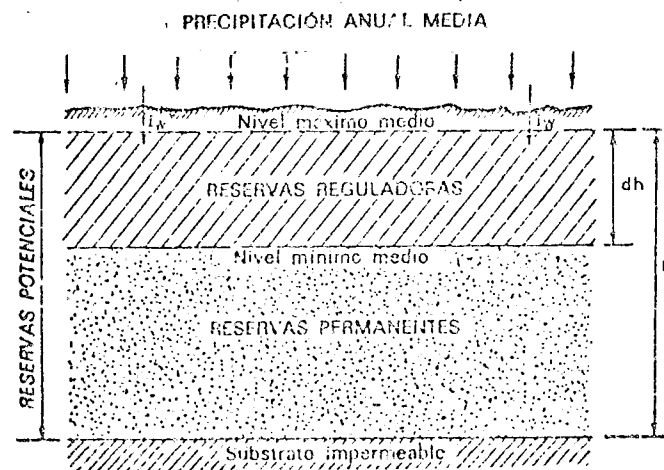


Figura 15. Reservas de los mantos libres en función de las fluctuaciones de la superficie piezométrica en el transcurso de un año hidrológico medio.

FUENTE: Castany, 1975.

### Reservas en los acuíferos Confinados

En los acuíferos confinados, las reservas permanentes son iguales a las reservas totales y al volumen de agua liberable en la totalidad de la capa acuífera. Las fluctuaciones se traducen en variaciones de presión,  $dp$ , que no afectan la capa acuífera, Figura 16

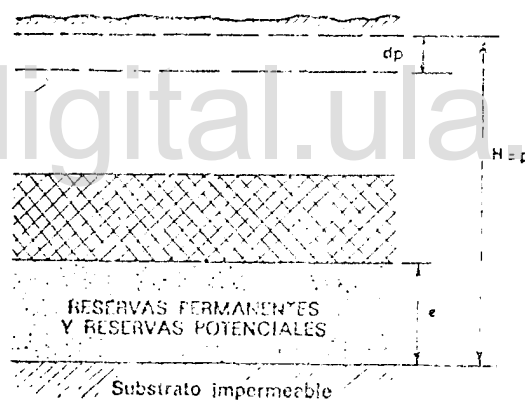


Figura 16 . Reservas de los mantos confinados.

FUENTE: Castany, 1975

### Cálculo de las reservas

Los valores de las reservas se obtuvieron aprovechando, en el modelo de Pinder modificado por Jégat (1977), utilizando la variante libre/confinado.

Forma de cálculo en el acuífero libre

El volumen de agua en el acuífero libre se obtuvo de la siguiente manera:

$$\text{Volumen} = A \cdot h \cdot SL \quad (24)$$

donde

$$A = \text{DELX}(J) \cdot \text{DELY}(i)$$

- A : área correspondiente a cada nodo en la malla.  
 h : altura de la carga hidráulica respecto al datum de referencia  
 SL : rendimiento específico  
 DELX(J) : valor del intervalo entre columnas  
 DELY(i) : valor del intervalo entre filas

Forma de cálculo en el acuífero confinado

En los acuíferos confinados, la superficie piezométrica se encuentra más arriba que el techo impermeable. Para el cálculo de las reservas se procedió de la siguiente manera:

-Se calculó la reserva tomando como referencia el techo del acuífero y el incremento debido a la presión, hasta el nivel piezométrico. El volumen debido a este incremento es:

$$\text{Volumen} = A \cdot h_p \cdot SC \quad (25)$$

donde

- A : área correspondiente a cada nodo en la malla  
 $h_p$  : variación de la altura en función de la presión  
 SC : coeficiente de almacenamiento

-Luego se calculó el volumen correspondiente a la zona encerrada entre los dos estratos impermeables. Para este caso se considera el rendimiento específico.

$$\text{Volumen} = A \cdot m \cdot SL \quad (26)$$

donde

- A : área correspondiente a cada nodo en la malla
- m : espesor del acuífero
- SL : rendimiento específico

#### Discusión de los volúmenes de reserva

Se consideró el sistema acuífero, en la zona Morador-Guache, Acarigua-Sarare y Guache-Acarigua, como un sistema estático para efecto del cálculo de las reservas. Se consideró la carga hidráulica inicial como la máxima media anual. Este valor es un dato puntual correspondiente al mes de septiembre de 1977, (MARNR, 1979).

Si el sistema acuífero sufre un descenso en el nivel de agua, también tendrá una relación en el volumen de agua de salida; esto se puede observar mejor en las Figuras 17, 18 y 19.

Para la zona acuífera Acarigua-Sarare, considerando la suma total, las reservas son de 2323,13 millones de metros cúbicos para el mes de septiembre de 1977. Se ha establecido que el nivel mínimo medio fluctúa entre 3 a 5 metros por debajo del nivel inicial, tanto en condiciones libres como confinadas (MARNR, 1978). La reserva permanente es de 2159,62 millones de metros cúbicos de tal modo que las reservas reguladoras son de 163,47 millones de metros cúbicos.

En la zona acuífera Guache-Acarigua, para el mismo período considerado, las reservas totales se estimaron en 1697,24 millones de metros cúbicos; las reservas permanentes en 1602,12 millones de metros cúbicos, considerándose como reserva reguladora 95,12 millones de metros cúbicos.

Las Figuras 17, 18 y 19, establecen la relación de que para un determinado volumen de agua extraído del acuífero, existirá un descenso en la zona considerada.

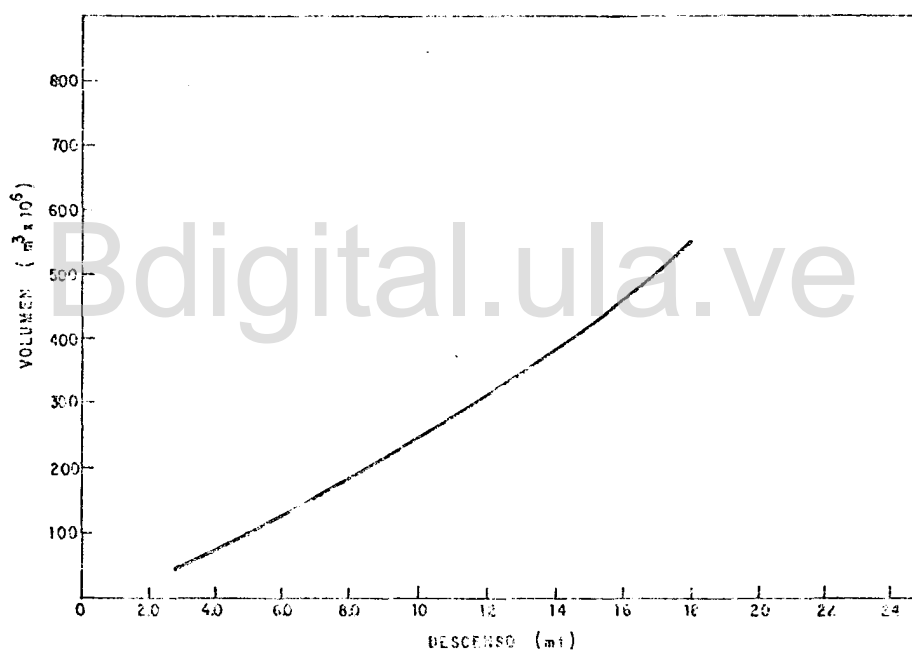
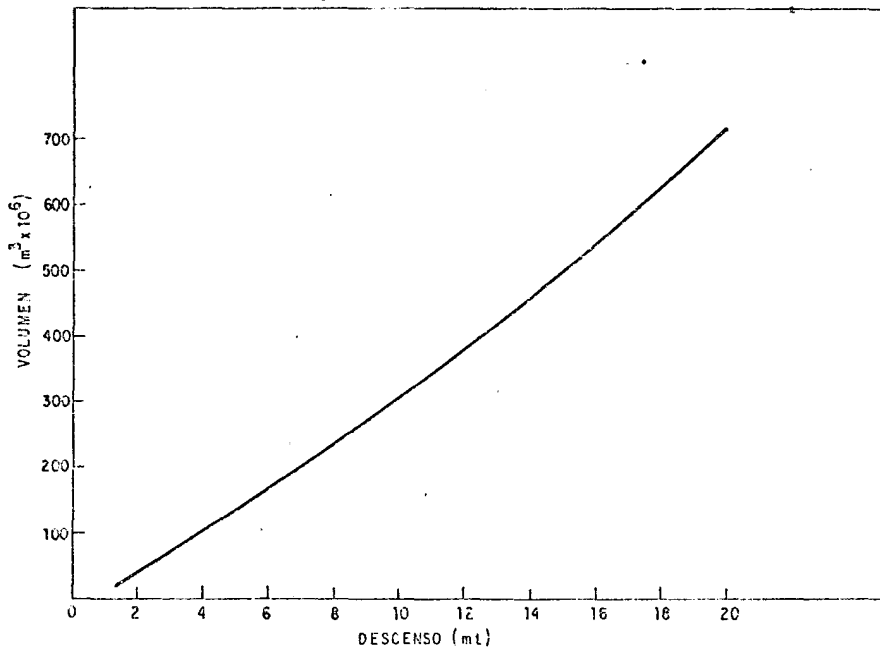


Figura 17: Relación entre el volumen extraído y el descenso de nivel en el acuífero, zona Morador - Guacho.



Figuro 18 Relación entre el volumen extraído y el descenso de nivel en el acuífero, zona Cuache - Acarigua.

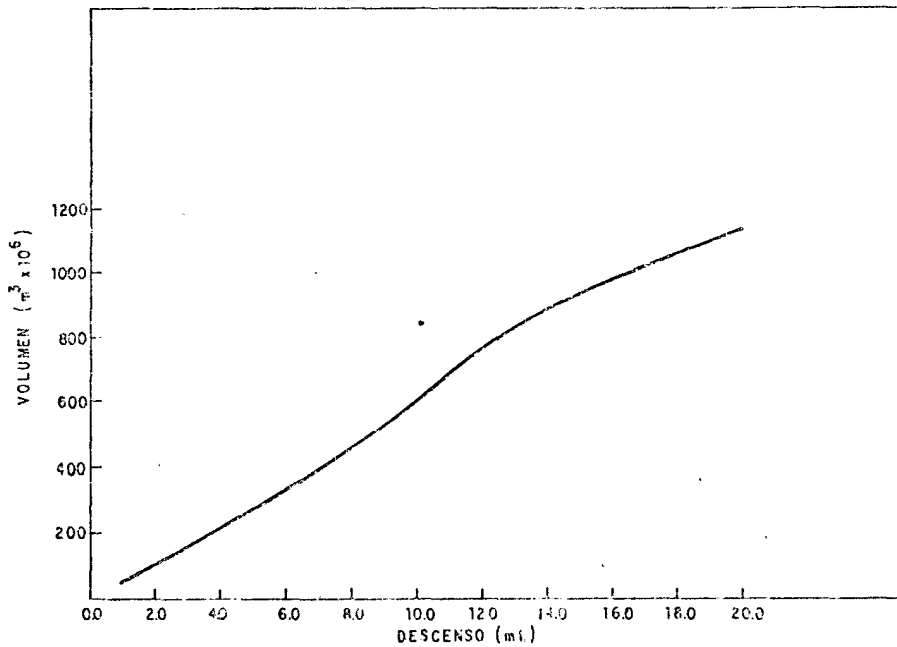


Figura 19 Relación entre el volumen extraído y el descenso de nivel en el acuífero, zona Acarigua - Sarare

La zona acuífera Morador-Guache tiene como reserva total 1165,60 millones de metros cúbicos, las reservas permanentes ascienden a 1063,8 millones de metros cúbicos y las reservas reguladoras oscilan en 102,31 millones de metros cúbicos. Siempre en el mismo período considerado.

Toda la zona del proyecto, entre los ríos Morador y Sarare, tiene un total en reservas permanentes de 4825 millones de metros cúbicos. Las reservas reguladoras son de 360 millones de metros cúbicos en toda la zona del proyecto.

Bdigital.ula.ve

## CAPITULO V

### CALIBRACION DEL MODELO DE PINDER

#### Criterios para implementar el modelo

El uso de los modelos para simulación de acuíferos es importante, pero debe contarse con la información suficiente para poder llevar a cabo simulaciones que se ajusten a la realidad. Para ello se necesitan una serie de datos que entran en el modelo en forma de arreglos que permiten definir, según Custodio (1975) lo siguiente:

Geometría del sistema

Características hidráulicas

Funcionamiento hidráulico

Acciones sobre el acuífero, entradas y salidas

Respuesta del acuífero a las acciones, o sea, variaciones del potencial hidráulico en cada nodo.

Condiciones hidrológicas que rigen el sistema

#### Obtención de datos

Ningún trabajo de preparación de datos para un modelo puede iniciarse correctamente sin recurrir a un cuidadoso inventario actualizado de los datos de interés existentes.

El inventario de datos es determinante porque ayuda a comprender el funcionamiento y comportamiento del sistema que se va a modelar. Para este caso en particular el conjunto de datos que entran al modelo en forma de arreglos se describen a continuación.

### La carga hidráulica inicial

Estos valores se dan en el arreglo STRT (I,J), midiéndose desde un datum de referencia, en este caso el nivel del mar. Para obtener estos datos se partió de la información contenida en el Inventario Nacional de Pozos de Agua de la División de Hidrología del Ministerio del Ambiente y de los Recursos Naturales Renovables.

Para el año de 1975 y el mes de septiembre se tienen registros de los niveles de agua en diferentes pozos ubicados en el área de estudio, Figura 20. Posteriormente se elaboró el mapa de niveles de agua, Figura 20 basado en los registros anteriormente mencionados.

### El arreglo RATE (I,J)

Con este arreglo se indica el espesor de la capa semi-confinante o si la carga es constante en un punto (I,J) se hace igual a -1. En este caso se consideró que los ríos más importantes, tales como el río Morador, Cuache, Aca-rigua y Sarare, recargan el acuífero al inicio del piedemonte, por lo que se consideró carga constante, dándose un valor de -1. Esto es basado en que la zona al inicio del piedemonte cuenta con materiales gruesos, tal como gravas gruesas y arenas. Por lo tanto es la zona donde los ríos pierden un volumen considerable del agua por defecto de infiltración profunda.

### Permeabilidad o conductividad hidráulica

Estos valores se dan en el arreglo PERM (I,J) y se obtuvieron a partir de la interpretación granulométrica observada en los perfiles litológico y las pruebas de bombeo. Los valores obtenidos se extrapolaron a las zonas cercanas. Posteriormente el valor de la permeabilidad se ajustó con la cali-

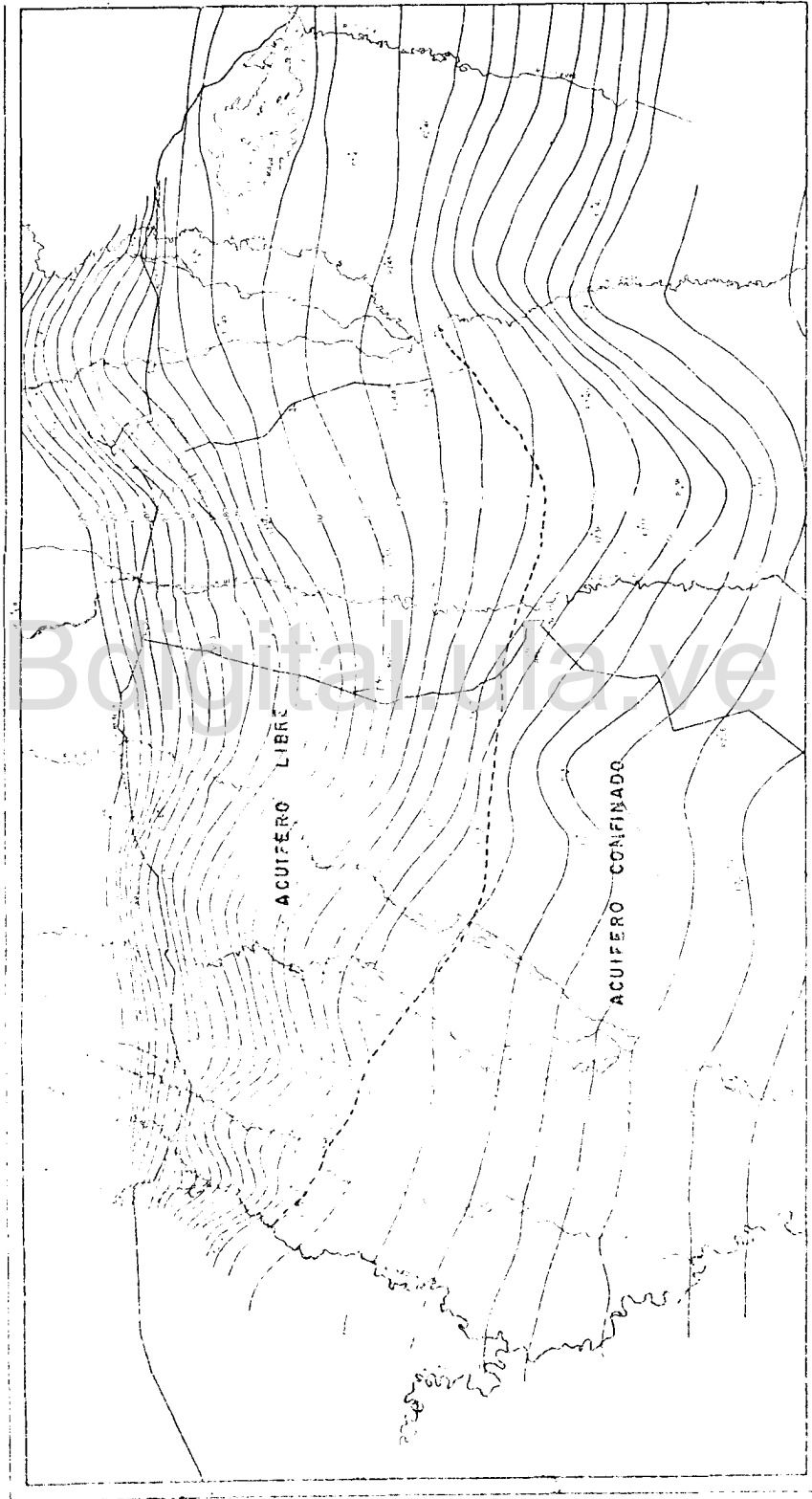


Figura 20. Niveles de Agua, msnm y ubicación de Pozos

bración del modelo.

#### La base del acuífero

Este valor se da en el arreglo BOTTOM (I,J); se mide desde el mismo datum de referencia que la carga hidráulica. Para obtener estos datos se partió del perfil isométrico creado, hasta una profundidad de 80 m, en cual se basó el análisis litológicos, Figura 6. Se procedió a definir una base a fondo del acuífero, considerando el estrato impermeable a la profundidad de estudio.

Posteriormente se realizó el mapa de espesores de acuíferos, Figura 21, el mapa de espesores de la capa confinante con éstos y con el mapa de niveles de agua, Figura 20, se efectuó una superposición, obteniéndose así los valores de la base del acuífero para cada nodo de la malla.

#### El tope del acuífero confinado

Estos valores se dan en el arreglo TOPE (I,J) y se obtuvieron a partir de la superposición del mapa de espesores de acuífero, Figura 21 del mapa de espesores de la capa confinante superior y del mapa topográfico.

#### Arreglo WTABLE (I,J)

Este arreglo lo constituye la elevación del agua en lagos, ríos o carga hidráulica de la capa confinante. Este valor no se consideró como entrada al modelo debido a que no se cuenta con la información suficiente para incluirlos.

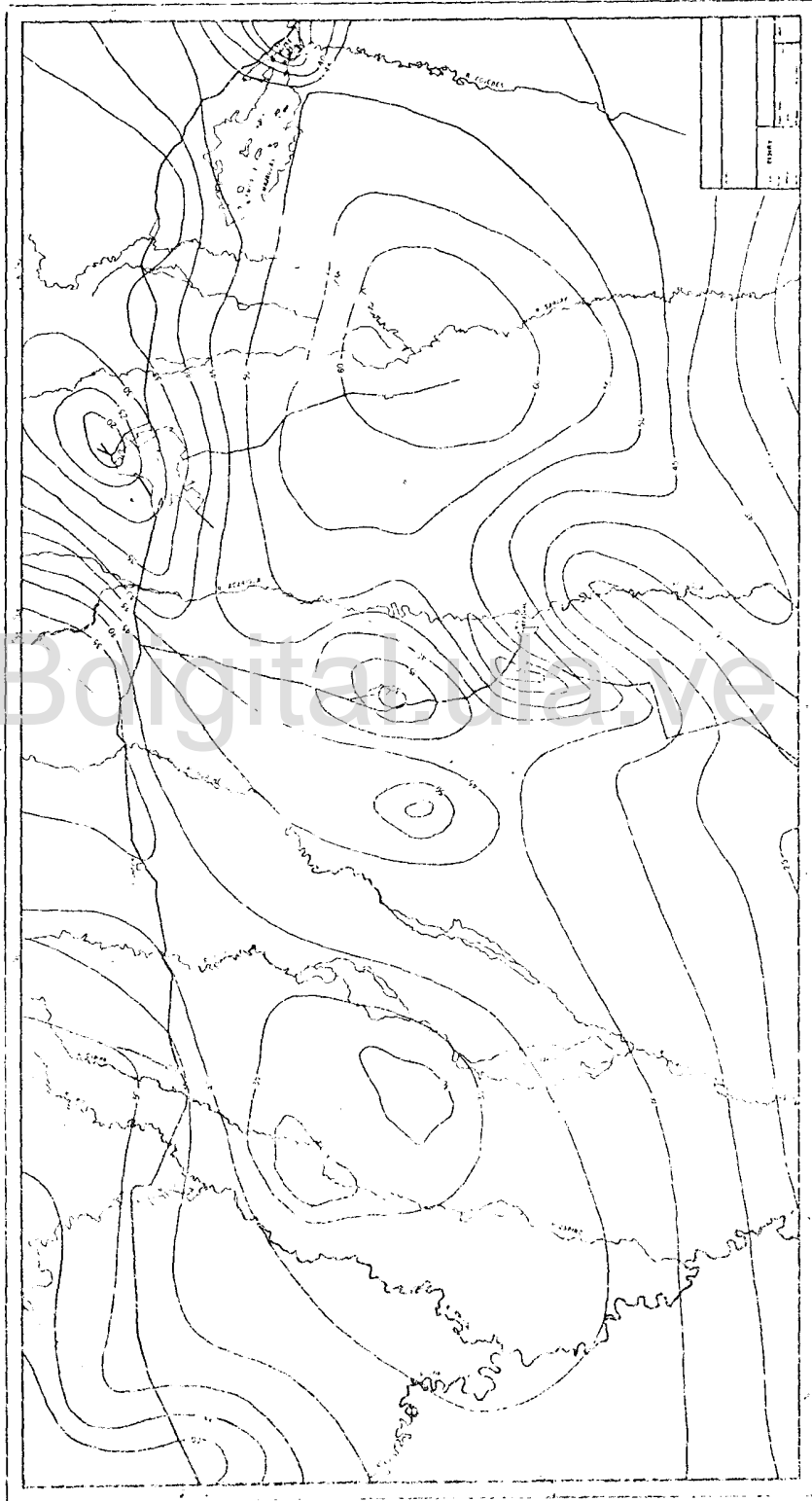


Figura 21. Mapa de Espesores de Acuífero

### El coeficiente de almacenamiento

Estos valores se dan en el arreglo  $SC(i,J)$  y se obtuvieron con las pruebas de bombeo realizadas en la zona que se consideró como acuífero confinado. Posteriormente estos valores se corrigieron con la calibración del modelo.

### El rendimiento específico

Este valor se da en el arreglo  $SL(i,J)$  para el acuífero libre como no se contaba con pruebas de bombeo que determinarían este valor, se estimó en 20% variando hacia el llano hasta 12% y posteriormente se corrigió con la calibración del modelo.

### El Bombeo

Los valores de extracción del agua subterránea se dan en el arreglo  $PUMP(i,J)$ . Estos se obtuvieron por observación en la zona y otros a partir del Inventario de Pozos, realizado por el MARNR (1979) e información de FUDECO (1977). Toda esta información se ordenó en un mapa a escala 1:100.000.

### Elaboración de la malla rectangular

Una vez determinados los datos geométricos, hidrológicos e históricos, se debe realizar la discretización espacial del acuífero, es decir, la sustitución del medio continuo por una serie de elementos rectangulares o poligonales. La elección del tipo de malla está estrechamente ligada a la elección del método de cálculo.

### Ventajas y desventajas de la malla rectangular

La malla rectangular puede ser constante o variable, Figuras 22 y 23

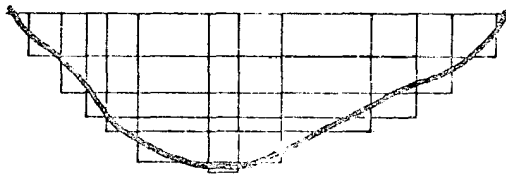


Figura 22. Malla rectangular variable

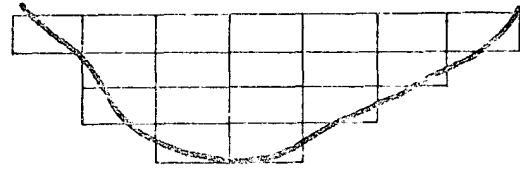


Figura 23. Malla rectangular constante

Para ajustar el mejor contorno es conveniente la malla rectangular variable.

Donde existen zonas con fuertes gradientes deben utilizarse elementos más pequeños para reducir el error que se cometería al mantener la misma malla.

Para automatización de datos es más manejable la malla constante, es decir, se requiere menor trabajo para introducir o extraer datos.

La malla rectangular, ya sea variable o constante, permite el uso de métodos de cálculo eficientes como el IADI, Capítulo III.

Cuando se trata de acuíferos de forma irregular, con explotaciones concentradas en algunas zonas poco cambiantes en el futuro, debe usarse la malla rectangular variable, pues exige más elementos en estas zonas.

#### Elaboración de la malla rectangular variable

Por lo anteriormente expuesto, para la zona de estudio se escogió elaborar una malla rectangular variable, en escala 1:100.000, para cada zona acuífera.

Como el área de estudio está comprendida entre el río Morador y Sarare, representando una extensión muy grande para una simulación confiable, se divi-

dió en tres zonas acuíferas delimitadas aguas arriba por el piedemonte y aguas abajo por una línea imaginaria, hasta cubrir el área del proyecto. Lateralmente se consideró así:

La primera zona acuífera entre el río Sarare y Acarigua. La segunda zona acuífera entre el río Guache y Acarigua y la tercera zona acuífera entre el río Morador y el río Guache, Figuras 24, 25 y 26.

La razón entre dos intervalos de espacio sucesivos, tanto en la dirección  $x$  como en la dirección  $y$ , no debe ser mayor que 2.

Los valores de  $\Delta x$  e  $\Delta y$ , varían desde 2000 m como la mayor distancia para aquellas zonas donde existía muy poca explotación y reduciéndose hasta 500 m en las zonas donde se ubicó una mayor extracción de agua subterránea. Además, la distancia de 500 m se consideró en los lugares donde se efectuaron pruebas de bombeo.

#### Condiciones de borde

Una vez sustituido el acuífero continuo por la malla discreta considerada, debe definirse el tipo de condición de borde impuesto en cada segmento de la línea quebrada que sustituye al contorno real del acuífero, Figura

Como la zona para el estudio del agua subterránea corresponde a un acuífero aluvial bastante largo y la zona de interés corresponde únicamente a la cuenca alta y media del río Portuguesa, piedemonte, se delimitó de la siguiente manera:

Al inicio del piedemonte se consideraron dos condiciones de borde: una en borde impermeable constituido por la entrada de las laderas rocosas de

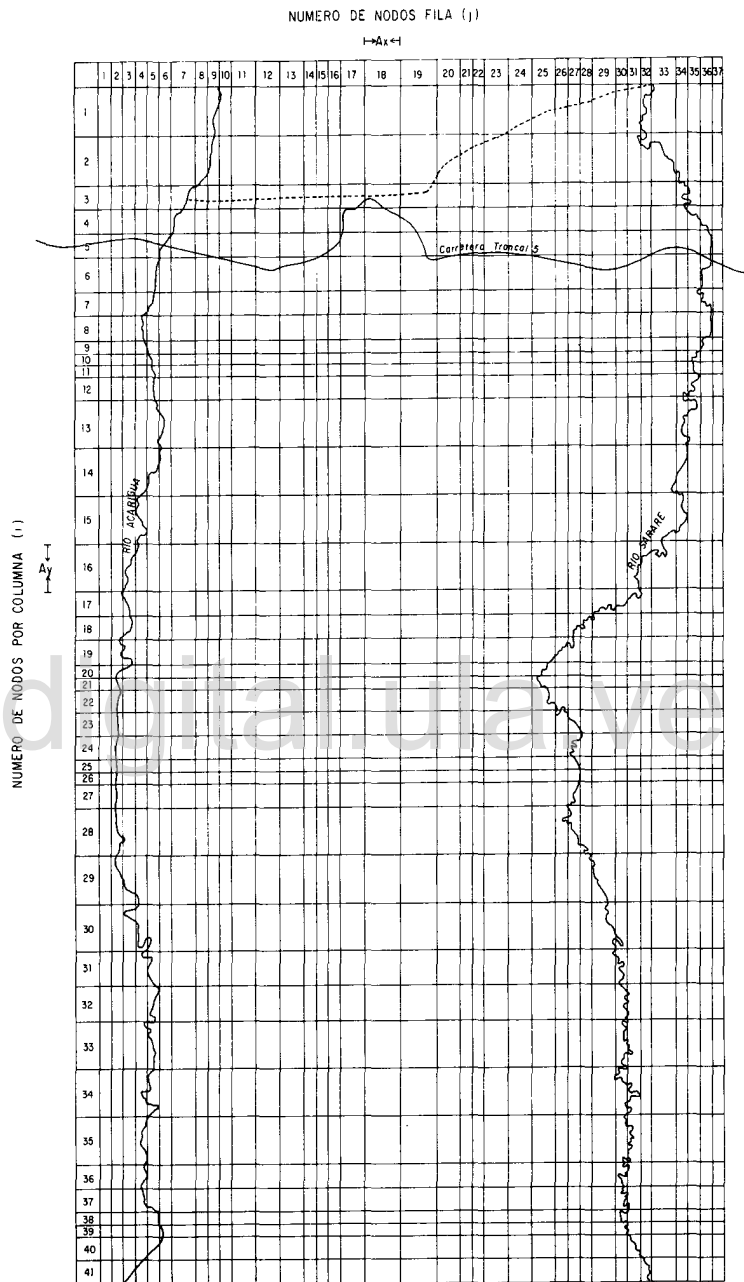


Figura 24 Malla para el modelo Pinder zona Acarigua Sarare

NUMERO DE NODOS POR FILA (j)

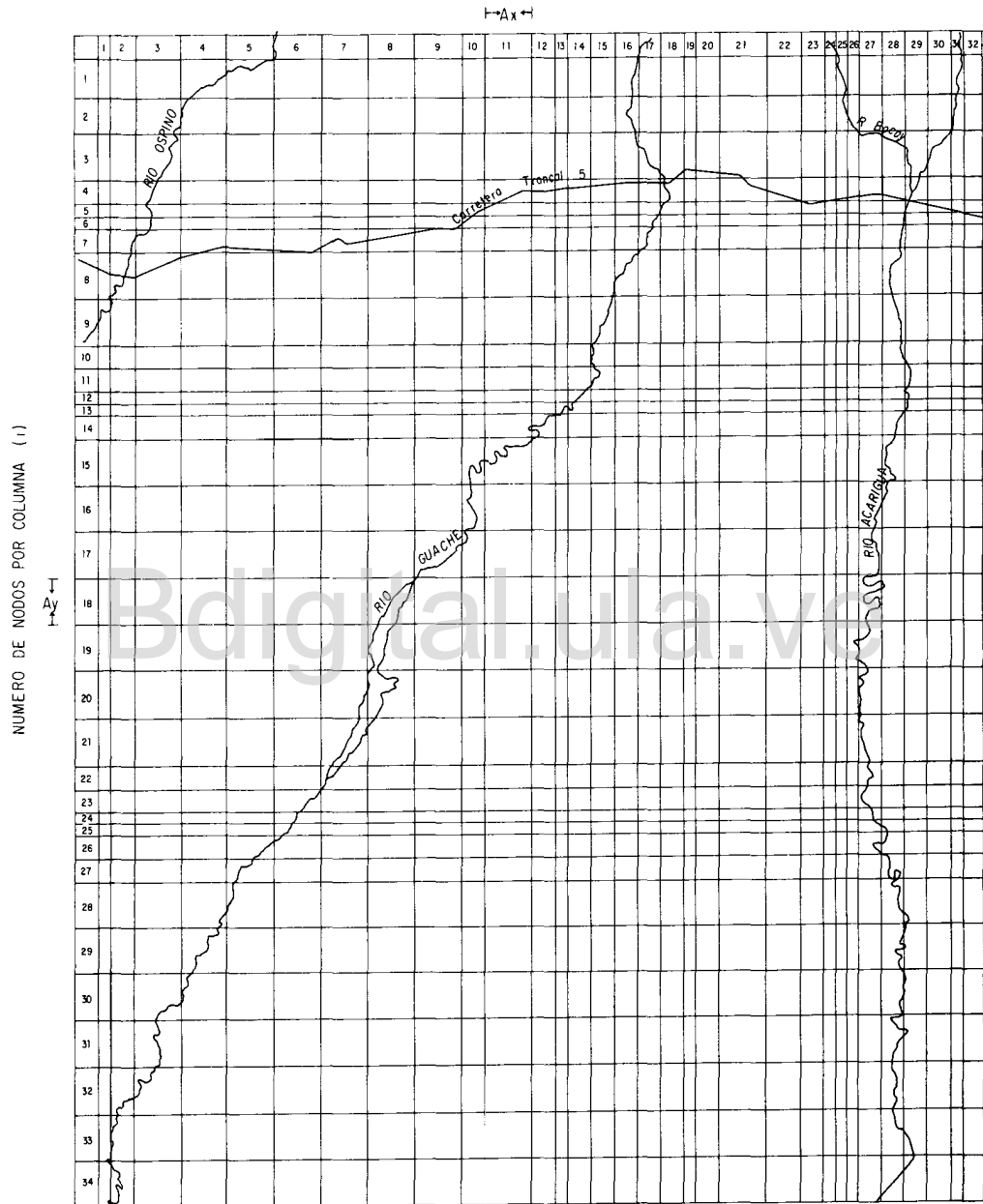


Figura 25 Malla para el modelo Pinder zona Guache - Acarigua

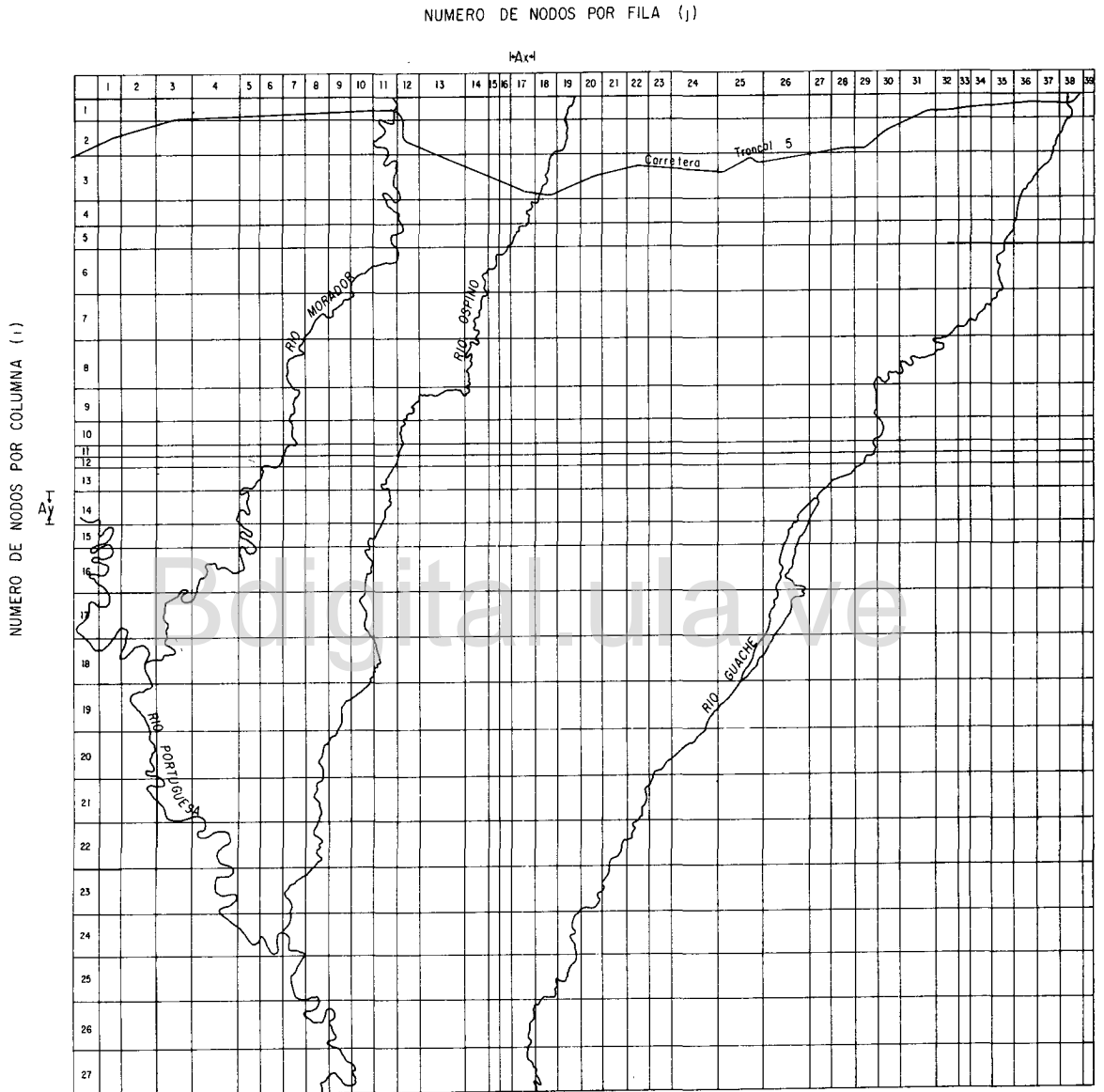


Figura 26 Malla para el modelo Pinder zona Morador - Guache

los Andes Venezolanos hacia la región deposicional. En esta misma zona se consideraron también bordes de gradiente constante, tanto al inicio del piedemonte como en los flancos del acuífero, estableciéndose así un determinado caudal de entrada y otro de salida, aguas abajo de la zona piemontina, al final del acuífero, puesto que no se encierra como un sistema aislado, sino que continúa hacia el llano. En todos los límites del acuífero se consideró cero la transmisividad.

Para cada zona acuífera se consideraron los ríos más importantes como fronteras o límites laterales del acuífero, Figuras , las zonas se delimitaron de la siguiente manera, según los ríos que las enmarcan:

Zona acuífera Acarigua-Sarare

Zona acuífera Guache-Acarigua

Zona acuífera Morador-Guache

Una vez definida la malla y los límites de cada zona acuífera, se procedió a determinar el conjunto de datos característicos para cada nodo, ubicándose la extracción de datos al centro de cada nodo.

#### Calibración del modelo

Una vez obtenidos los datos, hecha la malla y elegido el método de cálculo, IADI, se procede a calibrar, en este caso, el modelo de Pinder modificado por Jégat (1977). Se debe tener en cuenta que el conjunto de datos, en sentido hidrogeológico, es un conjunto de incógnitas cuyo valor es conocido en forma aproximada. Por consiguiente es preciso comprobar la validez de estos datos. Para ésto hay que realizar la fase de ajuste o calibración que se discute a continuación.

Es fundamental saber que los resultados del modelo no pueden ser mejores que los datos originales. Esto determina que si los datos son malos, aunque se tenga un buen ajuste, los resultados no serán representativos de la realidad.

#### Calibración mediante las pruebas de bombeo

Con el fin de lograr un ajuste entre los parámetros hidrogeológicos establecidos en las pruebas por bombeo con pozo de observación, se procedió, mediante el modelo de Pinder, a simular una prueba por bombeo, con una duración de 40 horas. Se ubicaron las pruebas en el nodo correspondiente a la malla y se tomaron los valores de abatimiento-tiempo en el tiempo correspondiente al pozo de observación.

En esta calibración se corrigieron los valores de la permeabilidad y del coeficiente de almacenamiento principalmente en las zonas de extrapolación.

#### Forma de ajuste

Se trataba de ajustar los niveles del abatimiento simulados a los observados en el pozo de observación, durante el tiempo de bombeo considerado. Estos valores los da el modelo como salida de abatimiento para cada nodo de la malla. Se utilizó el método de Jacob para graficar en una recta los valores de abatimiento -tiempo, tanto observados como simulados, Figuras 27, 28 y 29.

Evidentemente en la primera corrida no coincidían los valores de abatimiento simulados a los observados. Las Figuras 27, 28 muestran cómo fueron variando los valores simulados respecto a los observados y para cada nuevos valores de abatimiento se muestra el parámetro hidrológico modificado.

Para el ejemplo que se muestra en las figuras 27 y 28 los niveles de abati-

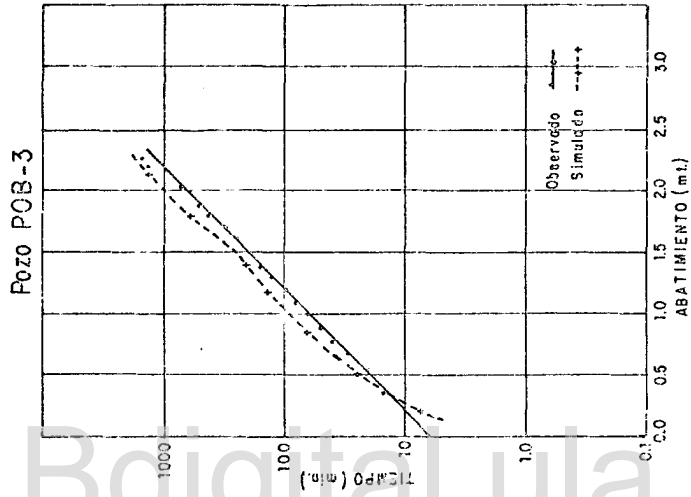


Figura 28 Representación de valores observados y simulados en una prueba de bombeo con pozo de observación, ajuste final.

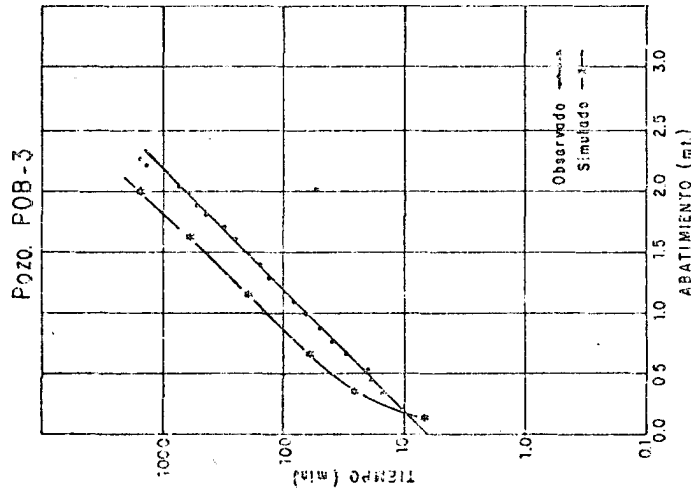


Figura 27 Representación de valores observados y simulados en una prueba de bombeo con pozo de observación, primer ajuste.

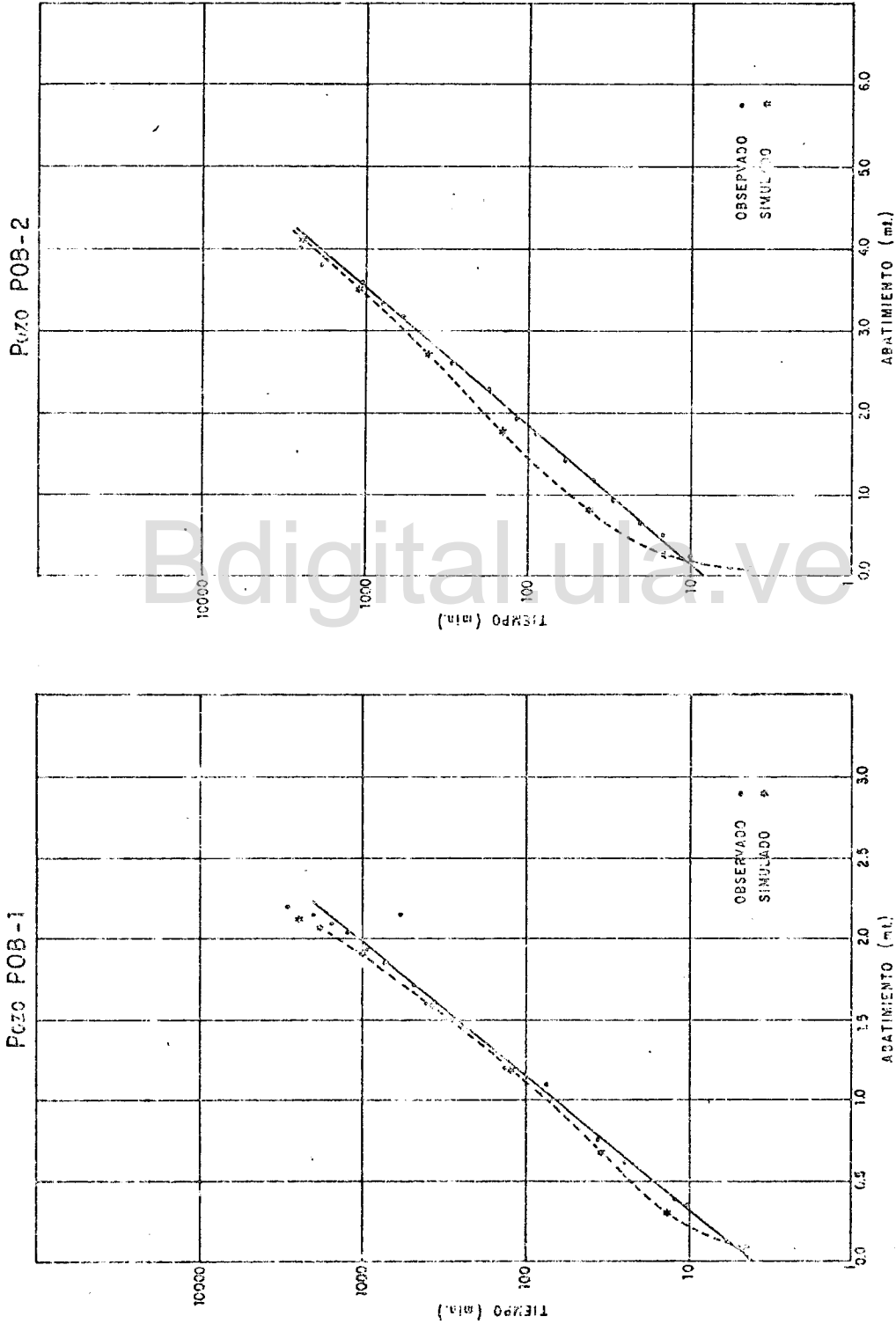


Figura 29. Representación de valores simulados y observados en una prueba de bombeo con pozo de observación

miento en el pozo de observación son demasiado altos con respecto a los observados. Los valores simulados tienen la misma tendencia que los valores medidos. Por consiguiente se supone que el valor de la permeabilidad es aceptable y habrá que disminuir el valor del coeficiente de almacenamiento.

Tabla 12. Ajuste de la prueba por bombeo.

TIEMPO Minutos	A B A T I M I E N T O , m.		
	VALORES SIMULADOS		VALORES OBSERVADOS
	I CORRIDA	II CORRIDA	
7,14	0,09	0,20	0,15
22,00	0,40	0,50	0,55
67,20	0,66	0,85	1,00
205,00	1,20	1,40	1,51
627,00	1,61	1,80	2,00
1450,00	1,97	2,15	2,25

El modelo da como salida el mapa alfa numérico, donde se observa claramente el área de influencia del pozo y da una idea del proceso de calibración. Si el valor del coeficiente de almacenamiento es pequeño, la influencia del pozo se observa muy amplia y hay demasiado abatimiento en el pozo por lo que debe corregirse este valor.

#### Calibración basada en los niveles de agua

Después de corregir los parámetros en las zonas de influencia de los pozos sometidos a ensayos por bombeo, se procedió a simular el comportamiento de

los niveles de agua.

Esta calibración tiene tres fases bien diferenciadas.

#### Coherencia de los datos originales

El conjunto de datos que originalmente parecen correctos, son comprobados mediante el modelo para detectar cualquier anomalía en cuanto a información de entrada se refiere. El método de Pinder detecta estos errores mediante avisos por incongruencia de datos. Por ejemplo, cuando la carga hidráulica para un nodo cualquiera es cero o igual a la base del acuífero, el modelo informa que los pozos se desaguan o, en otros casos, sin para un número estipulado de iteraciones no converge, el modelo dicta que no hay convergencia.

#### Ajuste de las tendencias de los niveles

Esta fase de la calibración procede a detectar que el modelo conceptual representa el funcionamiento hidráulico del acuífero. Para observar esta fase se consideró un período de 30 días de simulación, tiempo en que se supone tiende a estabilizarse. Se consideraron los registros de niveles de agua durante el mes de septiembre de 1975, establecidos por la División de Hidrología del Ministerio del Ambiente y de los Recursos Naturales Renovables. Esta fase puede dar errores en la simulación ya que no existen registros históricos de los niveles de agua.

La variación de los parámetros hidrogeológicos, en aquellas zonas donde no se corrigió el rendimiento específico, el coeficiente de almacenamiento y la permeabilidad se hicieron variar para corregir el nivel del agua. En aquellas donde el nivel simulado era muy grande respecto al observado, se aumentó el valor del rendimiento específico para la parte libre y el coeficiente de al

macenamiento en la zona confinada.

#### Fluctuación del flujo de entrada y salida

Conjuntamente con la variación de los parámetros hidrogeológicos se ajustaron los niveles de agua mediante flujos de entrada y salida. El acuífero aluvial, en este caso, por no ser un embalse subterráneo cerrado sino que presenta continuidad aguas abajo del piedemonte, tiene un volumen de entrada de 64 millones de metros cúbicos y otro de salida de 25 millones de metros cúbicos respectivamente, de acuerdo al gradiente hidráulico. Estos valores se introdujeron en el arreglo PUMP (I,J).

También, para equilibrar el sistema, se consideró que los ríos Morador, Guache, Acarigua y Sarare son fuente de recarga al acuífero en el punto donde inicia el piedemonte. Esto es por la alta porosidad que manifiesta el material sobre el que escurren los ríos.

Se consideraron zonas de carga constante y este valor se introduce en el arreglo RATE (I,J) igual a -1. Debe tenerse en cuenta que el volumen de recarga en estas zonas depende directamente de la permeabilidad del material.

Para poder determinar si el sistema estaba en equilibrio, se escogieron al azar cierto número de filas y columnas, considerando los valores de la carga hidráulica simulada y observada. Esto se hizo para cada maila respectivamente. El resultado de las calibraciones se puede ver en las Figuras 30, 31 y 32 los valores de carga hidráulica simulada y observada en las Tablas A2, del Apéndice y la Figura 36 representa el mapa alfa numérico después de calibrado el sistema:

El sistema después de calibrado se encuentra en condiciones de poder

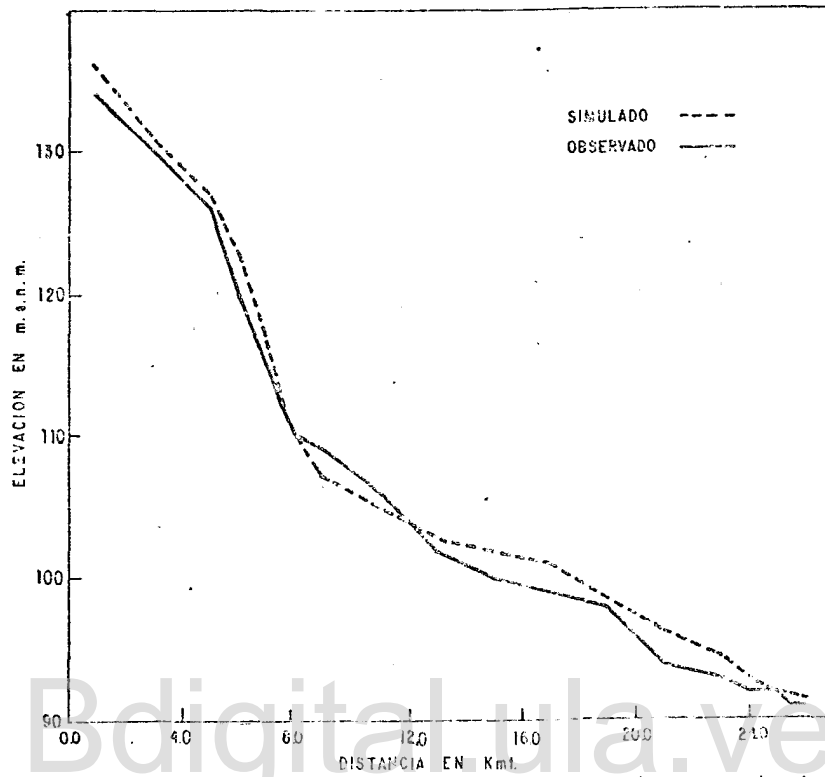


Figura 30. Variación comparativa de los niveles de agua simulados y observados, columna (J) número 11 zona Morador - Guache.

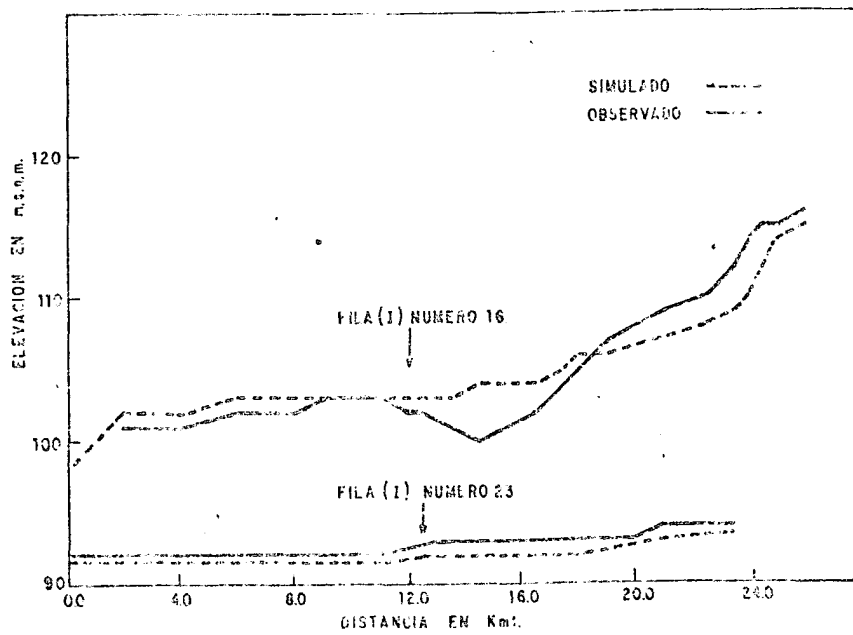


Figura 31. Variación comparativa de los niveles de agua observados y simulados, zona Morador - Guache.

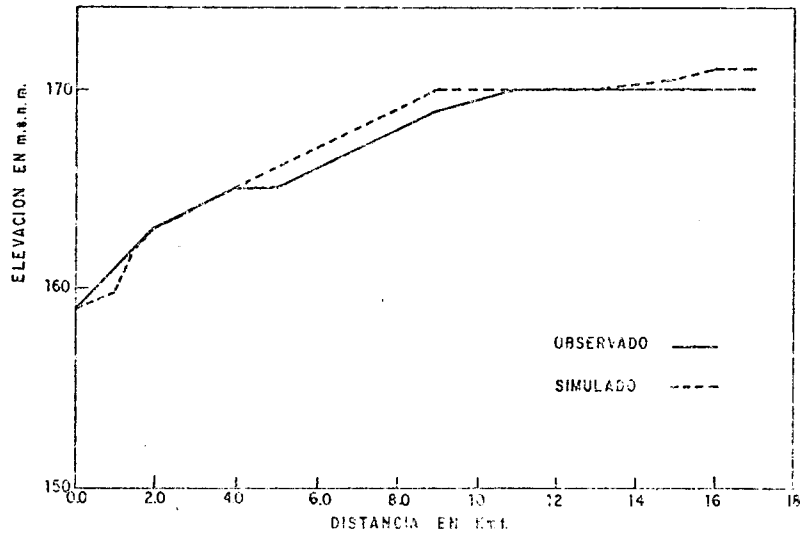


Figura 32 Variación comparativa de los niveles de agua simulados y observados, fila (1) número 13 zona Guache-Accrigua.

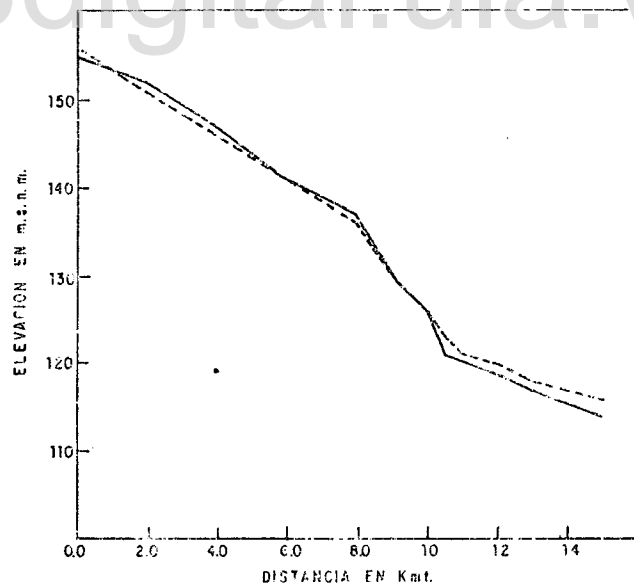


Figura 33 Variación comparativa de los niveles de agua simulados y observados, columna (J) número 18 zona Guache-Accrigua.

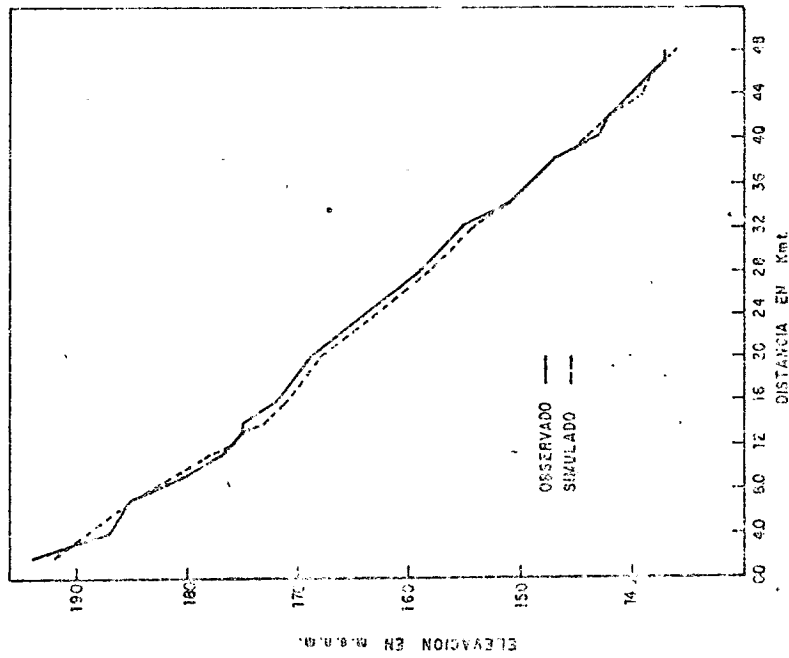


Figura 34 Variación comparativa de los niveles de agua simulados y observados columna (J) número 16 zona Acarigua - Sarare.

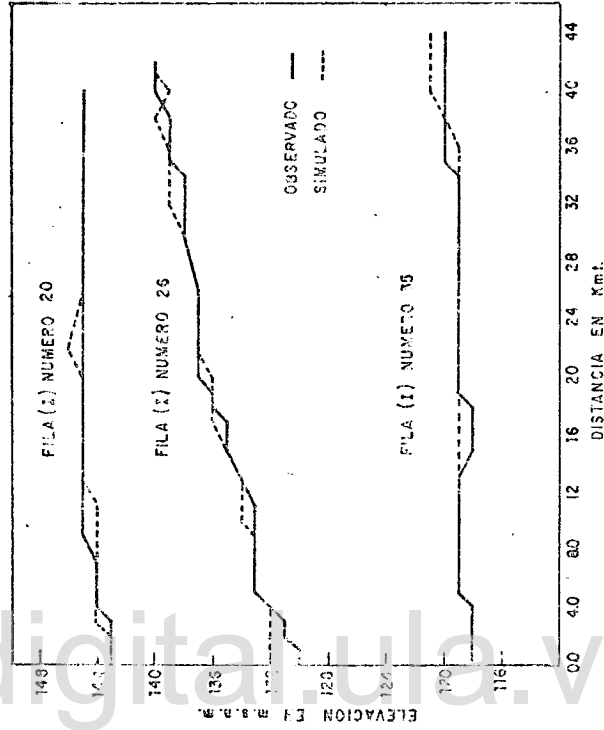


Figura 35 Variación comparativa de los niveles de agua simulados y observados, zona Acarigua-Sarare



simular las estrategias de explotación. Es decir, se puede simular una determinada extracción de agua del acuífero y poder establecer el comportamiento del mismo, en un tiempo determinado.

Bdigital.ula.ve

C.C.Reconocimiento

## CAPITULO VI

### RESULTADOS DE LA SIMULACION

#### Discusión General

Una vez calibrado el modelo, tanto en sus parámetros hidrogeológicos como en las entradas y salidas de agua subterránea, se considera que el sistema está en condiciones de simular determinada explotación en el tiempo. El objetivo de esta parte es mostrar la utilidad del modelo en la determinación de distintas alternativas de explotación del recurso hídrico subterráneo. Todo esto dentro del marco de la utilización racional y sistemática de este recurso.

La utilización de un modelo de simulación se justifica cuando se quiere saber cuanto tiempo se puede sobre-explotar el acuífero, antes de habilitar otra fuente como embalses, importación de agua o reutilización.

Durante el período de construcción de obras de embalses tal como el embalse Dos Bocas, Morador y Las Vueltas, se justifica una sobre-explotación del agua subterránea. La decisión final se obtiene no de un análisis de disponibilidad sino de una evaluación más amplia, donde intervienen consideraciones económicas, políticas, nacionales, regionales y de otra índole.

Se puede decir que la explotación de un acuífero no debe limitarse a las extracción de la recarga.

En el Capítulo IV, se estimó la recarga natural por medio del modelo de Simulación Hidrológica desarrollado por García (1976) y modificado por Anisai (1980).

Debe considerarse, también que la recarga no es constante en el tiempo pues se presentan cambios anuales. Es necesario establecer una mejor aproximación con generación de datos de escorrentía y precipitación, a través de modelos de simulación hidrológica; en este caso puede usarse el de García (1976). Deben tomarse en cuenta aquellas fuentes de agua como caños, que no se han considerado en este estudio debido a la falta de aforos. También se estimó una recarga al acuífero únicamente en función de una entrada de flujo constante.

#### Políticas de explotación

Para la determinación de las estrategias de explotación, se consideró un nivel inicial de la carga hidráulica, tomando el nivel correspondiente al registrado en el mes de septiembre de 1977, realizado por la División de Hidrología del Ministerio del Ambiente y de los Recursos Naturales Renovables. Esto se hizo con el objeto de tener un nivel de referencia para comparación de las alternativas consideradas de explotación.

Para todas las zonas delimitadas tanto en el sector Acarigua-Sarare, Guache-Acarigua, como el sector Morador Guache, se consideraron tres períodos de simulación con cuatro meses cada uno, así: septiembre a diciembre, enero-abril y mayo-agosto; aunque se tendría mayor precisión haciendo la simulación mes a mes, es decir, doce corridas del modelo por año, incluyendo la recarga correspondiente a cada mes.

#### Explotación Actual

Para el acuífero en Acarigua-Sarare se ha considerado una extracción promedio anual de  $2,54 \text{ m}^3/\text{s}$ ; en la zona Guache-Acarigua una extracción prome-

dio anual de 1,75 m /s y para la zona Morador-Guache 1,48 /s. En los tres casos no sobrepasan la recarga al acuífero. Se observa entonces, una subexplotación del acuífero, del cual puede obtenerse mayor provecho cuando se conozcan mejor todas las fuentes de recarga y extracción del agua subterránea.

Tanto la recarga como la explotación varían durante el año; la extracción es mayor durante los meses de diciembre a mayo y se reduce durante el período de lluvias. Es importante establecer una encuesta de pozos para poder estimar el caudal promedio de extracción por pozo.

Considerando que la explotación actual no sobrepasa la recarga, en las tres zonas acuíferos delimitadas, no se consideró esta alternativa como situación de simulación. Actualmente la extracción promedio anual es de 182,2 millones de metros cúbicos. Comparado con el volumen de recarga que es de 360 millones de metros cúbicos, la explotación actual representa el 51%, es decir existe aún un gran excedente de agua subterránea.

#### Alternativas Consideradas

En el presente trabajo, por efecto del tiempo de computadora, sólo se consideró una alternativa para cada zona acuífera.

Para la zona acuífera de Acarigua-Sarare se consideró una extracción incrementada en 4 veces la explotación actual.

Las variaciones del cono de depresión se presentan en la Figura 37, variando desde 2 metros al 12 metros, con respecto al nivel inicial de la carga hidráulica. El volumen total extraído para esta alternativa fue de 302 millones de metros cúbicos y llevándolo a la Figura 19, que muestra la extracción descenso del acuífero, este volumen da un descenso promedio de 5,5 me

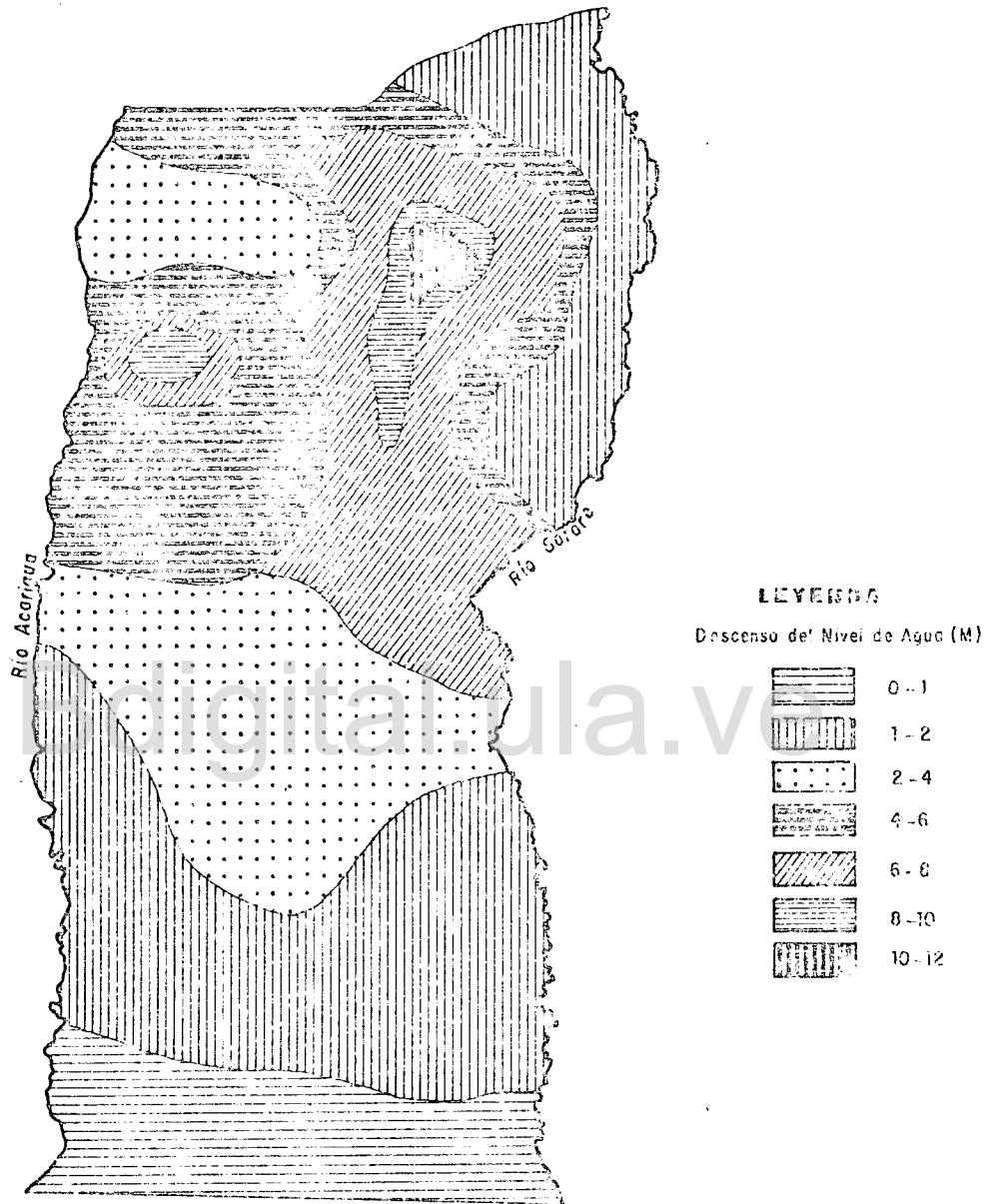


Figura 37 Estado del acuífero después de un año de explotación considerando una extracción cuatro veces más que la explotación actual, zona Acarigua - Sarare

tros respecto al nivel original.

En la zona acuífera Guache-Acarigua se consideró una extracción 6 veces mayor que la explotación actual; en la Figura 38, se ve la gran influencia que ésta extracción tiene en casi toda la zona, principalmente donde el acuífero sufre confinamiento. Así mismo se observan zonas hasta de 16 metros de depresión con respecto al nivel original. El volumen total extraído con esta alternativa es de 312 millones de metros cúbicos y al compararlo con el gráfico de volumen extraído-descenso del nivel del agua, Figura 18. Se observa un descenso promedio de 9,80 metros con respecto al nivel original.

La zona acuífera Morador-Guache es la menos explotada actualmente, habiéndose considerado un incremento en la extracción igual a 5,5 veces la explotación actual; se observa que la parte de acuífero libre es la de mayor descenso del nivel debido a la concentración de pozos en esa área y se ven zonas de depresión desde 4 a 8 metros del nivel original, Figura 39. El volumen extraído es de 264 millones de metros cúbicos y el descenso promedio es de 3,6 metros del nivel original.

En el sector Guache-Acarigua, la explotación promedio anual, actualmente considerada es de  $1,75 \text{ m}^3/\text{s}$ , para toda la zona acuífera; al incrementarse 6 veces más provoca grandes depresiones del nivel del agua. Estos descensos llegan hasta 16 metros por debajo del nivel original en un área de influencia muy grande tal como se observa en la Figura 38. Debe tenerse en cuenta que esta extracción corresponde únicamente a un año de explotación, observándose que en 3 a 4 años existirán zonas críticas en el acuífero.

Igual situación se observa en el sector Acarigua-Sarare y Morador-Guache; en el Apéndice C se muestra la salida del modelo.

**LEYENDA**  
 Descenso del Nivel de Agua (M)

	0 - 2
	2 - 4
	4 - 6
	6 - 8
	8 - 10
	10 - 12
	12 - 14
	14 - 16

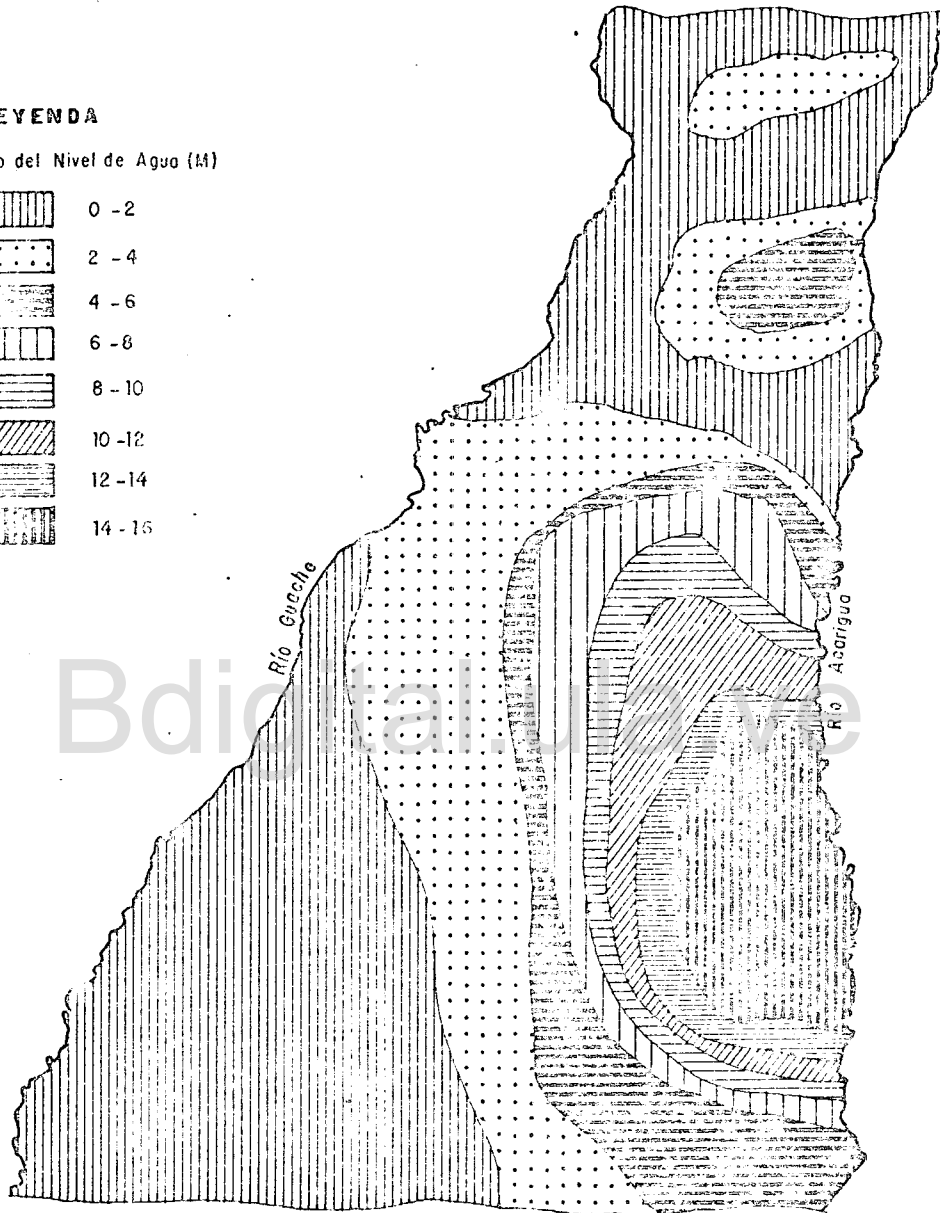


Figura 38 Estado del acuífero después de un año de explotación considerando una extracción seis veces más que la explotación actual, zona Guache -Acarigua.

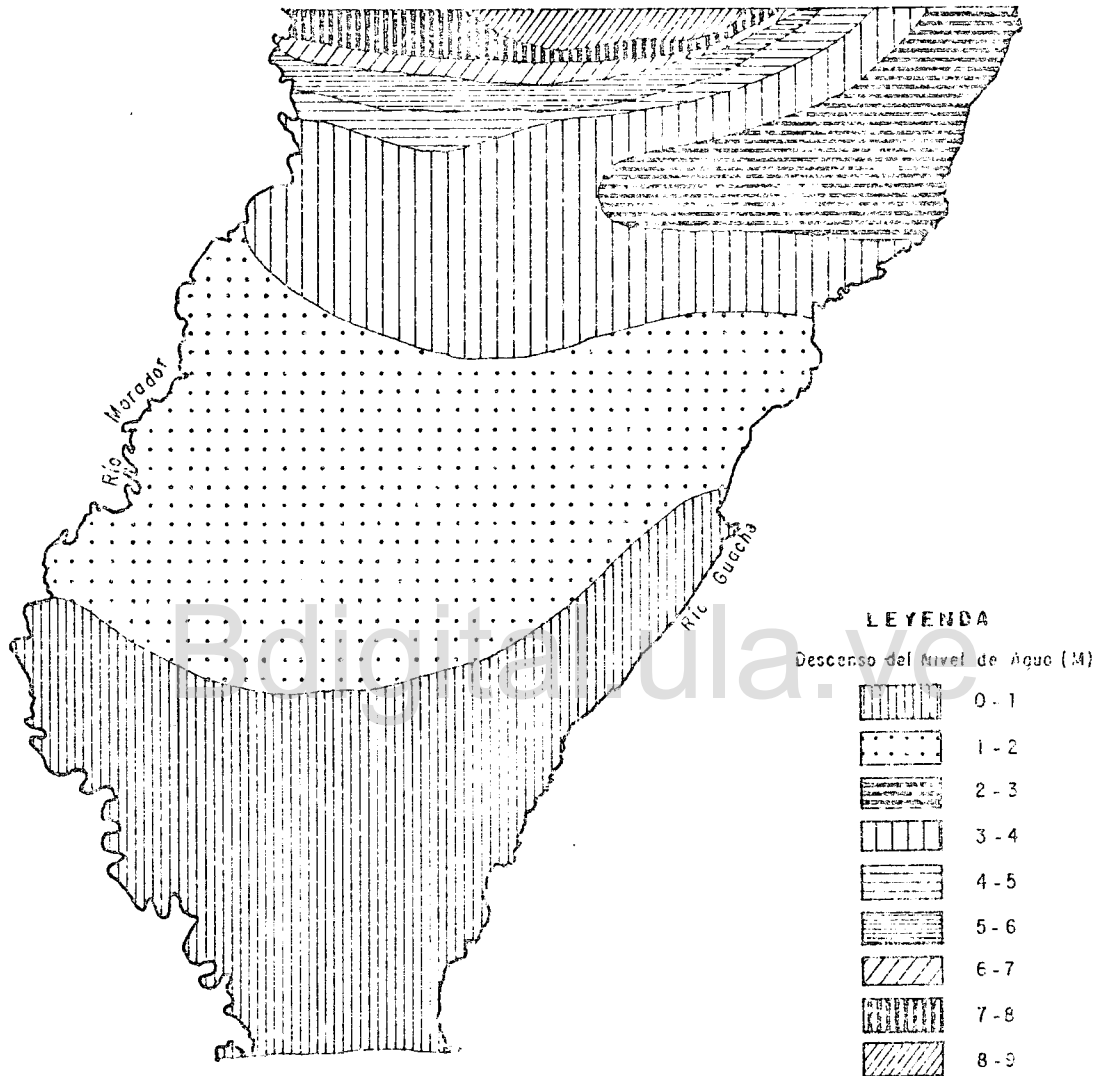


Figura 39. Estado del acuífero después de un año de explotación, considerando una extracción cinco veces más que la explotación actual, zona Morador - Guache

Las extracciones de agua subterránea, en las tres zonas acuíferas delimitadas, siempre fueron mayores que el volumen de recarga que recibe el acuífero por efecto de la infiltración eficaz del agua de lluvia. Deben considerarse otras alternativas considerando incrementos progresivos de la explotación basado posteriormente en el uso conjunto del agua subterránea y superficial.

En las zonas acuíferas Acarigua-Sarare, Guache-Acarigua y Morador-Guache no se consideró una distribución uniforme de extracción por pozo primero se estableció que la extracción del agua subterránea se incrementaría de acuerdo al desplazamiento de las áreas agrícolas ubicados en cada zona piloto de desarrollo. Por ello es que en las Figuras 37, 38 y 39 mayor descenso del nivel del agua en cada zona acuífera se manifiesta según las áreas piloto de desarrollo agrícola

## CAPITULO VII

### CONCLUSIONES Y RECOMENDACIONES

En este capítulo se presentan las conclusiones a que se llegó con el estudio y se dan recomendaciones para estudios posteriores en lo referente a los tópicos cubiertos.

#### Conclusiones

La zona en estudio tiene comportamiento de acuífero libre al inicio del piedemonte y posteriormente las aguas subterráneas sufren un confinamiento paulatino hacia los llanos.

Los ríos Morador, Guache, Acarigua y Sarare recargan el acuífero al inicio del piedemonte. Esta es una característica debida a la existencia de material con alta permeabilidad.

El acuífero de la cuenca Alta y Media del río Portuguesa cuenta con grandes reservas de agua subterránea, considerándose para la zona en estudio entre el río Morador y Sarare, un volumen de reserva permanente de 4825 millones de metros cúbicos. La reserva renovable fue estimada en 360 millones de metros cúbicos, para el período de septiembre de 1977.

En la zona del proyecto existe poca utilización del recurso hídrico subterráneo, estimándose una extracción promedio anual de 162.2 millones de metros cúbicos. Esta explotación representa el 51% de las reservas renovables.

Basado en el modelo de simulación hidrológica mensual de la escorrentía se obtuvo un valor de recarga por efecto de lluvia en 543 millones de metros

cúbicos. La diferencia de 17 millones de metros cúbicos, respecto a la reserva renovable, se considera como aporte de agua a caños y ríos o bien como salida en flujo subterráneo.

En la zona correspondiente al acuífero libre se obtienen rendimientos de 100-160 l/s por pozo, con abatimientos entre 6 y 9 metros, mientras que en la zona considerada como confinada los rendimientos oscilan entre 60 y 90 l/s con abatimientos promedio entre 8 y 13 metros, según el caudal extraído.

Basándose en el volumen de reserva renovable respecto a la explotación actual del agua subterránea, es factible incrementarla, en el caso de la zona acuífera Acarigua-Sarare en dos veces la explotación actual, en la zona Guache Acarigua 2,5 veces más y en la zona Morador-Guache 3 veces más que la actual. Esto es si se quisiera extraer únicamente el volumen correspondiente a la recarga equivalente a 360 millones de metros cúbicos para toda la zona del proyecto.

El modelo de Pinder, modificado por Jégou (1977), constituyó un instrumento útil para poder simular el comportamiento del acuífero.

#### Recomendaciones

Se dan a continuación sugerencias para complementar el estudio de los recursos hídricos subterráneos en la cuenca Alta y Media del río Portuguesa.

- Se deberán realizar estudios geofísicos a fin de ajustar mejor las características litológicas en aquellas zonas donde se cuenta con poca información. Posteriormente, se deberán ubicar una serie de piezómetros para efectuar ensayos por bombeo tanto al inicio del piedemonte como aguas abajo de éste, con el objeto de precisar mejor los parámetros hidrológicos.

- Se deberán recolectar datos sistemáticos sobre la variación de los niveles piezométricos con intervalos mensuales. Esto es con el propósito de establecer la situación actual de los niveles de agua a fin de mejorar la evaluación de las reservas acuíferas en la zona.

- Realizar una encuesta sobre pozos existentes en funcionamiento, considerando información sobre volumen extraído, período en que laboran, niveles estáticos, niveles de bombeo, tipo de bomba, profundidad y características de construcción del pozo.

Obtener mayor información requerida por el modelo de simulación mensual de la esorrentía a fin de dar mejores datos sobre la recarga al acuífero.

Finalmente, vincular el comportamiento del acuífero, de acuerdo a la planificación conjunta del agua subterránea y superficial en la Cuenca Alta y Media del río Portuguesa.

## LITERATURA CITADA

- Amisial, R y H. Jégat. 1978. Aprovechamiento y Modelos de Aguas Subterráneas CIDIAT, Mérida - Venezuela. 73 p.
- Beltran R. 1976. Programa ACMIXTO, CIDIAT, Mérida - Venezuela.
- Benítez, A. 1972. Captación de Aguas Subterráneas. Editorial Dorsat, S.A. Madrid, España. 619 p.
- Castany, G. 1975. Prospección y Explotación de las Aguas Subterráneas. Ediciones Omega. Barcelona, España. 738 p.
- Custodio, E. y R. Llamas. 1976. Hidrología Subterránea. Editorial Omega. Barcelona, España. 2100 p.
- García, M. 1976. Estimación de la Escorrentía en Cuencas Pequeñas Mediante un Modelo de Simulación Hidrológica. Tesis M.S. Universidad de Los Andes. CIDIAT. Mérida, Venezuela. 167 p.
- Guerra, L. 1980. Disponibilidad de Agua Superficial en la Subregión Portuguesa. Tesis M.S. Universidad de Los Andes. CIDIAT. Mérida, Venezuela.
- Kruseman, G. 1975. Análisis y Evaluación de los Datos de Ensayos por Bombo. International Institute for Land Reclamation and Improvement. Wageningen, the Netherlands. 212 p.
- Pinder, G. F. y J. O. Bredehoeft. 1968. Application of the Digital Computer for Acuífer Evaluation. Water Resources Research. 4(5) : 1069 - 1093 p.
- Todd, D. 1973. Hidrología, Agua Subterránea. Editorial Paraninfo. Madrid, España. 371 p.
- Venezuela, Comisión del Plan Nacional de Aprovechamiento de los Recursos Hidráulicos. 1970. Recursos de Aguas Subterráneas en Venezuela. Caracas. 70 p.
- Venezuela, Ministerio de Minas e Hidrocarburos. 1969. Explicación del Mapa de Posibilidades de Abastecimiento de Aguas Subterráneas en Venezuela. Caracas. 36 p.
- Venezuela, Ministerio de Minas e Hidrocarburos. 1970. Estimación Preliminar del Orden de Magnitud de las Reservas de Agua Subterráneas en Venezuela. Caracas. 36 p.

- Venezuela, Fundación para el Desarrollo de la Región Centro Occidental. 1973. Segundo Inventario de Aguas Superficiales de la Región Centro Occidental. Barquisimeto. 384 p.
- Venezuela, Fundación para el Desarrollo de la Región Centro Occidental. 1978. Estudio de Factibilidad del Embalse Dos Bocas. Barquisimeto. 261 p.
- Venezuela, Ministerio de Obras Públicas. 1973. Hidrología del Piedemonte de los Andes Venezolanos. Caracas. 23 p.
- Venezuela, Ministerio de Obras Públicas. 1975. Estudio de Suelo Semidetallado. Unidad Agrícola de Turén. Sector Santa Rosalía-Río Portuguesa. Segundo Avance. Guanare. 275 p.
- Venezuela, Ministerio del Ambiente y de los Recursos Naturales Renovables-FUDECO. 1978. Estudio de Factibilidad del Embalse Dos Bocas. Barquisimeto. 261 p.
- Venezuela, Ministerio del Ambiente y de los Recursos Naturales Renovables. 1978. Diagnóstico para la cuenca Alta y Media del río Portuguesa. Caracas.
- Venezuela, Ministerio del Ambiente y de los Recursos Naturales Renovables. 1979. Inventario Nacional de Pozos. Caracas. 35 p.
- Venezuela, Ministerio de Agricultura y Cría. 1977. Clasificación Interpretativa de los suelos del Estado Portuguesa, en base a su fertilidad. Maracay. 315 p.

APENDICE A  
VERSION PINDER MODIFICADA  
Y TABLAS DE UBICACION DE LOS PERFILES  
LITOLOGICOS

USO DE LA VERSION MODIFICADA DEL MODELO PINDER

Esta versión permite la simulación del flujo en acuíferos confinados, semi-confinados, libres y libres con partes confinadas o semi-confinadas.

Por lo tanto, los datos de entrada no se presentan en la misma forma que en la versión descrita en la publicación:

"Aprovechamiento y Modelos de Aguas Subterráneas". CIDIAT - Banco de Programas, 1976.

Los cambios, con respecto a esta primera versión, son los siguientes:

- 1.- Las partes confinadas se especifican dando la elevación del acuitardo en el arreglo  $TØPE(I,J)$ . Esta elevación se mide desde el mismo datum de referencia que la del fondo del acuífero ( $BØTTØM(I,J)$ ) y que la carga hidráulica inicial. En las partes libres, se da  $TØPE(I,J) = 0$ .

Se entra también el multiplicador  $FTØPE$ .

- 2.- El coeficiente de almacenamiento de la parte confinada se da en el arreglo  $SC(I,J)$ , con el multiplicador  $FACSC$ .
- 3.- El rendimiento especificado de la parte libre se da en el arreglo  $SL(I,J)$  con el multiplicador  $FSL$ .
- 4.- La permeabilidad se da para todo el acuífero en el arreglo  $PERM(I,J)$ . Con los valores de  $BØTTØM$  y de  $TØPE$ , el programa calcula automáticamente el valor de la transmisividad en la parte confinada.
- 5.- La tarjeta 9 se deja siempre en blanco.

En la figura I se representa un esquema del acuífero simulado con sus características, y en la Tabla I se indican los formatos de entrada de los datos necesarios a la simulación.

TABLA A1.DATOS DE ENTRADA

Tarjeta	Formato	Variable
1	20A4	Título del Trabajo
2	20A4	
3	F 10.2	
	I 10	TMAX
	I 10	DIML
	I 10	DIMW
	I 10	NUMT
	I 10	ITMAX
	F 10.2	QRE
	I 10	KTH
	F 10.2	FACTØR
4	I 10	LENGTH
	F 10.2	ERR
	F 10.2	FACSC
	F 10.2	FACB
	F 10.2	FACP
	F 10.2	FACW
	F 10.2	FSL
	F 10.2	FTØPE
5	F 10.2	SPACNG
	E 10.2	HYCØND
	E 10.2	SS
6	E 20.10	SUM
	E 20.10	CØNET
	E 20.10	PUMPT
	E 20.10	DELQT
7	E 20.10	FLUXT
	E 20.10	DIFFT
	E 20.10	DELT

Tabla A.1 (Continuación)

Tarjeta	Formato	Variable
8	A 5	PUNCH
9	en blanco	
10	A 7	CØNTØUR
11	A 7	NUMERIC
12	A 5	CHECK

Los datos siguientes vienen en forma de arreglos, a partir de la tarjeta 13.

F 10.0	DELX(J), J = 1, DIMW
F 10.0	DELY(I), I = 1, DIML
F 10.4	STRT(I,J) $\begin{cases} J = 1, \text{ DIMW} \\ I = 1, \text{ DIML} \end{cases}$
F 4.0	RATE(I,J)
F 4.0	PERM(I,J)
F 4.0	BØTTØM(I,J)
F 4.0	TØPE(I,J)
F 4.0	WTABLE(I,J)
F 4.0	SC(I,J)
F 4.0	SL(I,J)
F 4.0	PUMP(I,J)

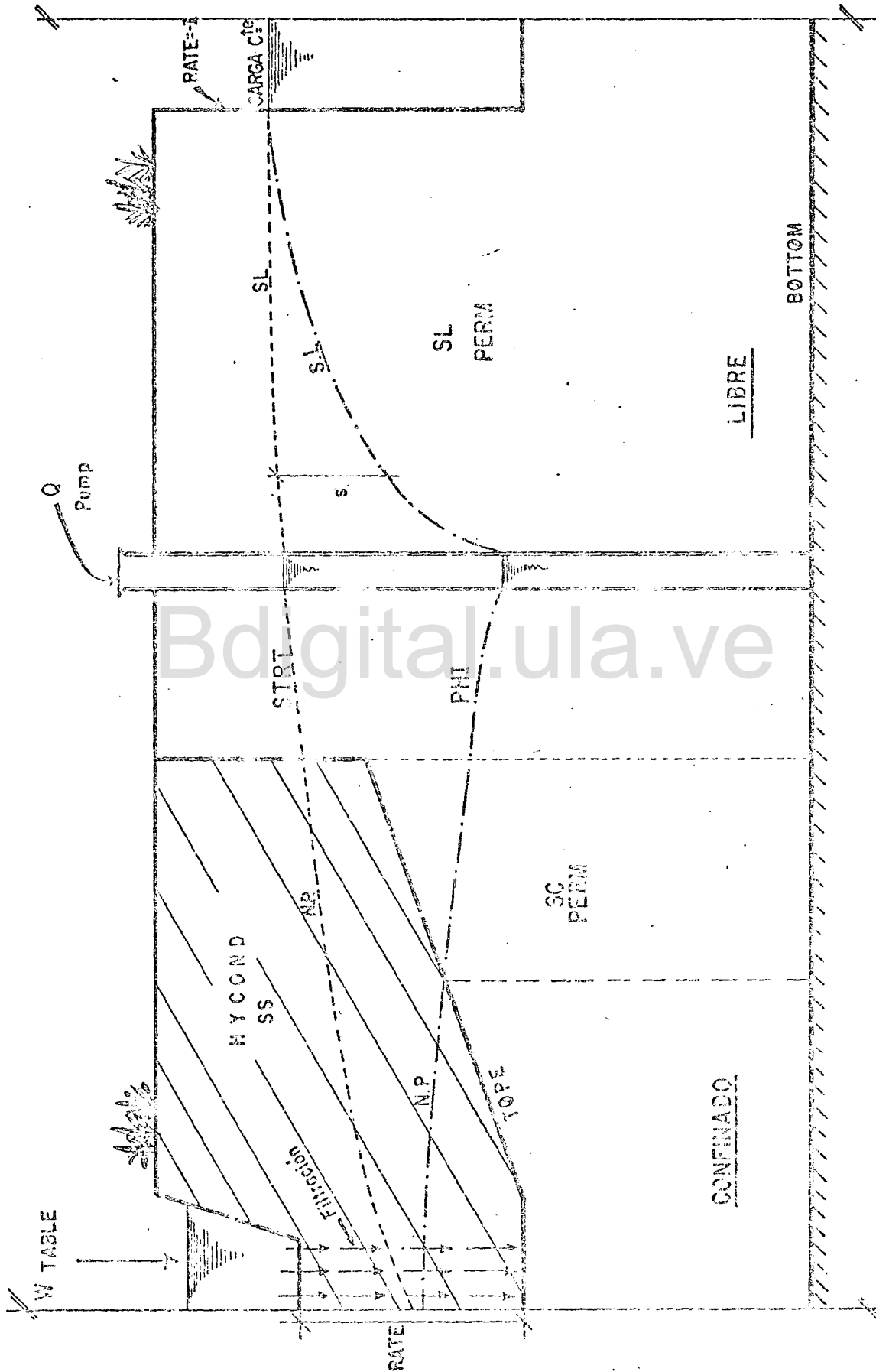


FIG. 41 — REPRESENTACION ESQUEMATICA DEL ACUIFERO

Datos de entrada

Tabla A.2 Datos de entrada al programa Pínder original

DATOS DE ENTRADA		
Tarjeta	Variable	Significado
1		
2		
3	TMAX	Duración de la simulación (horas)
	DIML	Número de nodos por columna
	DIMW	Número de nodos por fila
	NUMT	Número máximo de intervalos de tiempo
	ITMAX	Número máximo de interacciones para cada intervalo de tiempo
	QRE	Filtración permanente sobre toda la superficie del acuífero
	KTH	Número de intervalos de tiempo entre dos salidas de resultados.
	FACTOR	Multiplicador para los valores del espesor de la capa semi-confinante (RATE)
4	LENGTH	Número de parámetros de interacción
	ERR	Criterio de error
	FACSC	Multiplicador para los valores del coeficiente de almacenamiento
	FACB	Multiplicador para elevación del fondo del acuífero (para un acuífero libre)
	FACP	Multiplicador de la permeabilidad
	FACT	Multiplicador para la transmisibilidad

Tabla A.2 (Continuación)

DATOS DE ENTRADA		
Tarjeta	Variable	Significación
	FACW	Multiplicador para la carga hidráulica en la capa semi-confinante o la elevación del agua en lago o río.
	SPACNG	Valor del intervalo para el mapa alfa-numérico
5	HYCOND	K': permeabilidad de la capa semi-confinante
	SS	Almacenamiento específico de la capa semiconfinante
6	SUM	Estos valores son iguales a cero al comienzo de la simulación
	CONET	Estos valores son iguales a cero al comienzo de la simulación, volumen del cono de depresión al comienzo ( $m^3$ )
	PUMPT	Estos valores son iguales a cero al comienzo de la simulación
	DELQT	Estos valores son iguales a cero al comienzo de la simulación, volumen acumulado de la filtración ( $m^3$ )
7	FLUXT	Estos valores son iguales a cero al comienzo de la simulación
	DIFFF	Estos valores son iguales a cero al comienzo de la simulación, error residual ( $m^3$ )
	DELT	Valor inicial del intervalo de tiempo
8	PUNCH	Para perforar al fin de la simulación
9	WATERTABLE	En el caso de un acuífero libre

Tabla A.2 (Continuación )

DATOS EN ENTRADA		
Tarjeta	Variable	Significación
10	CONTOUR	Para imprimir el mapa alfanumérico
11	NUMERIC	Para imprimir los datos numéricos
12	CHECK	Para hacer el balance de masa (Los siguientes arreglos de datos vienen a partir de la tarjeta 13)
		CONJUNTO DE DATOS N° 1
	DELX	Valor del intervalo entre dos columnas
	DELY	Valor del intervalo entre dos filas
		CONJUNTO DE DATOS N° 2
	STRT	Carga inicial en el acuífero
		CONJUNTO DE DATOS N° 3
	RATE	Espesor de la capa semiconfinante (si carga constante en el punto $(i,j)$ $RATE(i,j) = -1$ )
		CONJUNTO DE DATOS N° 4
	T	Valores de la transmisibilidad (acuífero confinado) o de la permeabilidad (acuífero libre)
o	PERM	
		CONJUNTO DE DATOS N° 5
	BOTTOM	Elevación del fondo del acuífero sólo en el caso de un acuífero libre
		CONJUNTO DE DATOS N° 6
	WTABLE	Elevación del agua en los lagos o ríos, o carga hidráulica en la capa semiconfinante en el caso de un acuífero confinado
	S	CONJUNTO DE DATOS N° 7 Coeficiente de almacenamiento

Tabla A.2(Continuación)

DATOS DE ENTRADA		
Tarjeta	Variación	Significado
	PUMP	CONJUNTO DE DATOS N° 8 Valores de bombeo (+) o de la recarga (-) en cada punto.

Bdigital.ula.ve

Bdigital.ula.ve  
APENDICE B  
PERFILES LITOLÓGICOS

C.C.Reconocimiento

Tabla B-1 Ubicación de perfiles litológicos en el área del Proyecto.

POZO	LUGAR	COORDENADAS		PROFUNDIDAD m	DISTANCIA P-P', Km
		N	E		
PERFIL LITOLÓGICO I.					
PL-1	Guanare	9°02'45"	69°45'50"	120	-
PL-2	Las Márfas	9°05'30"	69°39'50"	60	11,8
PL-3	Frente Hato Caimán	9°06'	69°40'	43	6,5
PL-5	Fundo San Ramón	9°11'	69°37'	40	6,4
PERFIL LITOLÓGICO II.					
PL-5	Fundo San Ramón	9°11'	69°37'	41	
PL-6	Los Marines	9°12'	69°34'50"	40	4,2
PL-7	San Antonio	9°11'	69°22'	55	4,5
PL-8	Tierra Buena	9°12'45"	69°30'30"	50	4,6
PL-11	La Mata	9°11'30"	69°27'	59	6,2
PL-12	Empresa Campesina	9°11'	69°22'	63	9,5
PERFIL LITOLÓGICO III.					
PL-11	La Mata	9°11'	69°22'	59	
PL-9	El Jabillo	9°10'	69°28'	63	3,2
PL-4	La Maroma	9°02'	69°34'	30	17,5
PERFIL LITOLÓGICO IV.					
PL-8	Tierra Buena	9°12'45"	69°30'30"	50	
PL-9	El Jabillo	9°10'	69°28'	63	6,8
PL-10	Mata Pelada	9°05'	69°24'30"	37	10,5
PERFIL LITOLÓGICO V.					
PL-8	Tierra Buena	9°12'45"	69°30'30"	50	
PL-13	Granja Ospino	9°18'	69°28'	83	11,5
PL-14	Are Indígena	9°23'	69°23'30"	46	12,0

Tabla B1 (Continuación).

POZO	LUGAR	COORDENADAS		PROFUNDIDAD m	DISTANCIA
		N	E		
PL-22	Aparición	9°24'	69°22'30"	50	2,4
PL-18	La Flecha	9°29'15"	69°17'	70	14,5
PERFIL LITOLÓGICO VI.					
PL-18	La Flecha	9°29'15"	69°17'	70	13,0
PL-34	Viveros Forestales	9°35'	69°13'	120	10,6
PL-38	Morrocoy	9°38'	69°08'	68	3,3
PL-39	Agua Blanca	9°39'30"	69°07'	36	8,7
PL-41	El Hijito	9°42'	69°03'	45	5,4
PL-42	San Rafael de Onoto	9°41'30"	68°58'30"	60	2,7
PERFIL LITOLÓGICO VII.					
PL-42	San Rafael de Onoto	9°41'30"	68°58'30"	61	-
PL-43	Majaguas	9°39'50"	68°59'	36	3,5
PL-44	Sistema Majaguas	9°36'	69°00'	30	5,6
PL-45	Masato	9°32'45"	69°02'	83	7,7
PERFIL LITOLÓGICO VIII.					
PL-34	Viveros For. Araure	9°35'	69°13'	120	-
PL-33	El Mañón	9°30'	69°08'45"	35	12,0
PL-32	Caño Seco	9°24'30"	69°00'30"	70	18,8
PERFIL LITOLÓGICO IX.					
PL-36	Sábana Larga	9°39'	69°12'45"	74	-
PL-37	El Zapatero	9°39'	69°11'05"	70	2,3
PL-38	Morrocoy	9°38'	69°08'	68	6,7
PL-40	Aset. Chaparral	9°37'	69°06'	80	3,3
PL-44	Sistema Majaguas	9°36'	69°00'	30	11,6
PERFIL LITOLÓGICO X.					
PL-45	Masato	9°32'45"	69°02'	84	-

Tabla B1 (Continuación)

POZO	LUGAR	COORDENADAS		PROFUNDIDAD m	DISTANCIA P-P', Km
		N	E		
PERFIL LITOLÓGICO X.					
PL-32	Caño Seco	9°24'30"	69°00'30"	72	15,4
PL-46	El Crece	9°19'30"	68°59'15"	45	10,2
PL-27	El Palmar	9°20'	69°00'	54	9,4
PL-26	La Rojeña	9°11'	69°01'45"	72	6,7
PERFIL LITOLÓGICO XI.					
PL-18	La Flecha	9°29'15"	69°17'	70	-
PL-19	Choro Gonzalero	9°28'15"	69°13'50"	31	5,7
PL-33	El Mamón	9°30'	69°08'45"	35	10,2
PL-45	Masato	9°32'45"	69°02'	84	13,8
PERFIL LITOLÓGICO XII.					
PL-17	Hoja Blanca	9°30'	69°20'	66	-
PL-18	La Flecha	9°29'15"	69°17'	70	4,0
PL-19	Choro Gonzalero	9°28'15"	69°13'50"	31	5,8
PL-47	Choro Soteldeño	9°30'	69°17'	72	5,0
PL-23	Píritu	9°22'	69°14'30"	56	8,2
PERFIL LITOLÓGICO XIII.					
PL-23	Píritu	9°22'	69°14'30"	56	-
PL-30	Vega Quinteroña	9°20'	69°09'	60	7,8
PL-29	Villa Bruzual	9°20'30"	69°07'	60	3,4
PL-28	M-226 (Turón)	9°19'30"	69°05'45"	115	4,1
PL-27	El Palmar	9°20'	69°00'	54	13,5
PERFIL LITOLÓGICO XIV.					
PL-33	El Mamón	9°30'	69°08'45"	35	-
PL-31	Cartepe	9°25'45"	69°09'	54	8,4
PL-23	Píritu	9°22'	69°14'30"	56	8,0
PL-15	Maporalito	9°18'	69°15'	42	7,7
PL-12	Empresa Ospino	9°11'	69°22'	63	19,0

Tabla B 1 (Continuación).

POZO	LUGAR	COORDENADAS		PROFUNDIDAD m	DISTANCIA P-P', Km
		N	N		
PERFIL LITOLÓGICO XIV.					
PL-10	Mata Pelada	9°05'	69°24'30"	37	12,0
PL-4	La Maroma	9°02'	69°34'	30	17,5
PERFIL LITOLÓGICO XV.					
PL-15	Maporalito	9°18'	69°15'	42	-
PL-24	M-514 (Turén)	9°19'30"	69°10'30"	45	7,5
PL-30	Vega Quinteraña	9°20'	69°09'	60	3,5
PL-29	Villa Bruzual	9°20'	69°07'	110	3,4
PL-28	M-226 (Turén)	9°19'30"	69°05'45"	60	4,0
PL-46	El Cruce	9°19'30"	68°59'15"	45	10,3
PERFIL LITOLÓGICO XVI.					
PL-12	Empresa Ospino	9°11'	69°22'	63	-
PL-16	Mata de Palo	9°08'	69°08'	45	25,8
PL-26	La Rojeña	9°11'	69°01'45"	72	14,2
PERFIL LITOLÓGICO XVII.					
PL-28	M-226 (Turén)	9°19'30"	69°05'45"	60	-
PL-25	M-321 (Turén)	9°12'30"	69°05'30"	60	12,2
PL-16	Mata de Palo	9°08'	69°08'	45	10,0
PERFIL LITOLÓGICO XVIII.					
PL-19	Choro Gonzalero	9°28'15"	69°13'50"	30	-
PL-20	Empresa Camp. Choro	9°26'30"	69°13'45"	35	3,8
PL-47	Choro Soteldeño	9°30'	69°17'	72	1,8
PL-21	Mata de Palma	9°24'	69°16'30"	45	4,4

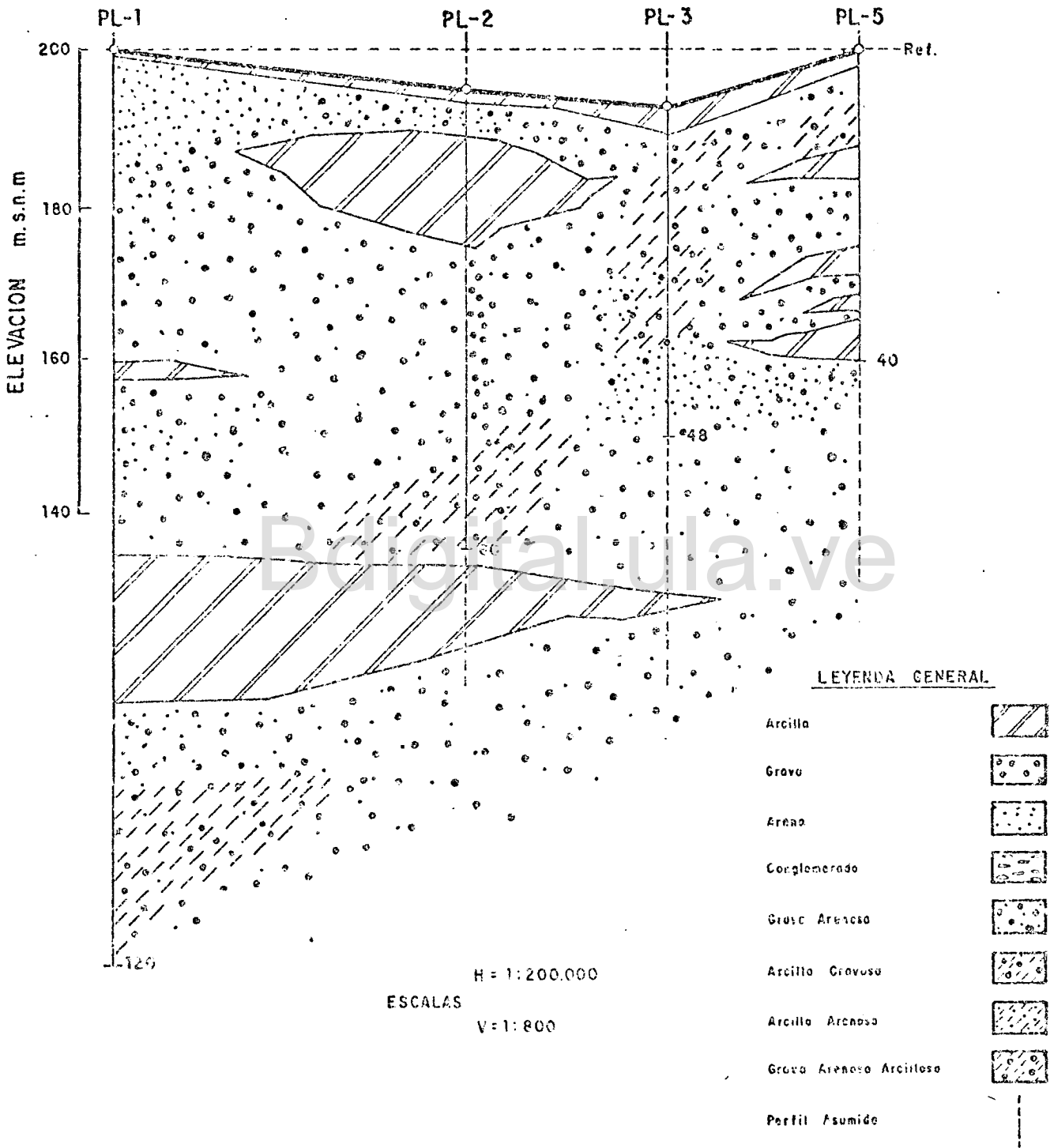


Figura B.1 Perfil Litológico I (sector Guanare - Fdo San Ramon)

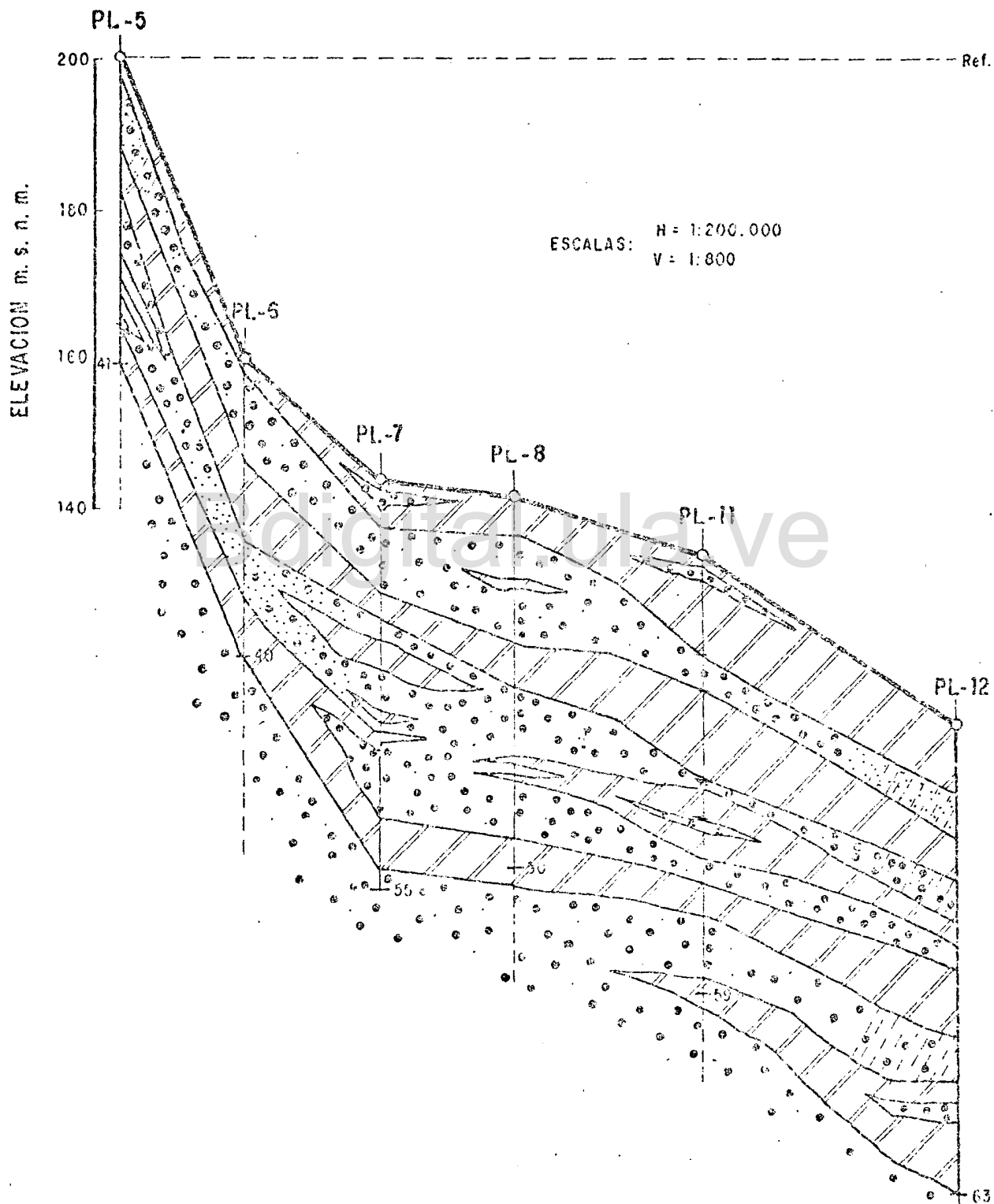


Figura B.2 Perfil Litológico II (sector Fdo. San Ramón-Empresa Campesina Ospino)

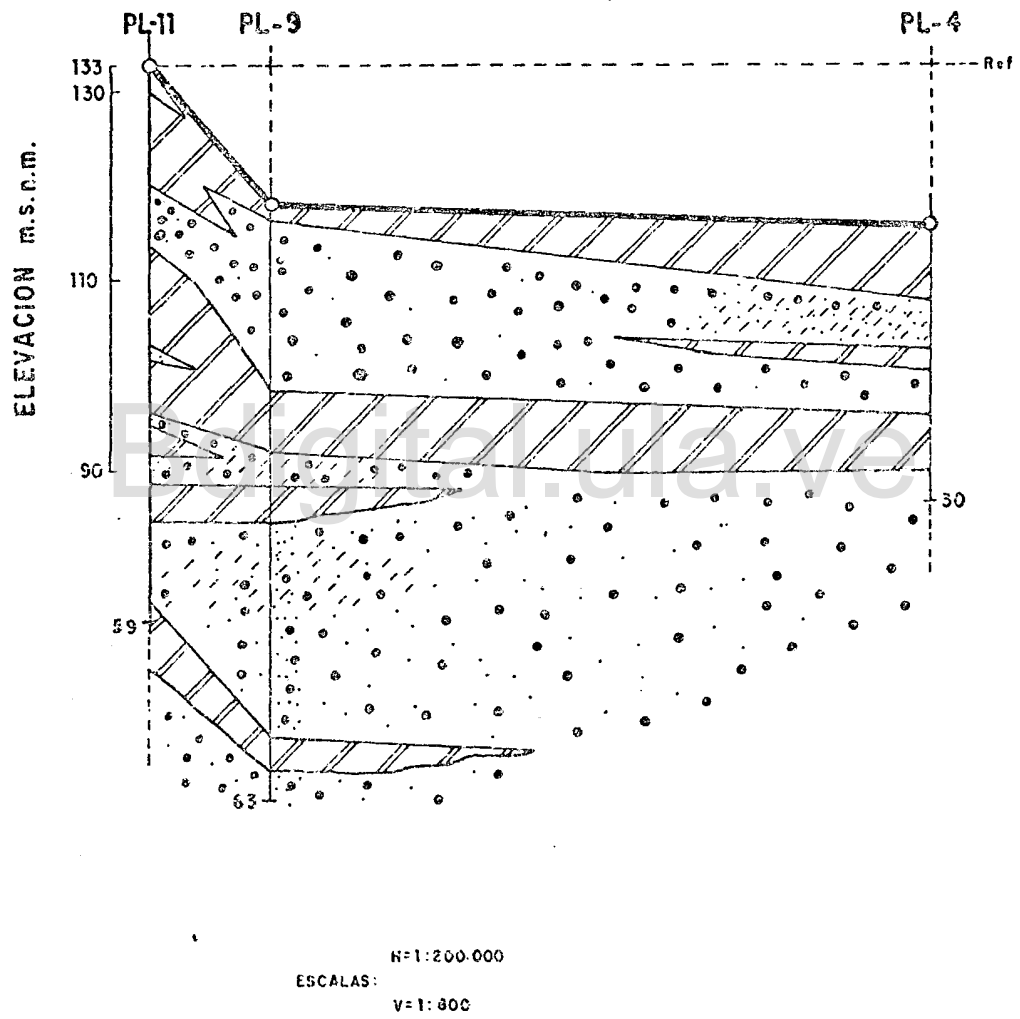


Figura B.3 Perfil Litológico III (sector La Mota - La Maroma)

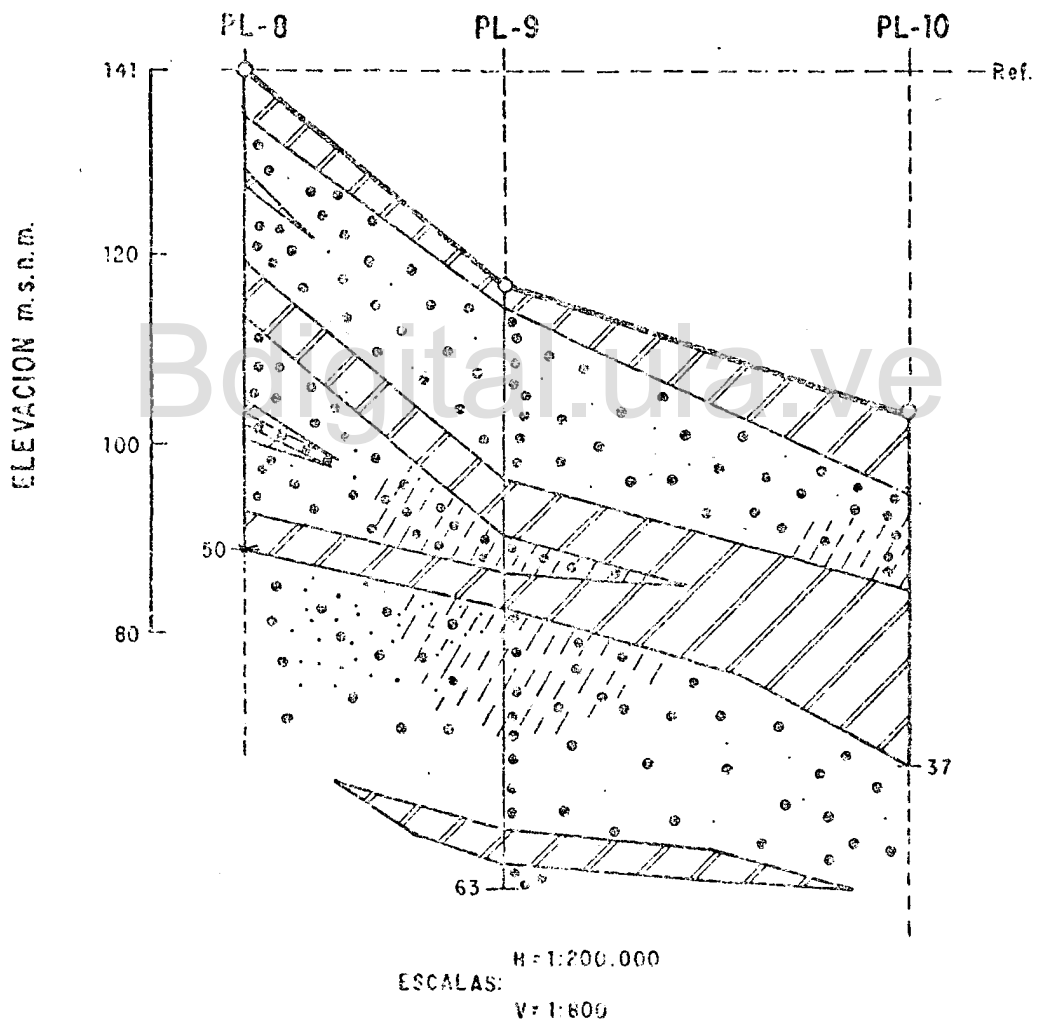


Figura B.4 Perfil Litológico IV (sector Tierra Buena - Mata Peñada)

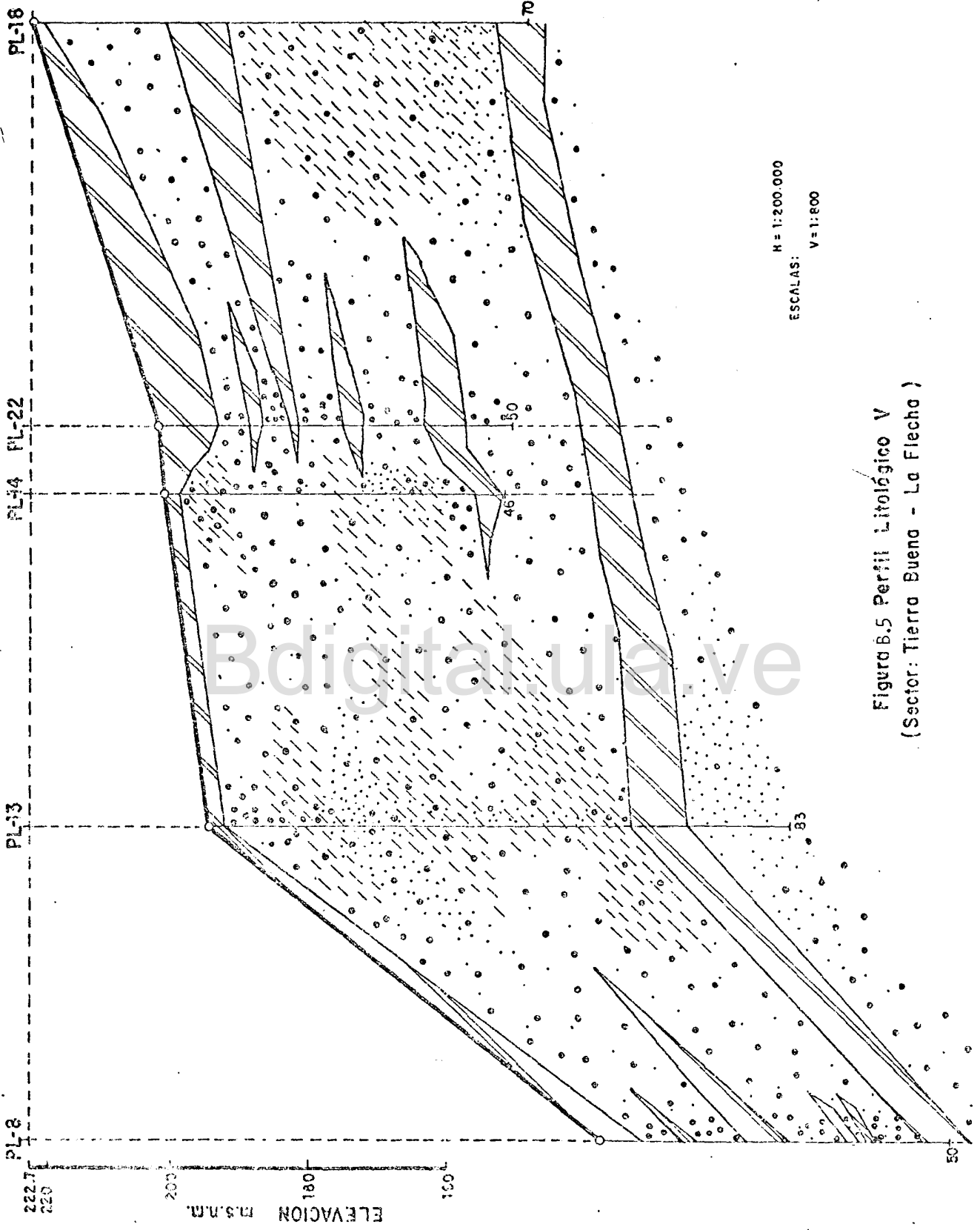


Figura B.5 Perfil Litológico V.  
(Sector: Tierra Buena - La Flecha)

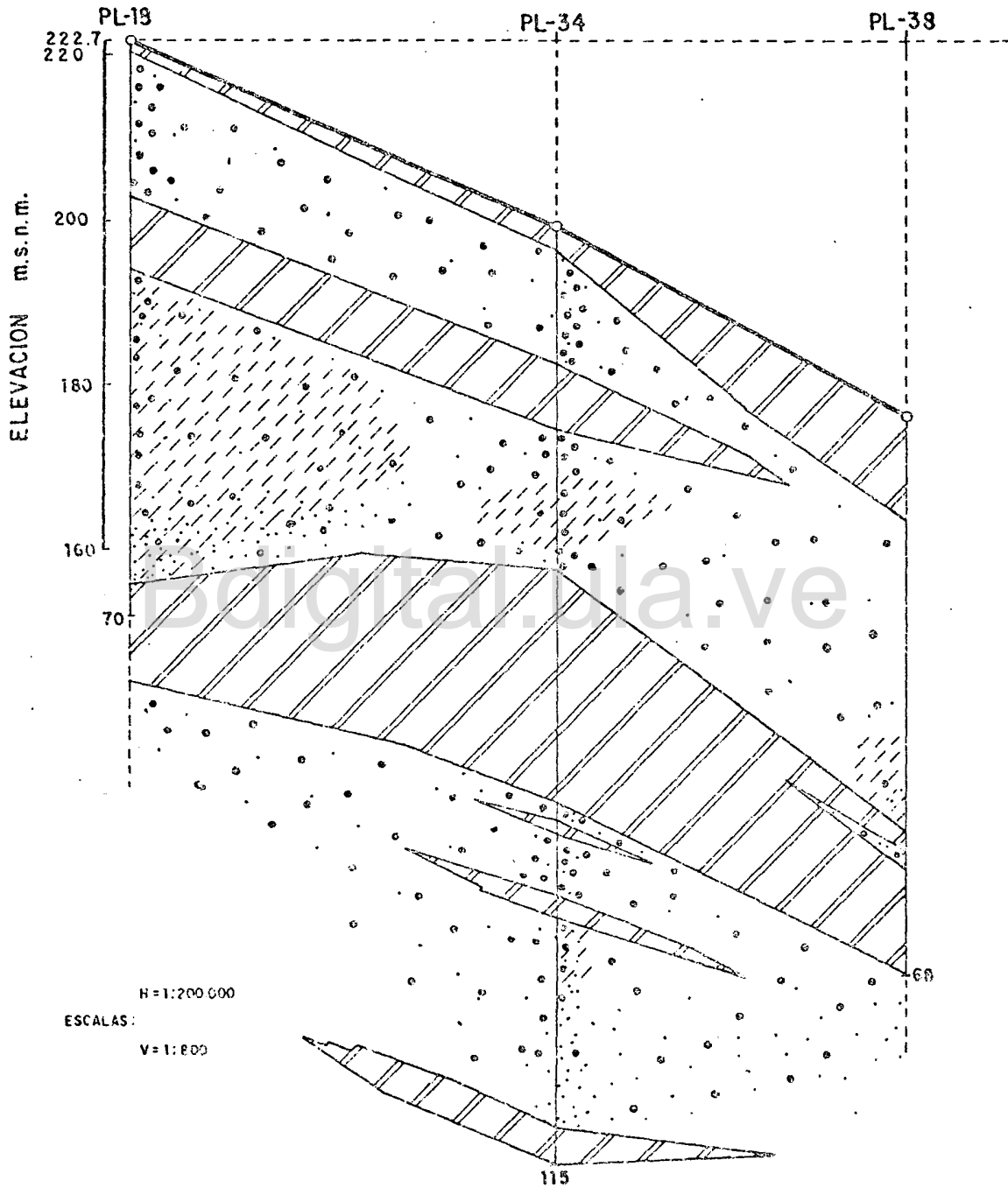


Figura B.6 Perfil Litológico VI (a).  
(Sector: La Flecha - San Rafael de Onoto)

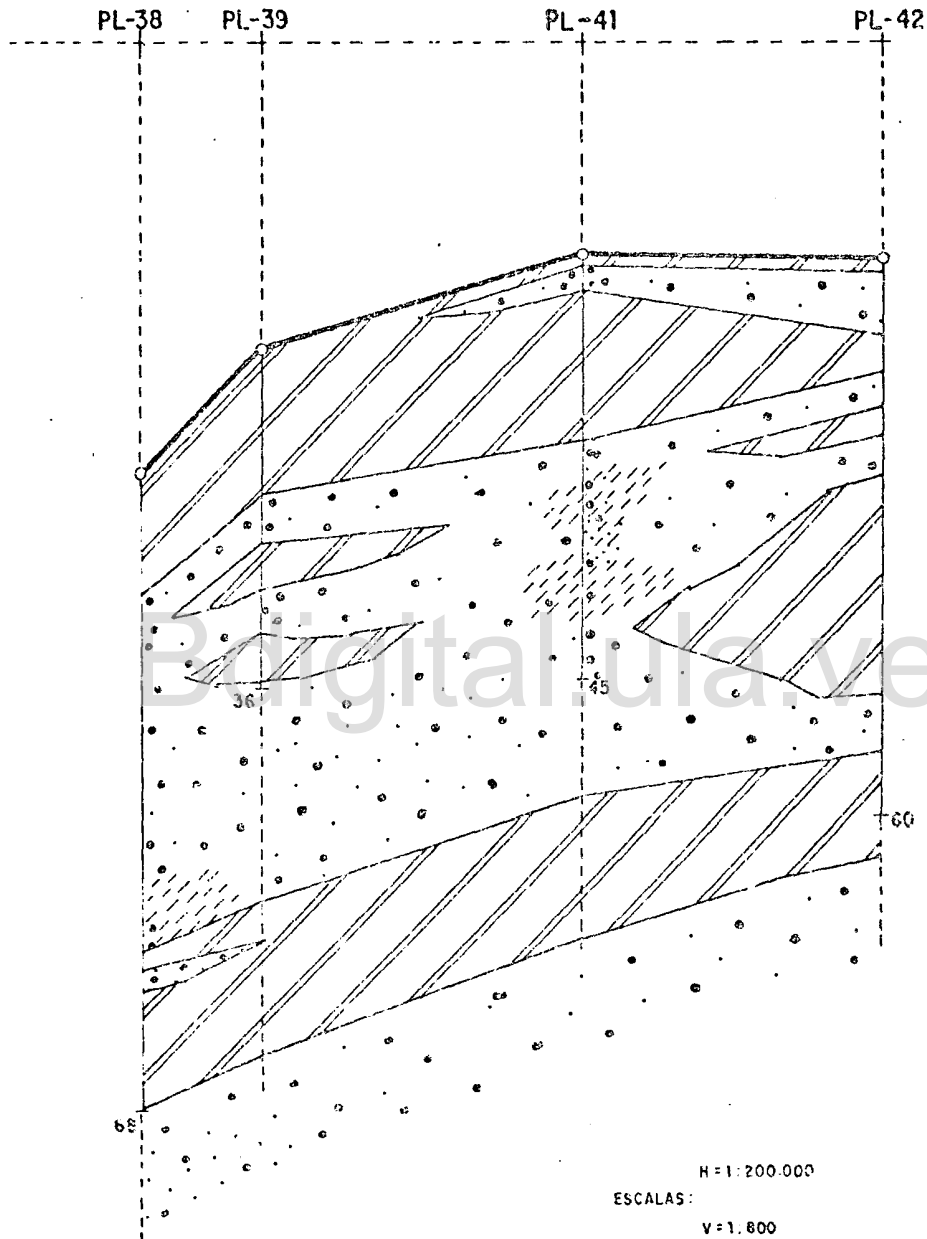


Figura B.7 Perfil Litológico VI (b)  
(Sector: La Flecha - San Rafael de Orito)

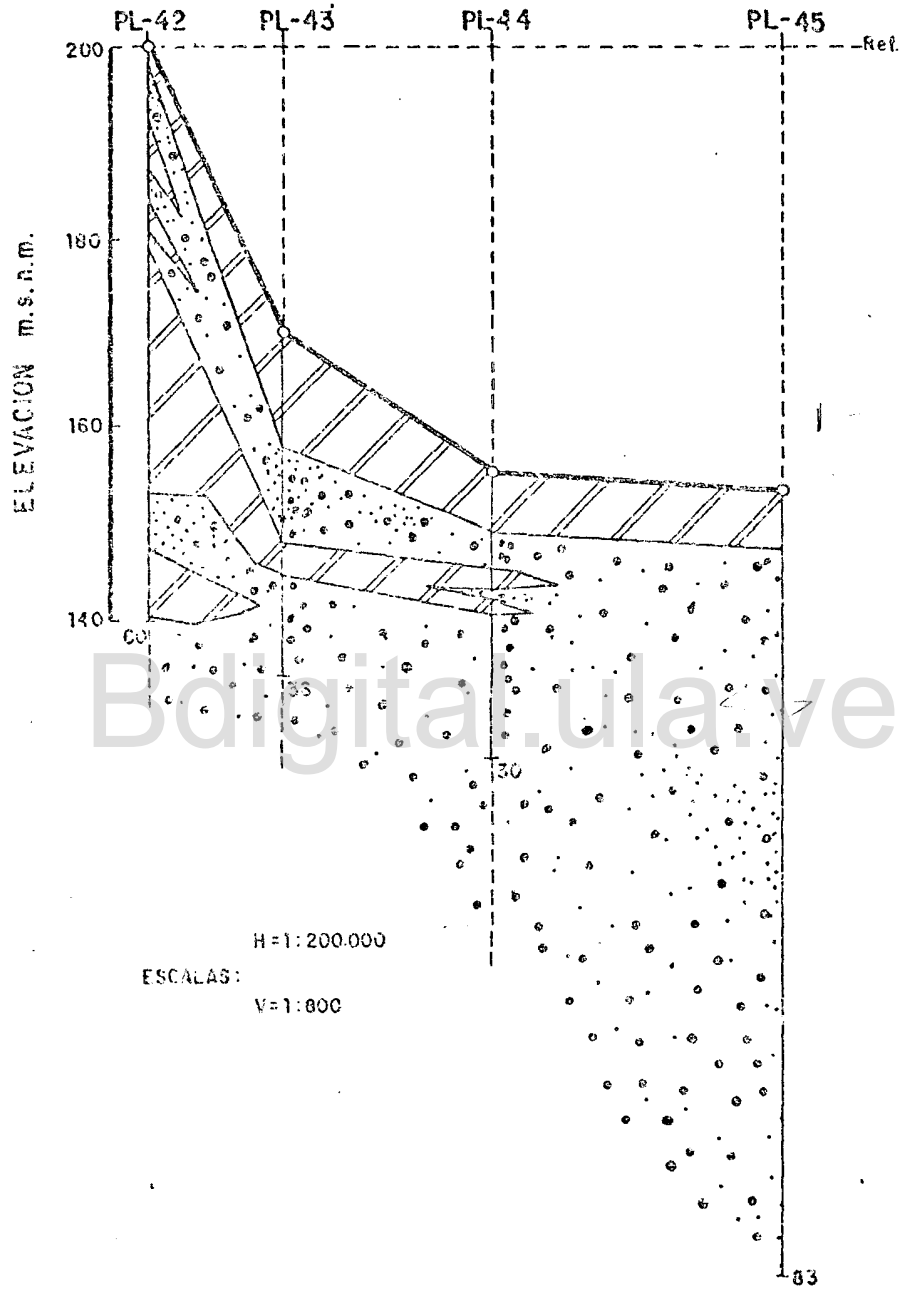


Figura B.8 Perfil Litológico VII (Sector: San Rafael de Onoto - Masato)

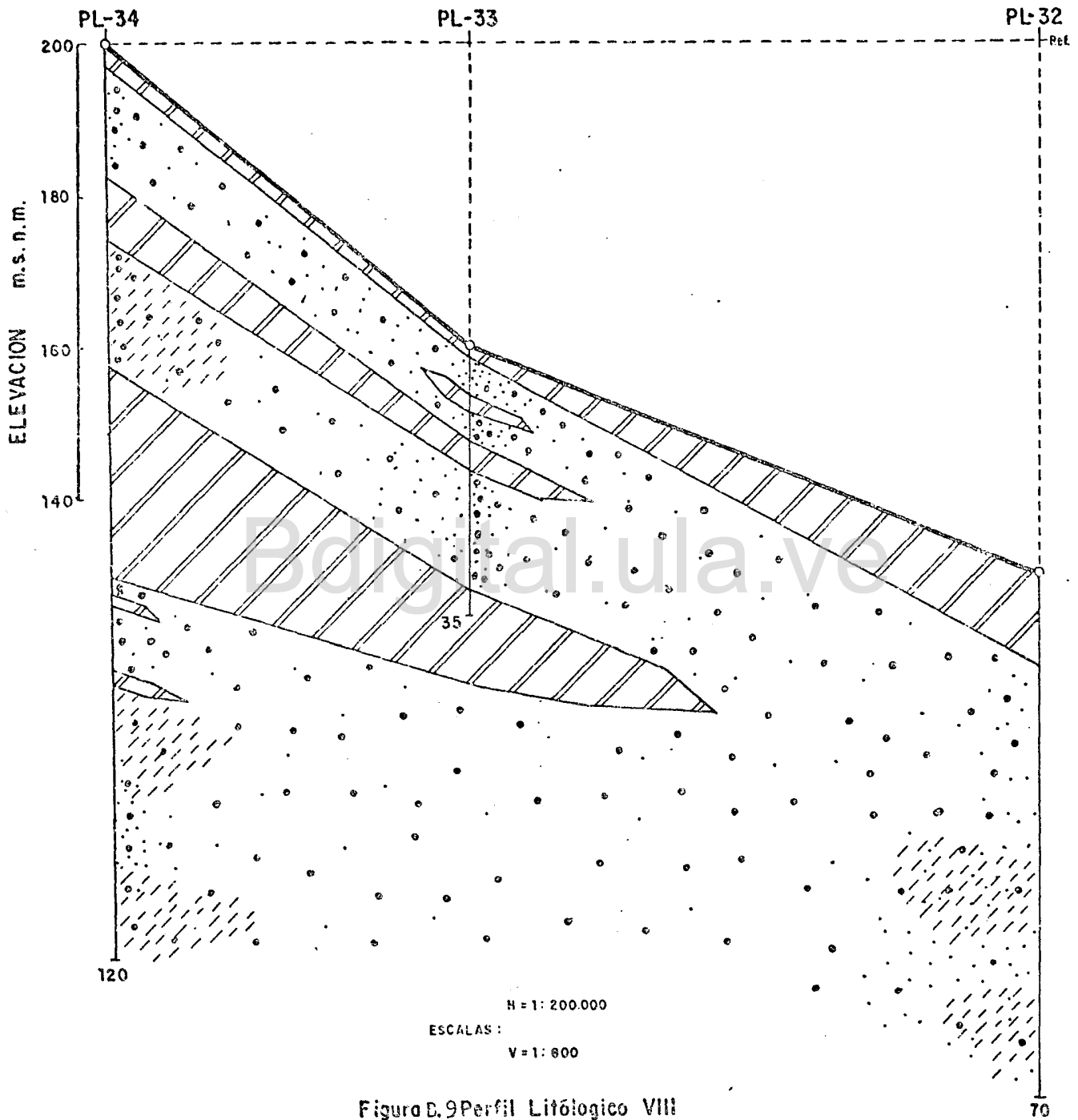


Figura D.9 Perfil Litológico VIII  
(Sector Viveros Forestales Araure - Caño Seco)

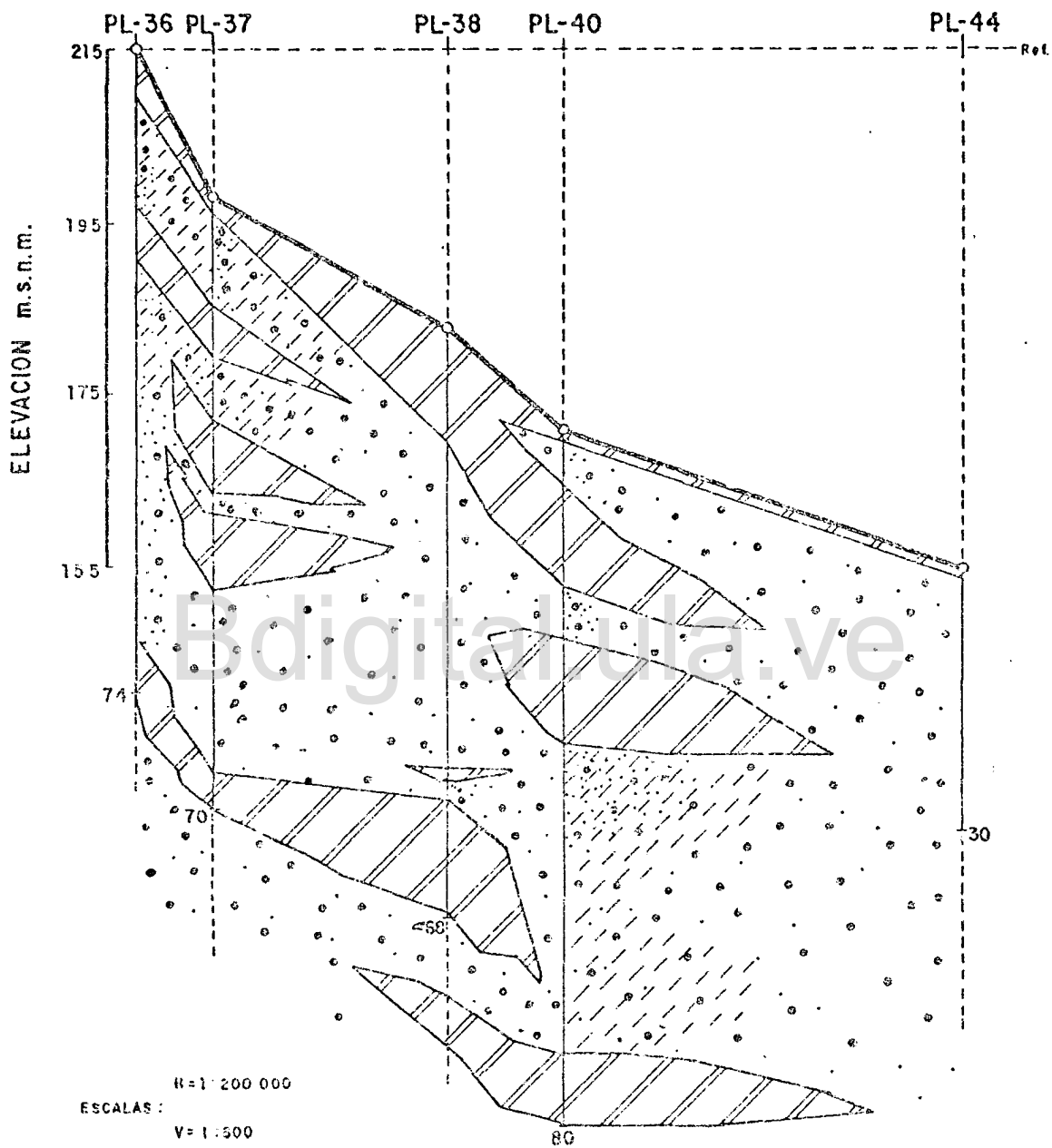


Figura B.10 Perfil Litológico IX (Sector: Sabana Larga - Sistema Mojaguas)

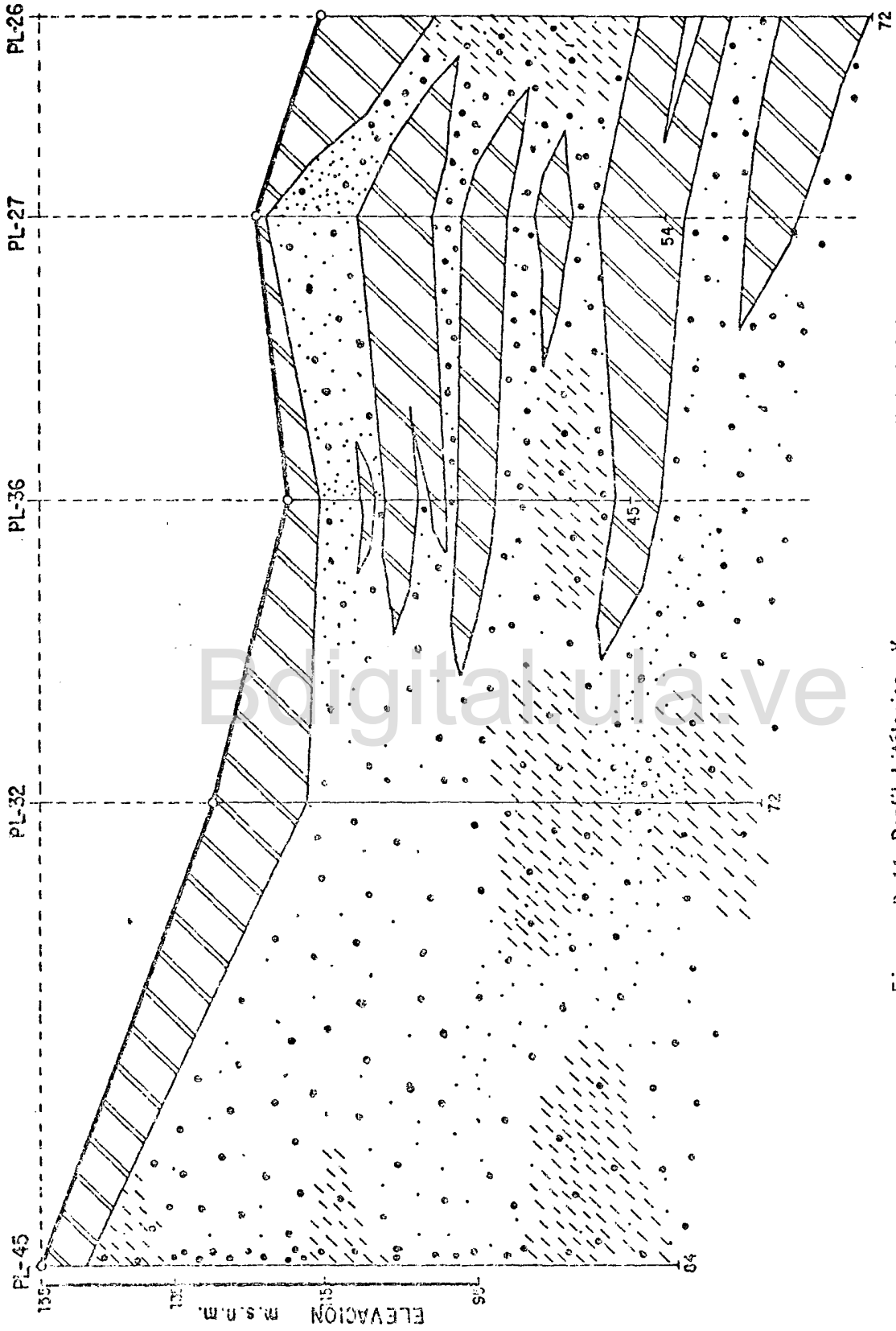


Figura B.11 Perfil Litológico X  
(Sector: Masato - La Rojaña)

ESCALAS : H=1:200.000  
V=1:800

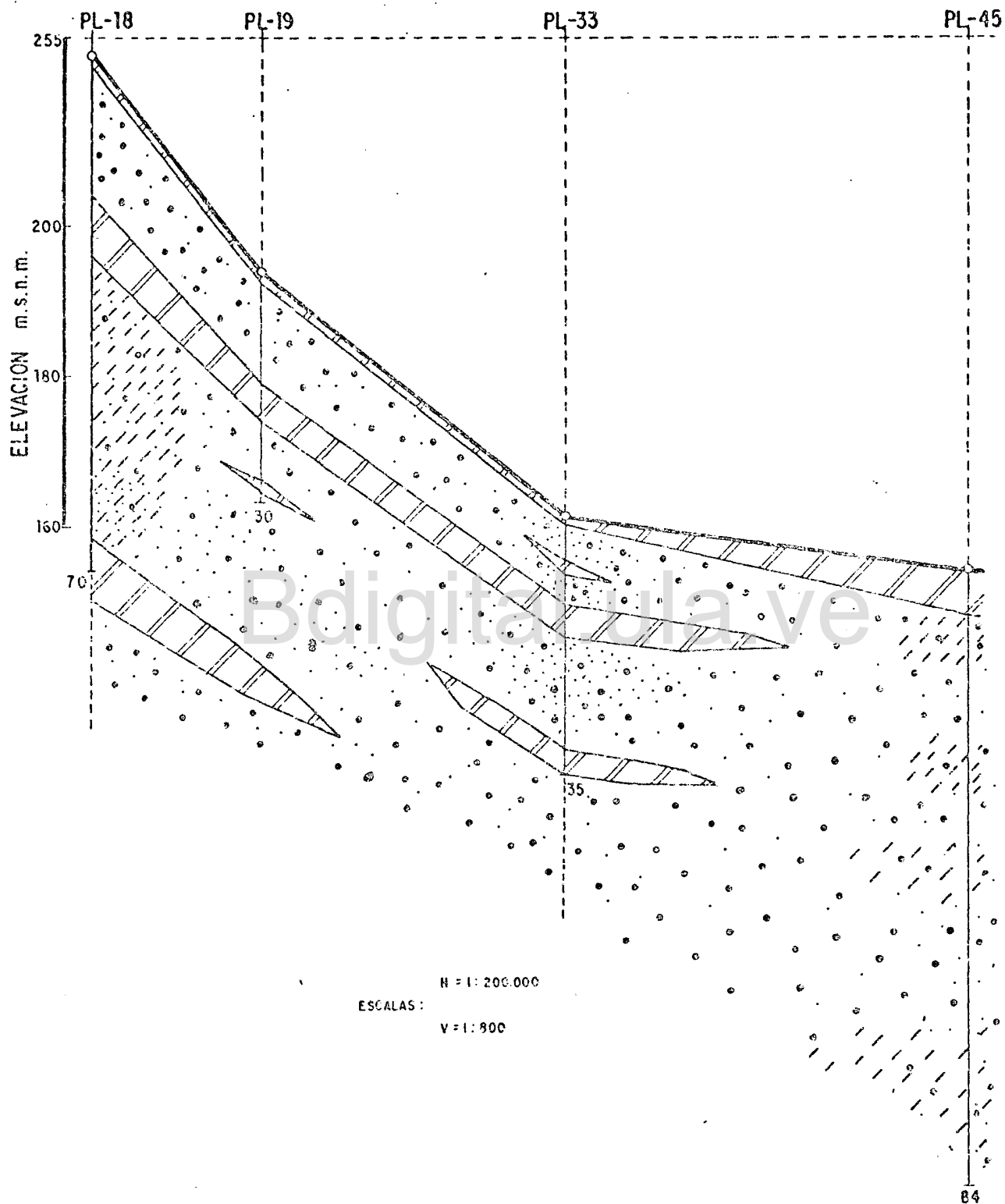


Figura B12 Perfil Litológico XI (Sector: La Flecha - Masoto)

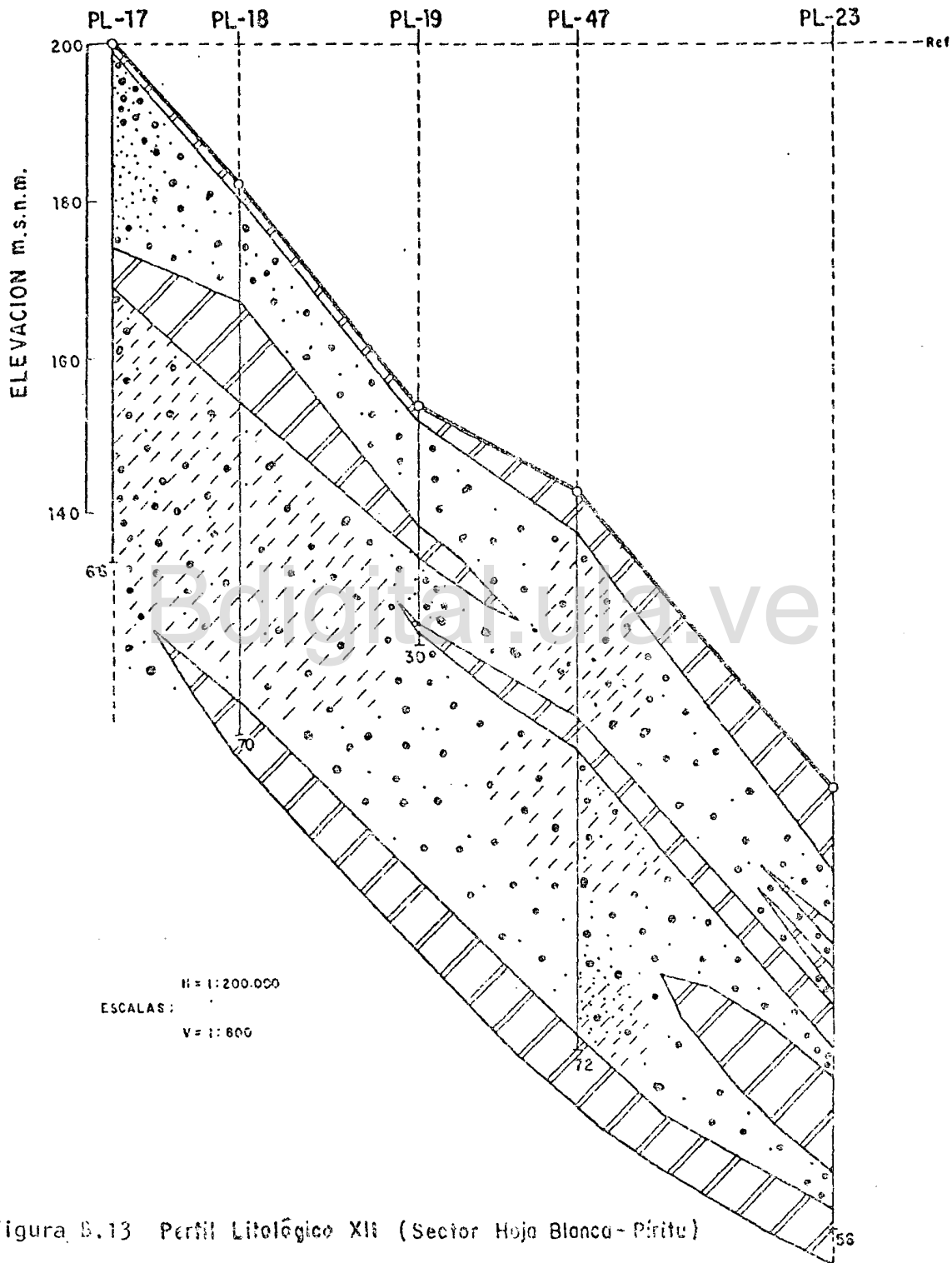


Figura B.13 Perfil Litológico XII (Sector Hoja Blanca - Párra)

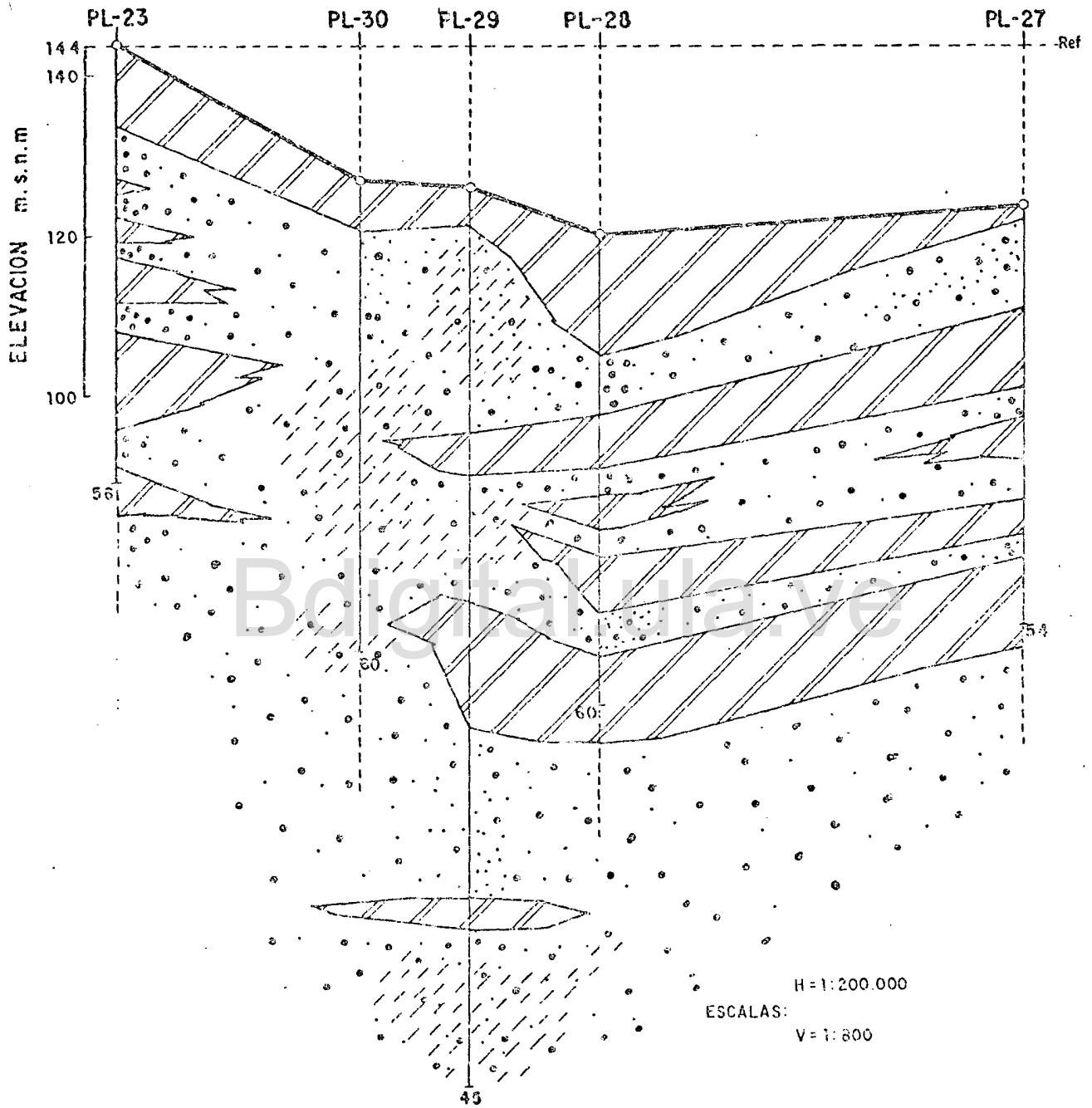


Figura B. 14 Perfil Litológico XIII (Sector: Piritu - El Peñar)

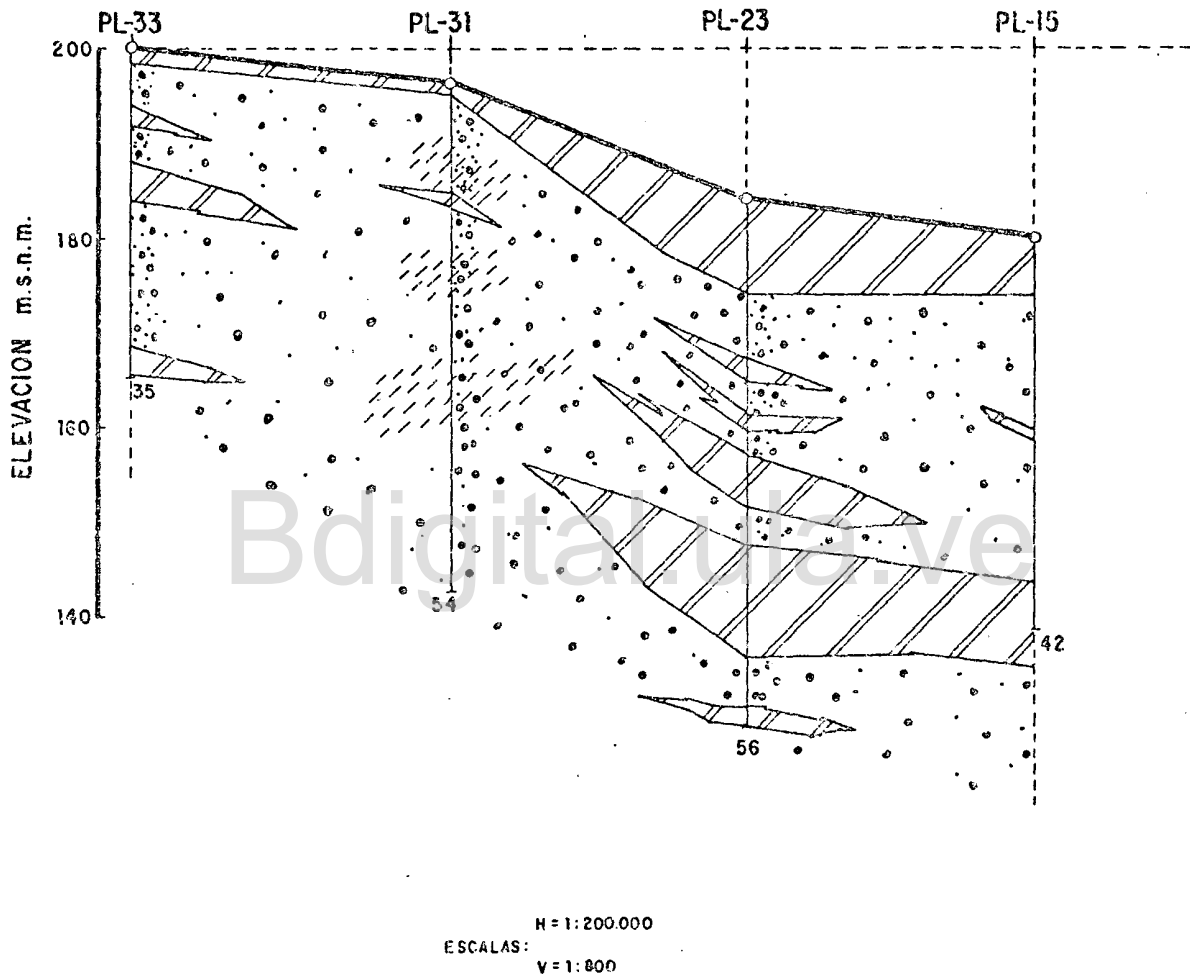


Figura B.15 Perfil Litológico XIV (a)  
(Sector: El Mamon - La Maroma)

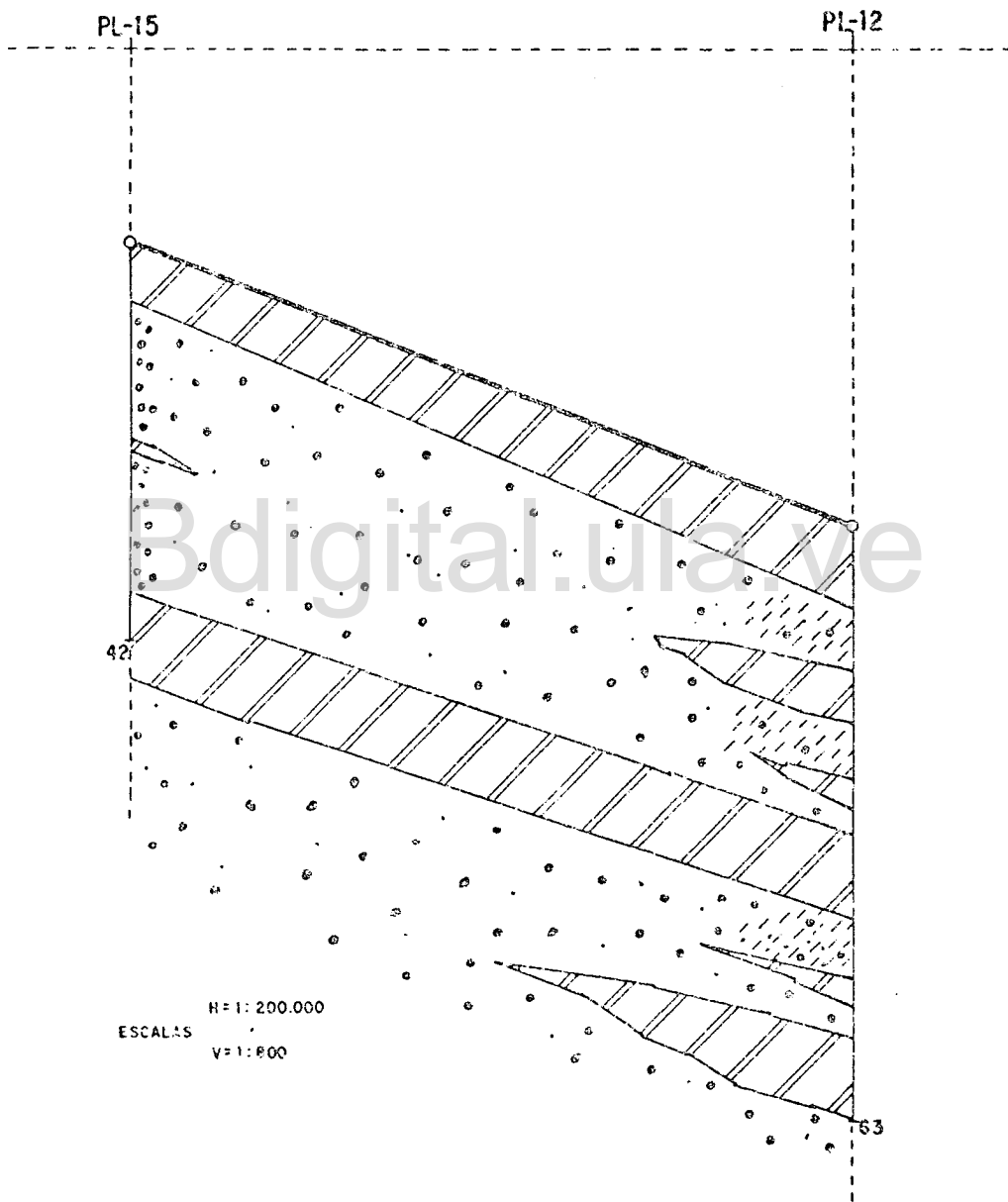


Figura B.16 Perfil Litológico XIV (D)  
(Sector: El Mamon - La Morona)

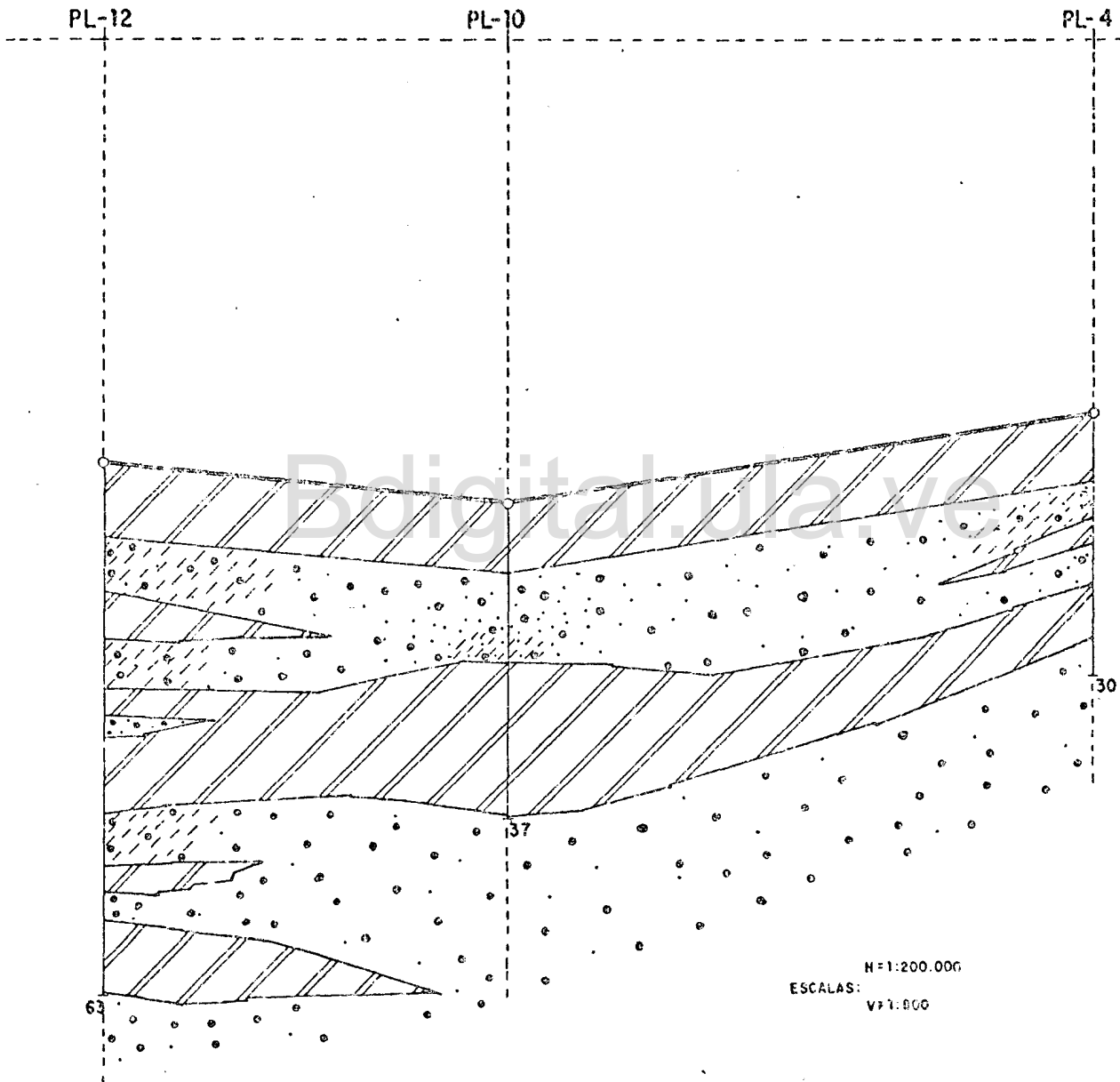


Figura B.17 Perfil Litológico XIV (c)  
(Sector: El Mamon - La Maroma)

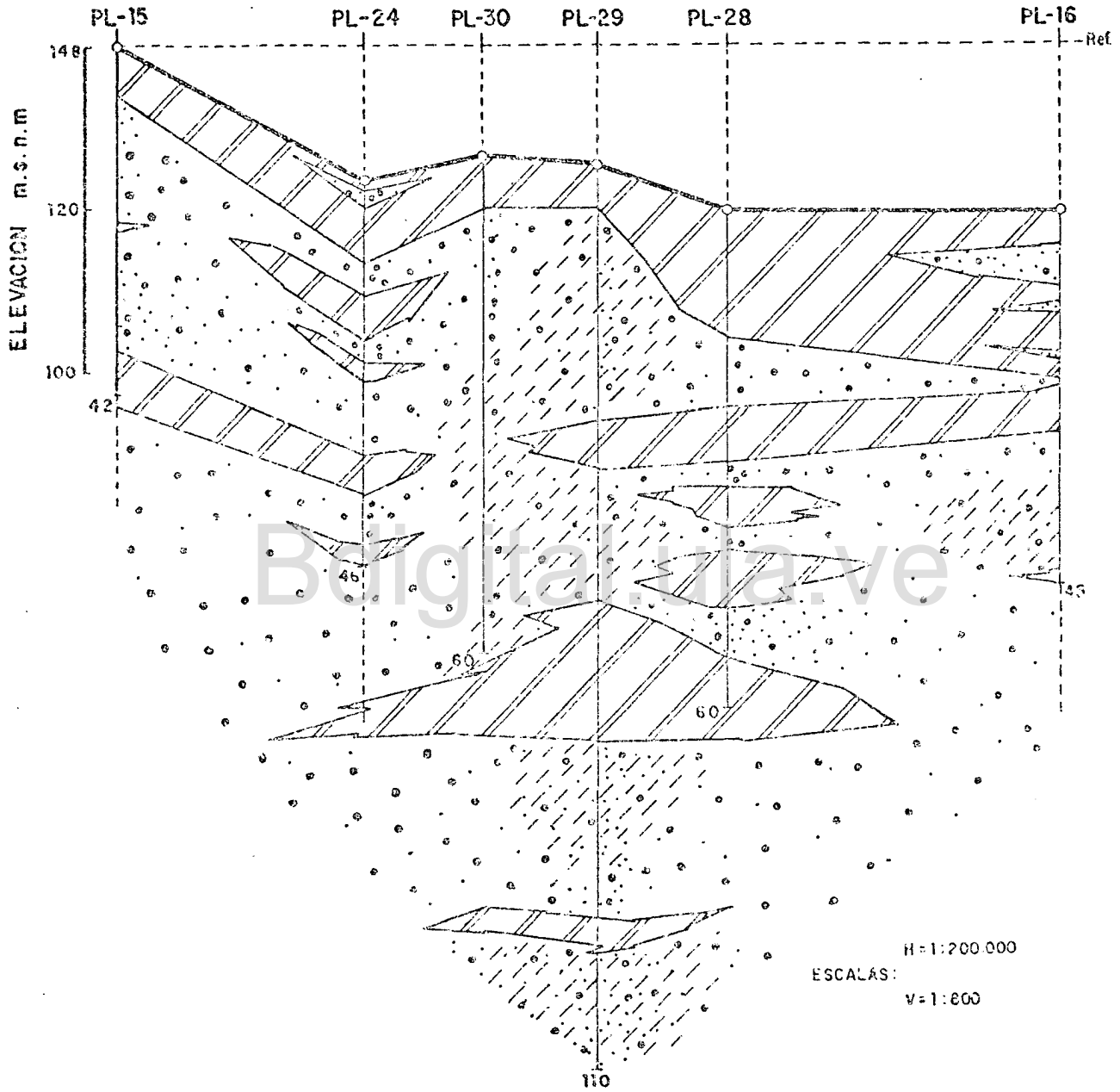
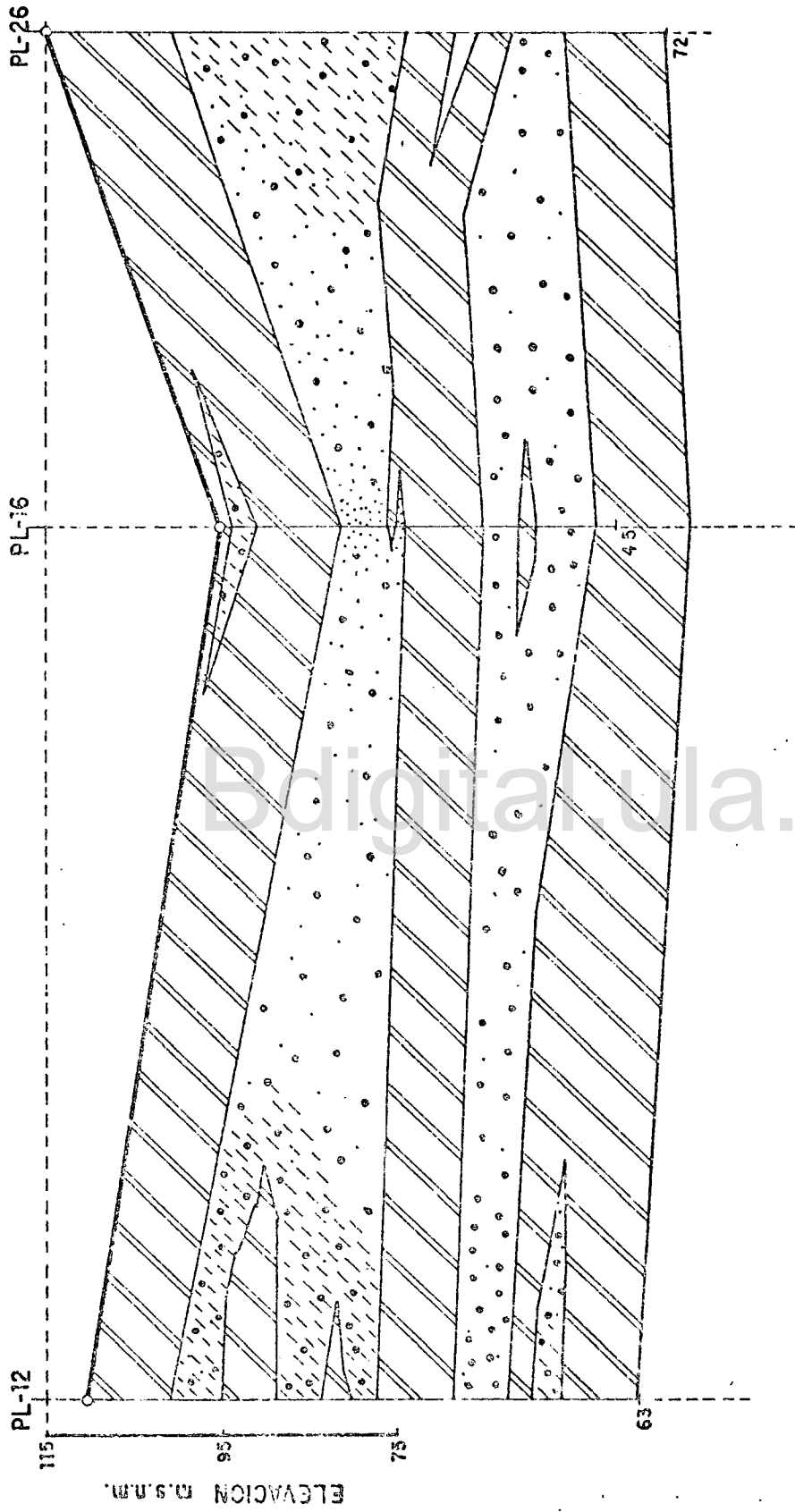
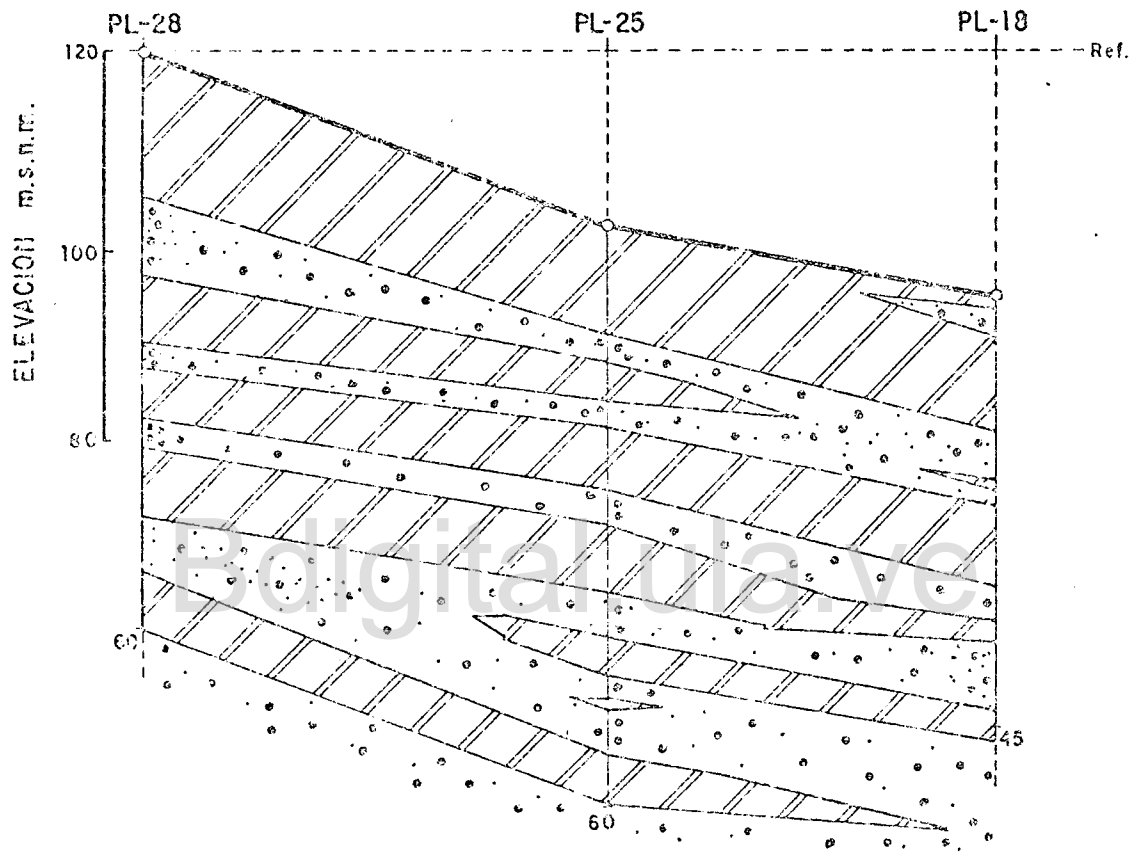


Figura B.18 Perfil Litológico XV (Sector: Maporalito - El Cruce)



H = 1:200.000  
V = 1:800

Figura B.19 Perfil Litológico XVI (Sector: Empresa Ospino - La Rojena) ESCALAS

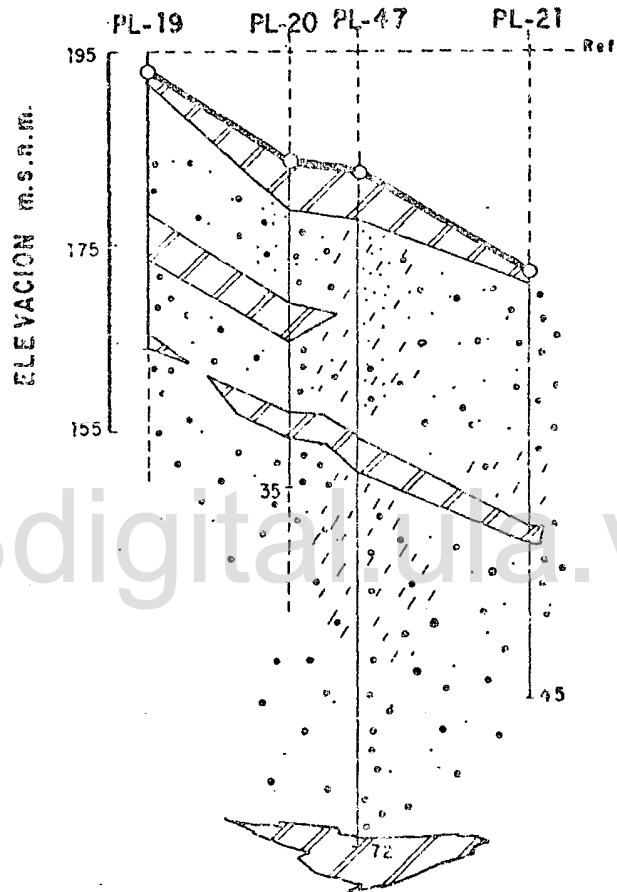


H = 1:200.000

ESCALAS:

V = 1:800

Figura B.20 Perfil Litológico XVII (Sector: M-226 - Matigero)



H= 1:200.000  
ESCALAS:  
V= 1:800

Figura B.21 Perfil Litológico XVIII (Sector: Choro Gonzalero - Mata de Palma)

Bdigital.ula.ve

APENDICE C

SALIDA DEL MODELO

OPCION SIMULACION

C.C.Reconocimiento

Tabla C1. Calibración de Carga Hidráulica.  
Acuífero Acarigua-Sarare.

COLUMNA J=5		COLUMNA J=16		COLUMNA J=25	
NODOS POR COLUMNA		NODOS POR COLUMNA		NODOS POR COLUMNA	
Observados	Simulados	Observados	Simulados	Observados	Simulados
Cota msnm	Cota msnm	Cota msnm	Cota msnm	Cota msnm	Cota msnm
210	210			180	181
200	200	193	192	178	178
192	193	187	189	175	176
189	189	185	185	174	174
187	186	180	181	172	172
185	183	177	178	170	170
183	180	176	176	168	168
174	177	175	175	167	166
174	172	171	173	165	165
167	167	172	171	165	164
160	161	169	168	160	162
154	155	164	163	160	159
152	151	159	158	157	156
149	149	153	154	154	153
146	146	151	151	150	151
144	144	149	149	148	149
140	142	147	147	148	148
140	141	145	145	146	147
137	138	143	144	145	145
135	136	142	142	144	145
132	134	140	140	144	144
132	132	138	139	143	142
130	131	137	137	142	141
125	127	137	136	140	140
120	124	135	135	139	140
119	121	134	133	139	138
116	119	131	129	136	136
115	118	126	126	134	133
116	118	122	124	130	130
118	118	120	122	128	128
119	118	119	120	126	126
119	119	119	119	123	124
119	119	118	118	120	122
119	119	118	119	120	120
118	119	117	119	117	118
				117	117

Tabla C2. Calibración de carga hidráulica.  
Acuífero Acarigua-Sarare.

FILAS I = 10		FILAS I = 20		FILAS I = 26		FILAS I = 35	
NODOS POR FILA J = 4 a 35		NODOS POR FILA J = 2 a 25		NODOS POR FILA J = 2 a 27		NODOS POR FILA J = 4 a 31	
Observ.	Simulad.	Observ.	Simulad.	Observ.	Simulad.	Observad.	Simulad.
186	185	145	143	130	132	118	118
185	183	143	143	131	132	118	118
185	182	143	144	131	132	118	118
184	182	144	144	132	132	118	118
183	181	144	144	133	133	119	119
182	180	144	144	133	133	119	119
180	180	145	144	133	133	119	119
180	179	145	144	133	134	119	119
179	178	145	144	133	134	119	119
177	177	145	145	134	135	119	119
176	176	145	145	135	135	118	119
176	175	145	145	135	136	118	119
175	175	145	145	136	136	118	119
175	174	145	145	136	136	119	119
173	173	145	145	137	136	119	119
172	171	145	146	137	137	119	119
170	169	145	145	137	137	119	119
169	168	145	144	138	138	119	119
168	168	145	145	138	139	119	119
168	167	145	145	138	139	119	119
166	166	145	145	138	139	119	119
165	165	145	145	139	139	120	119
164	164	145	145	139	139	120	120
164	164	145	145	139	140	120	120
163	164			140	139	120	121
163	163			140	140	120	121
162	163					120	121
162	162					120	121
162	162						
161	162						
161	162						
160	162						



Tabla C4 Calibración Carga Hidráulica  
Morador - Guache.

FILA I=7		FILA I=16		FILA I = 23	
NODOS POR FILA.		NODOS POR FILA.		NODOS POR FILA	
J = 8 a 32		J = 4 a 26		J = 4 a 21	
Observ	Simul.	Observ.	Simul.	Observ.	Simul.
130	129	100	98	92	92
131	131	101	102	92	92
132	133	101	102	92	92
134	135	102	103	92	92
136	138	103	103	92	92
138	142	103	103	92	92
140	143	103	103	92	92
140	143	102	103	92	92
142	145	102	103	92	92
143	146	102	103	92	92
144	146	100	104	92	92
145	147	101	104	92	92
145	147	102	104	92	92
145	148	104	105	92	92
145	148	105	106	93	92
147	150	107	106	93	92
148	151	109	107	94	93
148	152	110	108	94	93
148	154	112	109		
153	156	114	110		
155	158	115	112		
157	159	115	114		
158	160	116	115		
160	161				
162	163				
164	164				
166	164				

Tabla 05 . Calibración Guache-Acarigua.

COLUMNA J=27		COLUMNA J= 18	
NODOS POR COLUMNA		NODOS POR COLUMNA	
Observado	simulados	Observados	Simulados
230	229	230	229
224	223	224	223
214	213	218	218
209	208	210	210
205	205	205	206
199	200	199	200
192	192	191	190
184	183	177	178
178	177	171	172
173	174	169	169
172	172	166	167
170	171	165	165
168	169	163	163
165	166	160	160
161	161	155	156
157	157	152	151
152	151	147	146
147	146	141	141
140	139	137	136
134	134	130	130
130	129	126	126
124	126	121	123
124	124	120	121
122	123	119	120
121	121	117	118
118	120	114	116
118	118	114	113
116	116	111	110
115	114	108	109
113	113	107	107
112	112	105	105
112	111	104	104

Tabla C6 . Calibración Carga Hidráulica  
Morador - Guache

COLUMNA J = 11		COLUMNA J = 17	
NODOS POR COLUMNA		NODOS POR COLUMNA	
I = 6 a 26		I = 2 a 26	
Observados	Simulados	Observados	Simulados
137	138	175	173
134	136	169	168
130	131	167	163
126	127	158	159
120	123	148	153
115	117	142	147
112	113	134	138
110	110	134	131
109	107	123	128
106	105	120	123
102	103	120	118
100	102	115	114
99	101	112	110
98	98	109	107
94	96	104	105
93	95	100	104
92	93	98	102
92	92	97	99
90	91	95	96
90	91	92	95
90	90	92	93
		92	92
		90	91
		90	90
		90	90

Tabla C7. Opción Simulación. Salida del Modelo.

ESTAD. PORTUGUESA

ACLIFERO ACARIGUA SARAFE

PARAMETROS DE ENTRADA

INTERVALO INICIAL DE TIEMPO (SEGUNDOS) = 0.8000+02  
 PERIODO MAXIMO PERMITIDO DE BOMBEO (HORAS) = 0.203E+04  
 NUMERO MAXIMO PERMITIDO DE INTERVALOS DE TIEMPO \*\*\*\*\*  
 FILTRACION DESDE UNA CAPA CONFINANTE (M/S) = 0.400E-08  
 NUMERO DE VOTOS POR COLUMNA = 41  
 NUMERO DE VOTOS POR FILA = 37  
 NUMERO DE PARAMETROS DE ITERACION = 5  
 CRITERIO DE ERROR PARA CONCLUIR = 0.100E+00  
 MULTIPLICADOR DEL ESPESOR DE LA CAPA CONFINANTE = 0.100E+01  
 MULTIPLICADOR DEL COEFICIENTE DE ALMACENAMIENTO = 0.410E-01  
 MULTIPLICADOR DE LA ELEVACION DE LA BASE DEL ACLIFERO LIBRE = 0.100E+01  
 MULTIPLICADOR DE LA PERMEABILIDAD = 0.120E-04  
 MULTIPLICADOR DEL RENDIMIENTO ESPECIFICO = 0.100E+01  
 MULTIPLICADOR DE LA ELEVACION DEL TOPE DEL ACUIFERO CONFINADO = 0.100E+01  
 NUMERO DE INTERVALOS DE TIEMPO ENTRE DOS SALIDAS DE RESULTADOS = 10  
 NUMERO MAXIMO PERMITIDO DE ITERACIONES = 10  
 CANTIDAD DE ALTAZCALA DE LA CAPA CONFINANTE = 0.0  
 ALTAZCALA DE LA CAPA CONFINANTE = 0.0  
 SE PERFORARAN LOS ULTIMOS RESULTADOS  
 SE IMPRIMIRA EL MAPA ALFANUMERICO  
 SE IMPRIMIRAN LOS RESULTADOS NUMERICOS  
 SE EFECTUARA EL BALANCE DE MASAS

MALLA EN LA DIRECCION X

0.500E+03									
0.100E+04									
0.500E+03									
0.500E+03									
0.200E+04									
0.500E+03									
0.500E+03									
0.200E+04									
0.500E+03									
0.500E+03									
0.200E+04									
0.500E+03									
0.500E+03									
0.200E+04									
0.500E+03									
0.500E+03									
0.200E+04									

MALLA EN LA DIRECCION Y

















ESFESOR DE LA CAPA CONFINANTE (4)  
 (=L. 5<sup>a</sup> CAPA CONSTANTE)

1	0.0000	0.0000	0.0000	0.0000	0.0000	0.0000	0.0000	0.0000	0.0000	0.0000
2	0.0000	0.0000	0.0000	0.0000	0.0000	0.0000	0.0000	0.0000	0.0000	0.0000
3	0.0000	0.0000	0.0000	0.0000	0.0000	0.0000	0.0000	0.0000	0.0000	0.0000
4	0.0000	0.0000	0.0000	0.0000	0.0000	0.0000	0.0000	0.0000	0.0000	0.0000
5	0.0000	0.0000	0.0000	0.0000	0.0000	0.0000	0.0000	0.0000	0.0000	0.0000
6	0.0000	0.0000	0.0000	0.0000	0.0000	0.0000	0.0000	0.0000	0.0000	0.0000
7	0.0000	0.0000	0.0000	0.0000	0.0000	0.0000	0.0000	0.0000	0.0000	0.0000
8	0.0000	0.0000	0.0000	0.0000	0.0000	0.0000	0.0000	0.0000	0.0000	0.0000
9	0.0000	0.0000	0.0000	0.0000	0.0000	0.0000	0.0000	0.0000	0.0000	0.0000
10	0.0000	0.0000	0.0000	0.0000	0.0000	0.0000	0.0000	0.0000	0.0000	0.0000
11	0.0000	0.0000	0.0000	0.0000	0.0000	0.0000	0.0000	0.0000	0.0000	0.0000
12	0.0000	0.0000	0.0000	0.0000	0.0000	0.0000	0.0000	0.0000	0.0000	0.0000
13	0.0000	0.0000	0.0000	0.0000	0.0000	0.0000	0.0000	0.0000	0.0000	0.0000
14	0.0000	0.0000	0.0000	0.0000	0.0000	0.0000	0.0000	0.0000	0.0000	0.0000
15	0.0000	0.0000	0.0000	0.0000	0.0000	0.0000	0.0000	0.0000	0.0000	0.0000
16	0.0000	0.0000	0.0000	0.0000	0.0000	0.0000	0.0000	0.0000	0.0000	0.0000
17	0.0000	0.0000	0.0000	0.0000	0.0000	0.0000	0.0000	0.0000	0.0000	0.0000
18	0.0000	0.0000	0.0000	0.0000	0.0000	0.0000	0.0000	0.0000	0.0000	0.0000
19	0.0000	0.0000	0.0000	0.0000	0.0000	0.0000	0.0000	0.0000	0.0000	0.0000
20	0.0000	0.0000	0.0000	0.0000	0.0000	0.0000	0.0000	0.0000	0.0000	0.0000
21	0.0000	0.0000	0.0000	0.0000	0.0000	0.0000	0.0000	0.0000	0.0000	0.0000
22	0.0000	0.0000	0.0000	0.0000	0.0000	0.0000	0.0000	0.0000	0.0000	0.0000







LEVANTAMIENTO DEL TIPO DEL ALUÍFERO CONTINADO

1	00:00	00:00	00:00	00:00	00:00	00:00	00:00	00:00	00:00	00:00	00:00
2	00:00	00:00	00:00	00:00	00:00	00:00	00:00	00:00	00:00	00:00	00:00
3	00:00	00:00	00:00	00:00	00:00	00:00	00:00	00:00	00:00	00:00	00:00
4	00:00	00:00	00:00	00:00	00:00	00:00	00:00	00:00	00:00	00:00	00:00
5	00:00	00:00	00:00	00:00	00:00	00:00	00:00	00:00	00:00	00:00	00:00
6	00:00	00:00	00:00	00:00	00:00	00:00	00:00	00:00	00:00	00:00	00:00
7	00:00	00:00	00:00	00:00	00:00	00:00	00:00	00:00	00:00	00:00	00:00
8	00:00	00:00	00:00	00:00	00:00	00:00	00:00	00:00	00:00	00:00	00:00
9	00:00	00:00	00:00	00:00	00:00	00:00	00:00	00:00	00:00	00:00	00:00
10	00:00	00:00	00:00	00:00	00:00	00:00	00:00	00:00	00:00	00:00	00:00
11	00:00	00:00	00:00	00:00	00:00	00:00	00:00	00:00	00:00	00:00	00:00
12	00:00	00:00	00:00	00:00	00:00	00:00	00:00	00:00	00:00	00:00	00:00
13	00:00	00:00	00:00	00:00	00:00	00:00	00:00	00:00	00:00	00:00	00:00
14	00:00	00:00	00:00	00:00	00:00	00:00	00:00	00:00	00:00	00:00	00:00
15	00:00	00:00	00:00	00:00	00:00	00:00	00:00	00:00	00:00	00:00	00:00
16	00:00	00:00	00:00	00:00	00:00	00:00	00:00	00:00	00:00	00:00	00:00
17	00:00	00:00	00:00	00:00	00:00	00:00	00:00	00:00	00:00	00:00	00:00
18	00:00	00:00	00:00	00:00	00:00	00:00	00:00	00:00	00:00	00:00	00:00
19	00:00	00:00	00:00	00:00	00:00	00:00	00:00	00:00	00:00	00:00	00:00
20	00:00	00:00	00:00	00:00	00:00	00:00	00:00	00:00	00:00	00:00	00:00



SECCIONES (+) Y RECARGAS (-) EN EL ZCUTTERO (M2/S)

1	0.0	0.0	0.0	0.0	0.0	0.0	0.0	0.0	0.0	0.0	0.0
2	-0.20E-01										
3	0.0	0.0	0.0	0.0	0.0	0.0	0.0	0.0	0.0	0.0	0.0
4	0.0	0.0	0.0	0.0	0.0	0.0	0.0	0.0	0.0	0.0	0.0
5	0.0	0.0	0.0	0.0	0.0	0.0	0.0	0.0	0.0	0.0	0.0
6	0.0	0.0	0.0	0.0	0.0	0.0	0.0	0.0	0.0	0.0	0.0
7	0.0	0.0	0.0	0.0	0.0	0.0	0.0	0.0	0.0	0.0	0.0
8	0.0	0.0	0.0	0.0	0.0	0.0	0.0	0.0	0.0	0.0	0.0
9	0.0	0.0	0.0	0.0	0.0	0.0	0.0	0.0	0.0	0.0	0.0
10	0.0	0.0	0.0	0.0	0.0	0.0	0.0	0.0	0.0	0.0	0.0
11	0.0	0.0	0.0	0.0	0.0	0.0	0.0	0.0	0.0	0.0	0.0
12	0.0	0.0	0.0	0.0	0.0	0.0	0.0	0.0	0.0	0.0	0.0
13	0.0	0.0	0.0	0.0	0.0	0.0	0.0	0.0	0.0	0.0	0.0
14	0.0	0.0	0.0	0.0	0.0	0.0	0.0	0.0	0.0	0.0	0.0
15	0.0	0.0	0.0	0.0	0.0	0.0	0.0	0.0	0.0	0.0	0.0
16	0.0	0.0	0.0	0.0	0.0	0.0	0.0	0.0	0.0	0.0	0.0
17	0.0	0.0	0.0	0.0	0.0	0.0	0.0	0.0	0.0	0.0	0.0
18	0.0	0.0	0.0	0.0	0.0	0.0	0.0	0.0	0.0	0.0	0.0
19	0.0	0.0	0.0	0.0	0.0	0.0	0.0	0.0	0.0	0.0	0.0
20	0.0	0.0	0.0	0.0	0.0	0.0	0.0	0.0	0.0	0.0	0.0



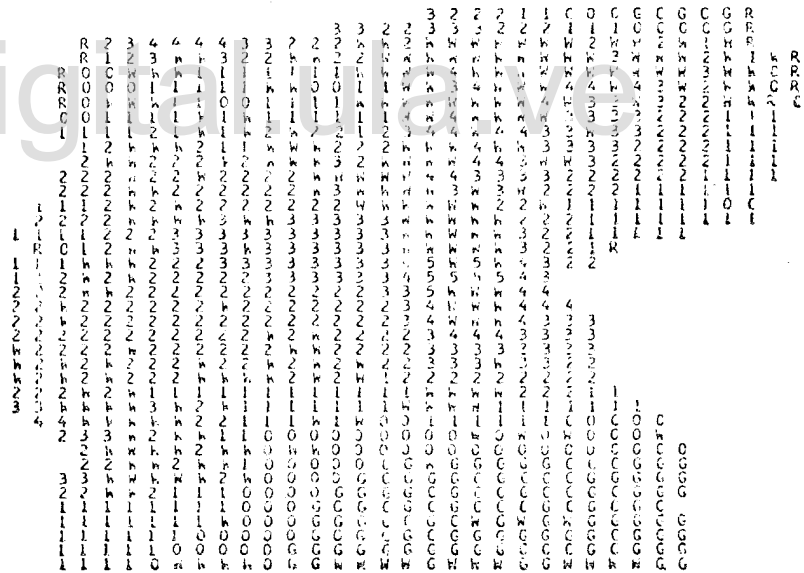




DURACION DEL BCP-SEC EN ESTA IMPRESION EN SECCIONES 0.0640 \*C5  
 EN MINUTOS 0.1040 \*C8  
 EN HORAS ... 0.1730 \*C6  
 EN DIAS ... 0.2150 \*C4  
 EN ... 0.1200 \*C3

NUMERO DE ITERACIONES 1  
 VALOR MAXIMO DEL TIEMPO ADIMENSIONAL 0.0

MAPA ALFABETICO DEL APARTAMENTO



\*\*\* LEYENDA \*\*\*  
 ABATIMIENTO ENTRE DOS CARACTERES SUCESIVOS 1.000  
 CARGA CONSTANTE H  
 UBICACION DE LOS POZOS W  
 AJUSTE DE LA CARGA HIDRAULICA 0